

รายการอ้างอิง

ภาษาไทย

- ชัยพันธ์ รักวิจัย. การไหลในทางน้ำเปิด. ภาควิชาศึกษาธรรมชาติ คณะศึกษาศาสตร์ จุฬาลงกรณ์มหาวิทยาลัย, 2536
- ธงชัย บุญสม. การเพิ่มตัวทำลายพลังงานเข้าไปในฟลอกรูปลักษณ์. วิทยานิพนธ์ปริญญาโท ภาควิชาศึกษาธรรมชาติ บัณฑิตวิทยาลัย จุฬาลงกรณ์มหาวิทยาลัย, 2527
- วุฒิ คุณวาสี. ทางน้ำล้น. ภาควิชาศึกษาธรรมชาติ คณะศึกษาศาสตร์ จุฬาลงกรณ์มหาวิทยาลัย, 2519
- สมบูรณ์ วัฒนาสุวรรณ. การเกิดไอลาร์ดิกจัมบันพื้นที่ที่เป็นคลื่น. วิทยานิพนธ์ปริญญาโท ภาควิชาศึกษาธรรมชาติ บัณฑิตวิทยาลัย จุฬาลงกรณ์มหาวิทยาลัย, 2523
- สมพงษ์ นิมสกุล. การศึกษาทางน้ำล้นโดยใช้แบบจำลอง. วิทยานิพนธ์ปริญญาโท ภาควิชาศึกษาธรรมชาติ บัณฑิตวิทยาลัย จุฬาลงกรณ์มหาวิทยาลัย, 2522

ภาษาอังกฤษ

- Abdul, S. Q., Experimental study of hydraulic jumps in an expanding channel. Thesis No.540,A.I.T.,Bangkok,Thailand,1973
- Ahmad, D., Circular hydraulic jump. Master's Thesis, Colorado state university, Colorado,U.S.A.,1967
- Arbhabhirama, A. and Abella, A. U., Hydraulic jump with in a gradually expanding channel". ASCE, Journal of hydraulic engineering 97 (1971) : 31-42.
- Armenio, V.,Tosacno, P., and Fiorotto, V., On the effects of negative step in pressure fluctuation at the bottom of hydraulic jump. ASCE., Journal of hydraulic engineering 38 (2000) : 359-368.
- Bakhmeteff, B. A. and Matzke, A. E., Hydraulic jump in terms of dynamic similarity, Transaction.ASCE..101 (1936) :630-647
- Baisdell, F. W., Development and hydraulic design ,Saint Anthony Falls stilling basin, Transaction. ASCE., 133 (1948) :483-520

- Be'lange, J. B., Essay on the numerical solution of some problems relative to the steady flow of water.Carilion-Goeury,Paris,1828.
- Bidone, G., Observation on the height of the hydraulic jump in1818, Meeting of the Royal Academy of Science of Turin,1818.
- Bresse, J. A.Ch..Course in applied machnics.Pt 2. Hydraulic,Mallet-Bachelier,Paris,1860
- Buckingham, E. On physically similar systems;Illustrations of the use of dimensional equations, Physical review.Vol.4.1914 : 345
- Citrini, D."Il alto di Bidone (The hydraulic jump)", L'Energia eletrica, 16,6, Milano, (1939) , : 411-465
- Chow, V. T. Open channel hydraulics.McGraw – Hill Company, 1959.
- Darcy, H. and Bazin, H.,Experimental research on backwater and wave propagation, Vol.II of Hydraulic researches.Acade'mie des Scienes,Paris,1865.
- Einwachter, J. Computation of expansion of rollers with respect to width of weir, Wass erkraft und wasserwirtschoft, 27, 14,Munich (1933) : 157-159
- Escande, L., Theoretical and experimental study of flow through sluice gates, Revur ge'ne'rale de l' hydraulique,Vol.4,No.19,Paris,1938.
- Ferreri, G. B. and Nasello, C.," Hydraulic jump at drop and abruba enlargement in rectanggulal channel " , ASCE .Journal of hydraulic research . 40 , 4 (2002) : 249-505
- Ferriday, R. The hydraulic jump, Engineering news record. 34, 2 (1895) : 28
- Forster, J. W. and Skrinde, R. A.,Control of the hydraulic jump by sills, Transactions. ASCE.,115 (1950) :973-987
- French, R. H..Open channel hydraulic.McGraw – Hill Company, 1985.
- Gibson, A. H., The formation of standing waves in an open steam.Minutes of proceedings of the institution of civil engineers.Vol.34. No.2, London, 1913 : 233-242
- Hager, W. H. and Bretz, N. V., Hydraulic jump at positive and negative steps , ASCE , Journal of hydraulic research .24, 4 (1986) : 237-253

- Hager, W. H., Energy dissipaters and hydraulic jump. Zurich, Kluwer academic , Dordrecht,Neterland,1992.
- Hartung, F. and Csallner, K. The scouring energy of macrotubulent flow downstream of hydraulic jump".XII IAHR Congress.Fort Collins 3(C27),1967 : 1-10.
- Henderson, F. M.. Open Channel Flow.Macmillan Publishing,1966.
- Kennison, K. R., The hydraulic jump im open channel flow at high velocities, Transactions, ASCE.80 (1916) :338-353
- Kindsvatater,C.E,"The hydraulic jump in sloping channels".Transactions ,ASCE , Vol.109 1944 ,pp.1107-1120
- Koch,A. and Carstanjen, M., On flow of water and the associated forces , Berlin,Sprieger Verlag, 1926.
- Lindquist, E. G. W., "Arrangements for effective energy dissipation at the toes of dams", Anniversary Volume. Royal Techical University, Stockholm,Sweden,1927.
- Nebbia, G. On dissipation by hydraulic jump, Experimental reseources, L'Energia elettrica.Vol.17.No.6. Milano, 1940 : 325-356.
- Ohtsu, I., Yasuda, Y. and Hashiba, H., Incipient jump conditions for flows over a vertical sill, Journal of hydraulic engineering 122 (1996) : 464-469.
- Rajaratnam, N. and Subramanya, K., "Hydraulic jump below abrupt symmetrical expansion, Journal of hydraulic engineering, ASCE, 94 (1968) :481-501.
- Silvester, R., Hydraulic jump in all shapes of horizontal channel, Journal of hydraulic engineering. ASCE, 90 (1964) : 23-25.
- Safranez, K., Hydraulic jump and energy dissipation of water.Der Baul'naenieur . Vol.8, No.49,Berlin,1927,pp.898-905.
- U.S. Bureau of Reclamation.Hydraulic Design of Stilling Basin and Energy Dissipators. A Water Resources Technical Publishcation, U.S. Department of the Interior, United States Government Printing Office, Denver, Colorado,U.S.A.,1958.
- U.S. Bureau of Reclamation. Hydraulic laboratory techniques. A Water Resources Technical Publishcation, U.S. Department of the Interior, United States Government Printing Office, Denver, Colorado,U.S.A.,reprint 1986.

U.S. Bureau of Reclamation. Design of Small Dams. 3 rd ed., U.S. Department of the Interior, Washington, DC.,U.S.A., 1987

Wacharamanee, P.."Energy dissipation of a circular jet discharged vertically downward". Master's Thesis, Seato graduate school of engineering, Bangkok, 1967

Woodward, S. M., "Theory of the Hydraulic jump and backwater curve".Miami Conservancy District, technical Report.pt III. Dayton,Ohio,1917, pp.63-118

Yang, S. L., "Dispersive-Flow Energy Dissipater", Journal of hydraulic engineering 120, 1994, pp.1401-1408.

ภาคผนวก

ภาคผนวก ก.
ผลการทดลองจากแบบจำลอง

ผลจากการทดลองที่อัตราการไหลต่างๆ ในแม่น้ำสายพลังงานแบบขั้นบันไดบนพื้นที่
ขั้น ทั้งหมด 20 แบบ ตามตารางที่ ก-1 ถึง ก-20 ดังนี้คือ

1. ลำดับข้อมูลในแต่ละการทดลอง
2. ความลึกการไหลก่อนการเกิดน้ำกระโดด (y_1)
3. ความลึกการไหลหลังการเกิดน้ำกระโดด (y_2)
4. อุณหภูมิขณะการทำการทดลอง ($T ^\circ C$)
5. ความหนาแน่นของน้ำ (ρ , กิโลกรัม/ม³)
6. น้ำหนักของน้ำในการคำนวณอัตราการไหล (W , กิโลกรัม)
7. เวลาที่ใช้ในการหาอัตราการไหล (วินาที)
8. อัตราการไหล ($Q = (W\rho / t) * 1000$, ลิตร/วินาที)
9. พรูดนมเบอร์ที่จุดก่อนการเกิดน้ำกระโดด ($F_1 = V_1 / \sqrt{gy_1}$)
10. พลังงานที่จุด 1 ก่อนการเกิดน้ำกระโดด ($E_1 = y_1 + \frac{V_1^2}{2g}$, เชนติเมตร)
11. พลังงานที่จุด 2 หลังการเกิดน้ำกระโดด ($E_2 = y_2 + \frac{V_2^2}{2g} + d$ เชนติเมตร)
12. ประสิทธิภาพในการสลายพลังงาน ($\Delta E/E_1$, เปอร์เซ็นต์)
13. อัตราส่วนของการสลายพลังงานต่อความลึกการไหลก่อนการเกิดน้ำกระโดด ($\Delta E/y_1$)
14. อัตราส่วนของความสูงขั้นบันไดต่อความลึกการไหลก่อนการเกิดน้ำกระโดด (s/y_1)
15. อัตราส่วนของความยาวของสายพลังงานต่อความลึกการไหลก่อนการเกิดน้ำกระโดด (l/y_1)
16. อัตราส่วนของความสูงของสายพลังงานต่อความลึกการไหลก่อนการเกิดน้ำกระโดด (d/y_1)
17. สัมประสิทธิ์แรงลากดึง ($C_D = (\frac{2y_1^2 g}{dq^2})(\frac{1}{2}(y_1^2 - y_2^2) - q^2 / g(\frac{1}{y_2} - \frac{1}{y_1}))$)

ตารางที่ ก-1 ผลการทดลองของกรณี S₁-1 (d = 3.60 มม., b = 58.5 มม.)

Lx = 74.0 มม.

Run No. (1)	y ₁ (cm.) (2)	y ₂ (cm.) (3)	T (°C) (4)	ρ Kg/m ³ (5)	W Kg. (6)	t (s.) (7)	Q (l./s) (8)	F ₁ (9)	E ₁ (cm.) (10)	E ₂ (cm.) (11)	ΔE/E ₁ (%) (12)	ΔE/y ₁ (13)	s/y ₁ (14)	l/y ₁ (15)	d/y ₁ (16)	C _D (17)
1	0.88	11.70	27.50	996.50	200	7.36	27.27	18.03	143.89	16.11	88.80	145.21	4.09	61.36	4.09	0.32
2	1.64	10.50	27.50	996.50	200	6.62	30.32	7.88	52.54	15.34	70.80	22.68	2.20	32.93	2.20	0.48
3	1.58	11.00	27.50	996.50	200	6.38	31.46	8.64	60.62	15.82	73.91	28.36	2.28	34.18	2.28	0.47
4	1.53	12.00	27.50	996.50	200	6.04	33.21	9.58	71.70	16.74	76.65	35.92	2.35	35.29	2.35	0.46
5	1.44	12.60	27.50	996.50	200	5.92	33.88	10.70	83.90	17.28	79.41	46.27	2.50	37.50	2.50	0.44
6	1.37	13.30	27.50	996.50	200	5.69	35.29	12.01	100.21	17.95	82.09	60.05	2.63	39.42	2.63	0.44
7	1.24	14.10	27.50	996.50	200	5.39	37.24	14.72	135.54	18.74	86.17	94.19	2.90	43.55	2.90	0.42
8	1.14	14.70	27.50	996.50	200	5.24	38.33	17.19	169.48	19.31	88.60	131.72	3.16	47.37	3.16	0.41
9	2.47	10.30	27.50	996.50	200	6.05	33.17	4.66	29.34	15.44	47.35	5.62	1.46	21.86	1.46	0.53
10	2.38	11.10	27.50	996.50	200	5.71	35.17	5.23	34.90	16.20	53.60	7.86	1.51	22.69	1.51	0.54
11	2.30	11.90	27.50	996.50	200	5.35	37.51	5.87	41.91	16.98	59.48	10.84	1.57	23.48	1.57	0.55
12	2.10	13.00	27.50	996.50	200	4.91	40.88	7.33	58.53	18.07	69.12	19.26	1.71	25.71	1.71	0.57
13	1.30	13.00	27.50	996.50	200	5.78	34.72	12.78	107.52	17.66	83.57	69.12	2.77	41.54	2.77	0.43
14	1.62	11.00	27.50	996.50	200	6.45	31.11	8.23	56.55	15.79	72.08	25.16	2.22	33.33	2.22	0.47

ตารางที่ ก-2 ผลการทดลองของกรณี S₁-2 ($d = 4.80 \text{ มม.}$, $b = 58.5 \text{ มม.}$)

$Lx = 74.0 \text{ มม.}$

Run No.	y_1 (cm.)	y_2 (cm.)	T (°C)	r Kg/m^3	W Kg.	t (s.)	Q (l./s)	F_1 (10)	E_1 (cm.)	E_2 (cm.)	$\Delta E/E_1$ (%)	$\Delta E/y_1$ (14)	s/y ₁ (15)	l/y ₁ (16)	d/y ₁ (17)	C_D (18)
(1)	(2)	(3)	(4)	(5)	(6)	(8)	(9)	(10)	(11)	(12)	(13)	(14)	(15)	(16)	(17)	(18)
1	1.07	9.50	28.00	996.40	200	7.22	27.80	13.71	101.61	15.58	84.67	80.41	4.49	50.47	4.49	0.30
2	1.03	10.70	28.00	996.40	200	6.76	29.71	15.51	124.92	16.65	86.67	105.12	4.66	52.43	4.66	0.29
3	1.40	10.00	28.00	996.40	200	6.14	32.69	10.77	82.61	16.39	80.16	47.30	3.43	38.57	3.43	0.38
4	1.30	11.20	28.00	996.40	200	5.89	34.08	12.55	103.64	17.38	83.23	66.36	3.69	41.54	3.69	0.35
5	1.25	12.20	28.00	996.40	200	5.70	35.21	13.75	119.45	18.24	84.73	80.97	3.84	43.20	3.84	0.34
6	1.66	9.30	28.00	996.40	200	6.03	33.29	8.49	61.55	16.01	73.99	27.43	2.89	32.53	2.89	0.42
7	1.62	10.00	28.00	996.40	200	5.82	34.49	9.13	69.12	16.57	76.03	32.44	2.96	33.33	2.96	0.42
8	1.58	11.00	28.00	996.40	200	5.56	36.10	9.92	79.33	17.40	78.06	39.20	3.04	34.18	3.04	0.41
9	2.10	10.00	28.00	996.40	200	5.29	37.97	6.81	50.78	16.95	66.63	16.11	2.29	25.71	2.29	0.49
10	2.04	10.50	28.00	996.40	200	5.14	39.03	7.31	56.54	17.36	69.30	19.21	2.35	26.47	2.35	0.48
11	2.56	10.50	28.00	996.40	200	4.86	41.30	5.50	41.32	17.60	57.40	9.27	1.88	21.09	1.88	0.53
12	2.42	10.70	28.00	996.40	200	4.71	42.59	6.17	48.54	17.86	63.21	12.68	1.98	22.31	1.98	0.53
13	1.05	10.10	28.00	996.40	200	6.99	28.72	14.57	112.44	16.10	85.68	91.75	4.57	51.43	4.57	0.30
14	2.07	10.30	28.00	996.40	200	5.20	38.59	7.07	53.84	17.19	68.07	17.70	2.32	26.09	2.32	0.48

ตารางที่ ก-3 ผลการทดลองกรณี S₁-3 ($d = 5.40$ มม., $b = 58.5$ มม.)

$L_x = 74.0$ มม.

Run No. (1)	y_1 (cm.) (2)	y_2 (cm.) (3)	T (°C) (4)	ρ Kg/m^3 (5)	W Kg. (6)	t (s.) (7)	Q (l./s) (8)	F_1 (9)	E_1 (cm.) (10)	E_2 (cm.) (11)	$\Delta E/E_1$ (%) (12)	$\Delta E/y_1$ (13)	s/y_1 (14)	I/y_1 (15)	d/y_1 (16)	C_D (17)
1	1.50	11.50	27.00	996.60	200	6.33	31.70	9.42	68.03	18.03	73.49	33.33	3.60	36.00	3.60	0.30
2	1.46	12.00	27.00	996.60	200	6.12	32.77	10.14	76.51	18.51	75.80	39.72	3.70	36.99	3.70	0.30
3	1.39	12.20	27.00	996.60	200	5.97	33.63	11.20	88.59	18.73	78.86	50.26	3.88	38.85	3.88	0.30
4	1.34	12.40	27.00	996.60	200	5.80	34.60	12.17	100.64	18.96	81.16	60.95	4.03	40.30	4.03	0.30
5	1.32	13.40	27.00	996.60	200	5.64	35.58	12.80	109.54	19.85	81.88	67.95	4.09	40.91	4.09	0.29
6	1.91	12.70	27.00	996.60	200	5.41	37.07	7.66	58.02	19.37	66.61	20.23	2.83	28.27	2.83	0.34
7	1.87	12.60	27.00	996.60	200	5.45	36.80	7.85	59.55	19.27	67.64	21.54	2.89	28.88	2.89	0.34
8	1.78	12.90	27.00	996.60	200	5.32	37.72	8.67	68.67	19.57	71.50	27.58	3.03	30.34	3.03	0.34
9	1.68	13.60	27.00	996.60	200	5.18	38.74	9.71	80.88	20.21	75.01	36.11	3.21	32.14	3.21	0.33
10	1.70	13.70	27.00	996.60	200	5.09	39.40	9.70	81.70	20.33	75.11	36.10	3.18	31.76	3.18	0.34
11	2.10	14.20	27.00	996.60	200	4.88	41.12	7.38	59.21	20.85	64.79	18.27	2.57	25.71	2.57	0.34
12	2.12	14.40	27.00	996.60	200	4.75	42.25	7.47	61.27	21.08	65.59	18.96	2.55	25.47	2.55	0.35
13	2.01	11.50	27.00	996.60	200	5.84	34.36	6.58	45.54	18.23	59.97	13.59	2.69	26.87	2.69	0.34
14	1.50	11.70	27.00	996.60	200	6.22	32.26	9.58	70.40	18.23	74.10	34.78	3.60	36.00	3.60	0.30

ตารางที่ ก-4 ผลการทดลองกรณี S₁-4 ($d = 6.00$ มม., $b = 58.5$ มม.)

$L_x = 74.0$ มม.

Run No. (1)	y_1 (cm.) (2)	y_2 (cm.) (3)	T (°C) (4)	ρ Kg/m^3 (5)	W Kg. (6)	t (s.) (7)	Q (l./s) (8)	F_1 (9)	E_1 (cm.) (10)	E_2 (cm.) (11)	$\Delta E/E_1$ (%) (12)	$\Delta E/y_1$ (13)	s/y_1 (14)	I/y_1 (15)	d/y_1 (16)	C_D (17)
1	1.36	11.85	29.00	996.20	200	6.48	30.98	10.66	78.65	18.87	76.01	43.96	4.41	39.71	4.41	0.25
2	1.27	12.50	29.00	996.20	200	6.28	31.97	12.19	95.64	19.47	79.64	59.97	4.72	42.52	4.72	0.24
3	1.54	11.05	29.00	996.20	200	6.56	30.60	8.74	60.36	18.19	69.86	27.38	3.90	35.06	3.90	0.27
4	1.45	12.85	29.00	996.20	200	5.68	35.35	11.05	89.95	19.98	77.79	48.25	4.14	37.24	4.14	0.28
5	1.51	13.70	29.00	996.20	200	5.53	36.33	10.68	87.70	20.75	76.34	44.34	3.97	35.76	3.97	0.27
6	1.47	14.05	29.00	996.20	200	5.40	37.18	11.38	96.74	21.09	78.20	51.46	4.08	36.73	4.08	0.27
7	1.64	14.10	29.00	996.20	200	5.21	38.53	10.01	83.86	21.21	74.71	38.20	3.66	32.93	3.66	0.28
8	1.85	12.95	29.00	996.20	200	5.41	37.13	8.05	61.85	20.17	67.38	22.53	3.24	29.19	3.24	0.30
9	1.66	13.30	29.00	996.20	200	5.37	37.39	9.54	77.20	20.48	73.48	34.17	3.61	32.53	3.61	0.29
10	1.57	13.60	29.00	996.20	200	5.28	38.02	10.55	88.93	20.76	76.65	43.41	3.82	34.39	3.82	0.29
11	1.46	14.50	29.00	996.20	200	5.10	39.39	12.19	109.87	21.60	80.34	60.46	4.11	36.99	4.11	0.28
12	1.43	14.80	29.00	996.20	200	5.07	39.62	12.65	115.78	21.87	81.11	65.67	4.20	37.76	4.20	0.27
13	1.70	13.90	29.00	996.20	200	5.19	38.68	9.52	78.78	21.05	73.28	33.96	3.53	31.76	3.53	0.29
14	1.48	14.60	29.00	996.20	200	4.91	40.92	12.40	115.34	21.77	81.13	63.22	4.05	36.49	4.05	0.29
15	1.71	9.80	29.00	996.20	200	7.09	28.32	6.80	41.19	17.00	58.72	14.14	3.51	31.58	3.51	0.26

ตารางที่ ๗-๕ ผลการทดสอบกรณ์ S_2 -1 ($d = 3.60$ มม., $b = 58.5$ มม.)

$Lx = 74.0$ มม.

Run No. (1)	y_1 (cm.) (2)	y_2 (cm.) (3)	T ($^{\circ}$ C) (4)	ρ Kg/m^3 (5)	W Kg. (6)	t (s.) (7)	Q (l./s) (8)	F_1 (9)	E_1 (cm.) (10)	E_2 (cm.) (11)	$\Delta E/E_1$ (%) (12)	$\Delta E/y_1$ (%) (13)	s/ y_1 (14)	I/y_1 (15)	d/y_1 (16)	C_D (17)
1	1.28	10.20	26.00	996.80	200	7.67	26.16	9.86	63.48	14.78	76.72	38.05	1.41	21.09	2.81	0.39
2	1.10	11.10	26.00	996.80	200	7.33	27.39	12.95	93.41	15.61	83.29	70.73	1.64	24.55	3.27	0.37
3	0.98	11.90	26.00	996.80	200	6.98	28.73	16.16	128.99	16.37	87.31	114.92	1.84	27.55	3.67	0.35
4	1.68	9.40	26.00	996.80	200	7.67	26.16	6.56	37.79	14.15	62.55	14.07	1.07	16.07	2.14	0.44
5	1.55	10.50	26.00	996.80	200	7.28	27.56	7.79	48.64	15.13	68.90	21.62	1.16	17.42	2.32	0.42
6	1.36	11.20	26.00	996.80	200	6.82	29.42	10.12	71.05	15.83	77.72	40.61	1.32	19.85	2.65	0.42
7	1.30	11.90	26.00	996.80	200	6.58	30.49	11.23	83.24	16.48	80.20	51.36	1.38	20.77	2.77	0.41
8	2.07	9.80	26.00	996.80	200	6.87	29.21	5.35	31.72	14.72	53.58	8.21	0.87	13.04	1.74	0.48
9	1.93	10.70	26.00	996.80	200	6.56	30.59	6.23	39.33	15.52	60.55	12.34	0.93	13.99	1.87	0.47
10	2.65	9.70	26.00	996.80	200	6.51	30.82	3.90	22.80	14.80	35.06	3.02	0.68	10.19	1.36	0.47
11	1.20	10.70	26.00	996.80	200	7.45	26.93	11.18	76.22	15.24	80.00	50.81	1.50	22.50	3.00	0.38
12	1.05	11.50	26.00	996.80	200	7.18	27.96	14.18	106.69	15.98	85.02	86.39	1.71	25.71	3.43	0.36
13	1.44	10.90	26.00	996.80	200	7.01	28.61	9.04	60.25	15.53	74.23	31.06	1.25	18.75	2.50	0.42
14	1.87	11.50	26.00	996.80	200	6.32	31.74	6.77	44.78	16.23	63.75	15.27	0.96	14.44	1.93	0.45

ตารางที่ ก-6 ผลการทดลองของกรนี S_2 -2 ($d = 4.80 \text{ มม.}$, $b = 58.5 \text{ มม.}$)

$L_x = 74.0 \text{ มม.}$

Run No.	y_1 (cm.)	y_2 (cm.)	T ($^{\circ}\text{C}$)	ρ Kg/m^3	W Kg.	t (s.)	Q (l./s)	F_1 (9)	E_1 (cm.)	E_2 (cm.)	$\Delta E/E_1$ (%)	$\Delta E/y_1$ (13)	s/ y_1 (14)	I/y_1 (15)	d/y_1 (16)	C_D (17)
(1)	(2)	(3)	(4)	(5)	(6)	(7)	(8)	(10)	(11)	(12)	(13)	(14)	(15)	(16)	(17)	
1	1.06	7.80	28.00	996.40	200	7.95	25.25	12.63	85.56	14.16	83.45	67.35	2.26	25.47	4.53	0.31
2	1.00	8.80	28.00	996.40	200	7.40	27.14	14.81	110.68	15.02	86.43	95.66	2.40	27.00	4.80	0.30
3	0.95	10.10	28.00	996.40	200	6.99	28.73	16.93	137.16	16.11	88.26	127.42	2.53	28.42	5.05	0.28
4	1.40	8.60	28.00	996.40	200	6.80	29.52	9.73	67.61	15.15	77.58	37.47	1.71	19.29	3.43	0.38
5	1.29	9.30	28.00	996.40	200	6.64	30.21	11.25	82.99	15.67	81.12	52.19	1.86	20.93	3.72	0.35
6	1.97	9.30	28.00	996.40	200	6.22	32.29	6.37	41.98	15.90	62.13	13.24	1.22	13.71	2.44	0.43
7	1.72	10.30	28.00	996.40	200	5.83	34.41	8.33	61.33	16.76	72.67	25.91	1.40	15.70	2.79	0.42
8	1.64	10.90	28.00	996.40	200	5.69	35.28	9.17	70.55	17.26	75.53	32.49	1.46	16.46	2.93	0.40
9	2.11	9.90	28.00	996.40	200	5.71	35.13	6.26	43.40	16.58	61.81	12.71	1.14	12.80	2.27	0.46
10	1.87	10.70	28.00	996.40	200	5.52	36.38	7.77	58.25	17.22	70.44	21.94	1.28	14.44	2.57	0.44
11	2.79	10.50	28.00	996.40	200	5.11	39.28	4.60	32.31	17.38	46.20	5.35	0.86	9.68	1.72	0.49
12	2.52	10.90	28.00	996.40	200	4.90	40.94	5.58	41.82	17.80	57.44	9.53	0.95	10.71	1.90	0.51
13	1.02	8.30	28.00	996.40	200	7.61	26.37	13.97	100.58	14.60	85.48	84.29	2.35	26.47	4.71	0.30
14	0.98	9.50	28.00	996.40	200	7.22	27.80	15.64	120.83	15.58	87.11	107.41	2.45	27.55	4.90	0.29
15	1.85	9.80	28.00	996.40	200	6.01	33.39	7.12	48.76	16.27	66.63	17.56	1.30	14.59	2.59	0.41

ตารางที่ ก-7 ผลการทดลองกรณี S_2 -3 ($d = 5.40$ มม., $b = 58.5$ มม.)

$L_x = 74.0$ มม.

Run No. (1)	y_1 (cm.) (2)	y_2 (cm.) (3)	T (°C) (4)	ρ Kg/m^3 (5)	W Kg. (6)	t (s.) (7)	Q (l./s) (8)	F_1 (9)	E_1 (cm.) (10)	E_2 (cm.) (11)	$\Delta E/E_1$ (%) (12)	$\Delta E/y_1$ (13)	s/ y_1 (14)	l/ y_1 (15)	d/ y_1 (16)	C_D (17)
1	1.54	9.20	28.00	996.40	200	6.52	30.80	8.80	61.12	16.27	73.38	29.12	1.75	17.53	3.51	0.35
2	1.62	9.60	28.00	996.40	200	6.30	31.86	8.43	59.23	16.64	71.90	26.29	1.67	16.67	3.33	0.35
3	1.43	10.70	28.00	996.40	200	6.03	33.29	10.62	82.13	17.54	78.64	45.17	1.89	18.88	3.78	0.33
4	1.92	9.20	28.00	996.40	200	6.07	33.05	6.78	46.05	16.52	64.12	15.38	1.41	14.06	2.81	0.39
5	1.90	9.80	28.00	996.40	200	5.73	35.01	7.30	52.47	17.10	67.41	18.61	1.42	14.21	2.84	0.40
6	1.88	10.50	28.00	996.40	200	5.75	34.91	7.39	53.23	17.55	67.04	18.98	1.44	14.36	2.87	0.38
7	1.84	11.50	28.00	996.40	200	5.56	36.10	7.89	59.17	18.37	68.96	22.18	1.47	14.67	2.93	0.36
8	2.22	9.60	28.00	996.40	200	5.72	35.11	5.79	39.48	16.99	56.95	10.13	1.22	12.16	2.43	0.42
9	2.12	9.90	28.00	996.40	200	5.65	35.51	6.28	43.89	17.22	60.78	12.58	1.27	12.74	2.55	0.41
10	1.42	8.50	28.00	996.40	200	6.99	28.72	9.26	62.32	15.60	74.97	32.90	1.90	19.01	3.80	0.33
11	1.13	9.00	28.00	996.40	200	6.71	29.91	13.59	105.50	16.05	84.79	79.16	2.39	23.89	4.78	0.30
12	2.40	10.50	28.00	996.40	200	5.11	39.28	5.77	42.29	17.98	57.48	10.13	1.13	11.25	2.25	0.44
13	1.25	8.70	28.00	996.40	200	6.82	29.43	11.49	83.81	15.80	81.14	54.41	2.16	21.60	4.32	0.31
14	1.50	12.10	28.00	996.40	200	4.91	40.91	12.15	112.30	19.20	82.90	62.07	1.80	18.00	3.60	0.37
15	1.22	8.00	28.00	996.40	200	6.82	29.43	11.72	84.98	15.35	81.94	57.08	2.21	22.13	4.43	0.30

ตารางที่ ก-8 ผลการทดลองกรณ์ S_2 -4 ($d = 6.00$ มม., $b = 58.5$ มม.)

$L_x = 74.0$ มม.

Run No. (1)	y_1 (cm.) (2)	y_2 (cm.) (3)	T (°C) (4)	ρ Kg/m^3 (5)	W Kg. (6)	t (s.) (7)	Q (l./s) (8)	F_1 (9)	E_1 (cm.) (10)	E_2 (cm.) (11)	$\Delta E/E_1$ (%) (12)	$\Delta E/y_1$ (13)	s/y ₁ (14)	l/y ₁ (15)	d/y ₁ (16)	C_D (17)
1	1.10	9.50	29.00	996.20	200	7.52	26.70	12.63	88.83	16.68	81.23	65.59	2.73	24.55	5.45	0.24
2	1.15	9.50	29.00	996.20	200	6.80	29.54	13.07	99.41	16.94	82.96	71.71	2.61	23.48	5.22	0.26
3	1.15	8.10	29.00	996.20	200	6.52	30.79	13.63	107.92	16.25	84.94	79.71	2.61	23.48	5.22	0.28
4	1.40	8.80	29.00	996.20	200	5.99	33.52	11.04	86.76	16.96	80.45	49.86	2.14	19.29	4.29	0.32
5	1.66	9.40	29.00	996.20	200	5.60	35.87	9.15	71.21	17.57	75.33	32.31	1.81	16.27	3.61	0.35
6	1.60	11.00	29.00	996.20	200	5.56	36.11	9.74	77.45	18.60	75.98	36.78	1.88	16.88	3.75	0.33
7	1.54	11.90	29.00	996.20	200	5.35	37.53	10.72	89.97	19.38	78.46	45.84	1.95	17.53	3.90	0.32
8	1.31	12.90	29.00	996.20	200	5.47	36.72	13.37	118.36	20.11	83.01	75.00	2.29	20.61	4.58	0.28
9	1.37	12.60	29.00	996.20	200	5.45	36.81	12.53	108.92	19.87	81.76	65.00	2.19	19.71	4.38	0.29
10	1.78	10.60	29.00	996.20	200	5.60	35.83	8.23	62.12	18.30	70.54	24.62	1.69	15.17	3.37	0.34
11	1.75	12.00	29.00	996.20	200	5.48	36.61	8.63	66.94	19.39	71.04	27.17	1.71	15.43	3.43	0.32
12	2.26	12.70	29.00	996.20	200	5.03	39.91	6.41	48.71	20.17	58.59	12.63	1.33	11.95	2.65	0.34
13	2.20	13.20	29.00	996.20	200	4.89	41.04	6.86	54.02	20.64	61.80	15.18	1.36	12.27	2.73	0.34
14	2.15	13.90	29.00	996.20	200	4.79	41.96	7.26	58.87	21.26	63.89	17.49	1.40	12.56	2.79	0.33
15	1.22	8.00	29.00	996.20	200	6.82	29.43	11.72	85.02	15.95	81.24	56.61	2.46	22.13	4.92	0.27

ตารางที่ ก-9 ผลการทดลองกรณี S₃-1 (d = 3.60 ม., b = 58.5 ม.)

Lx = 74.0 ม.

Run No.	y ₁ (cm.)	y ₂ (cm.)	T (°C)	ρ Kg/m ³	W Kg.	t (s.)	Q (l./s)	F ₁ (cm.)	E ₁ (cm.)	E ₂ (cm.)	ΔE/E ₁ (%)	ΔE/y ₁ (%)	s/y ₁ (14)	l/y ₁ (15)	d/y ₁ (16)	C _D (17)
(1)	(2)	(3)	(4)	(5)	(6)	(7)	(8)	(9)	(10)	(11)	(12)	(13)	(14)	(15)	(16)	(17)
1	1.06	11.00	25.50	996.90	200	7.69	26.09	13.05	91.28	15.44	83.09	71.55	1.13	16.98	3.40	0.35
2	0.85	12.20	25.50	996.90	200	7.33	27.36	19.05	155.13	16.55	89.33	163.03	1.41	21.18	4.24	0.31
3	1.56	10.80	25.50	996.90	200	7.20	27.86	7.80	49.08	15.39	68.64	21.59	0.77	11.54	2.31	0.41
4	1.38	11.60	25.50	996.90	200	6.80	29.50	9.93	69.45	16.16	76.73	38.62	0.87	13.04	2.61	0.40
5	1.30	12.30	25.50	996.90	200	6.57	30.52	11.24	83.39	16.82	79.83	51.21	0.92	13.85	2.77	0.39
6	1.26	13.00	25.50	996.90	200	6.41	31.30	12.08	93.15	17.46	81.25	60.07	0.95	14.29	2.86	0.38
7	1.05	13.60	25.50	996.90	200	6.04	33.20	16.84	149.92	18.09	87.94	125.56	1.14	17.14	3.43	0.37
8	2.71	10.10	25.50	996.90	200	6.26	32.03	3.92	23.52	15.20	35.37	3.07	0.44	6.64	1.33	0.47
9	2.35	11.30	25.50	996.90	200	5.84	34.33	5.20	34.14	16.27	52.33	7.60	0.51	7.66	1.53	0.50
10	2.15	12.50	25.50	996.90	200	5.63	35.67	6.17	43.13	17.31	59.86	12.01	0.56	8.37	1.67	0.48
11	1.15	13.30	25.50	996.90	200	6.25	32.13	14.22	117.37	17.77	84.86	86.61	1.04	15.65	3.13	0.37
12	1.35	12.00	25.50	996.90	200	6.65	30.16	10.50	75.70	16.54	78.15	43.82	0.89	13.33	2.67	0.40
13	1.47	11.20	25.50	996.90	200	7.01	28.61	8.76	57.89	15.77	72.76	28.65	0.82	12.24	2.45	0.41
14	0.95	11.70	25.50	996.90	200	7.46	26.90	15.86	120.36	16.09	86.63	109.76	1.26	18.95	3.79	0.33

ตารางที่ ก-10 ผลการทดลองกรนี S_3 -2 ($d = 4.80$ ม., $b = 58.5$ ม.)

$L_x = 74.0$ ม.

Run No. (1)	y_1 (cm.) (2)	y_2 (cm.) (3)	T ($^{\circ}$ C) (4)	ρ Kg/m^3 (5)	W Kg. (6)	t (s.) (7)	Q (l/s) (8)	F_1 (9)	E_1 (cm.) (10)	E_2 (cm.) (11)	$\Delta E/E_1$ (%) (12)	$\Delta E/y_1$ (13)	s/y_1 (14)	I/y_1 (15)	d/y_1 (16)	C_D (17)
1	1.08	9.00	27.00	996.60	200	7.57	26.50	12.89	90.74	15.09	83.37	70.04	1.48	16.67	4.44	0.30
2	1.00	10.30	27.00	996.60	200	7.32	27.42	14.96	112.94	16.16	85.70	96.78	1.60	18.00	4.80	0.28
3	0.90	11.30	27.00	996.60	200	6.88	29.17	18.65	157.34	17.09	89.14	155.83	1.78	20.00	5.33	0.26
4	1.55	9.50	27.00	996.60	200	6.80	29.51	8.35	55.54	15.74	71.67	25.68	1.03	11.61	3.10	0.37
5	1.40	10.40	27.00	996.60	200	6.48	30.95	10.20	74.20	16.52	77.74	41.20	1.14	12.86	3.43	0.35
6	1.32	11.20	27.00	996.60	200	6.19	32.42	11.67	91.16	17.25	81.08	56.00	1.21	13.64	3.64	0.34
7	2.09	9.10	27.00	996.60	200	6.31	31.80	5.74	36.58	15.72	57.02	9.98	0.77	8.61	2.30	0.43
8	1.91	10.20	27.00	996.60	200	5.89	34.07	7.04	49.30	16.66	66.21	17.09	0.84	9.42	2.51	0.43
9	1.76	11.00	27.00	996.60	200	5.76	34.82	8.14	60.06	17.29	71.21	24.30	0.91	10.23	2.73	0.41
10	2.72	10.30	27.00	996.60	200	5.45	36.80	4.48	29.98	17.00	43.29	4.77	0.59	6.62	1.76	0.46
11	2.39	10.70	27.00	996.60	200	5.22	38.44	5.68	40.93	17.42	57.43	9.83	0.67	7.53	2.01	0.48
12	1.04	9.60	27.00	996.60	200	7.41	27.08	13.93	101.98	15.58	84.72	83.07	1.54	17.31	4.62	0.29
13	0.96	10.90	27.00	996.60	200	7.11	28.22	16.37	129.67	16.70	87.12	117.68	1.67	18.75	5.00	0.27
14	2.00	9.60	27.00	996.60	200	6.09	32.96	6.36	42.44	16.16	61.94	13.14	0.80	9.00	2.40	0.43
15	1.82	10.60	27.00	996.60	200	5.80	34.62	7.57	53.93	16.94	68.59	20.32	0.88	9.89	2.64	0.40

ตารางที่ ก-11 ผลการทดลองกรณ์ S_3 -3 ($d = 5.40$ มม., $b = 58.5$ มม.)

$Lx = 74.0$ มม.

Run No. (1)	y_1 (cm.) (2)	y_2 (cm.) (3)	T (°C) (4)	ρ Kg/m^3 (5)	W Kg. (6)	t (s.) (7)	Q (l./s) (8)	F_1 (9)	E_1 (cm.) (10)	E_2 (cm.) (11)	$\Delta E/E_1$ (%) (12)	$\Delta E/y_1$ (13)	s/y_1 (14)	l/y_1 (15)	d/y_1 (16)	C_D (17)
1	1.15	8.20	28.00	996.40	200	7.59	26.43	11.70	79.84	15.15	81.03	56.25	1.57	15.65	4.70	0.29
2	1.08	9.00	28.00	996.40	200	7.36	27.28	13.27	96.13	15.77	83.60	74.41	1.67	16.67	5.00	0.27
3	1.03	9.90	28.00	996.40	200	6.90	29.10	15.20	119.94	16.59	86.17	100.35	1.75	17.48	5.24	0.27
4	1.41	8.80	28.00	996.40	200	6.66	30.14	9.82	69.45	15.95	77.04	37.95	1.28	12.77	3.83	0.34
5	1.38	9.90	28.00	996.40	200	6.36	31.54	10.62	79.19	16.81	78.77	45.20	1.30	13.04	3.91	0.33
6	1.33	10.90	28.00	996.40	200	6.06	33.10	11.78	93.60	17.67	81.12	57.09	1.35	13.53	4.06	0.32
7	1.72	9.30	28.00	996.40	200	6.18	32.50	7.86	54.88	16.52	69.90	22.31	1.05	10.47	3.14	0.37
8	1.62	10.20	28.00	996.40	200	5.95	33.72	8.92	66.13	17.23	73.95	30.19	1.11	11.11	3.33	0.36
9	1.58	10.80	28.00	996.40	200	5.69	35.28	9.69	75.82	17.79	76.54	36.73	1.14	11.39	3.42	0.36
10	2.18	10.00	28.00	996.40	200	5.42	37.01	6.28	45.11	17.44	61.34	12.69	0.83	8.26	2.48	0.43
11	2.08	10.60	28.00	996.40	200	5.31	37.78	6.87	51.21	17.89	65.06	16.02	0.87	8.65	2.60	0.42
12	2.72	10.70	28.00	996.40	200	4.71	42.62	5.18	39.28	18.46	53.00	7.65	0.66	6.62	1.99	0.48
13	1.12	8.60	28.00	996.40	200	7.46	26.91	12.39	87.07	15.46	82.25	63.94	1.61	16.07	4.82	0.28
14	1.66	9.80	28.00	996.40	200	6.02	33.34	8.51	61.73	16.92	72.58	26.99	1.08	10.84	3.25	0.37

ตารางที่ ก-12 ผลการทดลองกรณี S_3 -4 ($d = 6.00 \text{ มม.}$, $b = 58.5 \text{ มม.}$)

$Lx = 74.0 \text{ มม.}$

Run No.	y_1 (cm.)	y_2 (cm.)	T ($^{\circ}\text{C}$)	ρ Kg/m^3	W Kg.	t (s.)	Q (l./s)	F_1	E_1 (cm.)	E_2 (cm.)	$\Delta E/E_1$ (%)	$\Delta E/y_1$	s/ y_1	l/y_1	d/y_1	C_D
(1)	(2)	(3)	(4)	(5)	(6)	(7)	(8)	(9)	(10)	(11)	(12)	(13)	(14)	(15)	(16)	(17)
1	1.00	7.60	29.50	996.10	200	8.78	22.87	12.48	78.89	14.95	81.05	63.94	2.00	18.00	6.00	0.23
2	1.44	8.80	29.50	996.10	200	7.58	26.48	8.36	51.79	16.15	68.82	24.75	1.39	12.50	4.17	0.28
3	1.26	9.80	29.50	996.10	200	6.64	30.24	11.67	87.04	17.22	80.22	55.41	1.59	14.29	4.76	0.27
4	1.18	10.70	29.50	996.10	200	6.39	31.44	13.39	106.89	17.99	83.17	75.35	1.69	15.25	5.08	0.26
5	1.88	9.40	29.50	996.10	200	6.40	31.36	6.64	43.31	17.06	60.62	13.96	1.06	9.57	3.19	0.33
6	1.80	9.82	29.50	996.10	200	6.11	32.86	7.43	51.44	17.49	66.00	18.86	1.11	10.00	3.33	0.33
7	1.83	8.90	29.50	996.10	200	7.11	28.25	6.23	37.33	16.40	56.06	11.44	1.09	9.84	3.28	0.31
8	1.20	9.20	29.50	996.10	200	6.92	29.01	12.05	88.27	16.68	81.10	59.66	1.67	15.00	5.00	0.27
9	1.77	12.10	29.50	996.10	200	5.22	38.46	8.91	72.10	19.60	72.81	29.66	1.13	10.17	3.39	0.33
10	1.64	12.70	29.50	996.10	200	5.15	38.96	10.12	85.70	20.10	76.54	40.00	1.22	10.98	3.66	0.32
11	1.55	13.00	29.50	996.10	200	5.09	39.48	11.17	98.16	20.37	79.24	50.19	1.29	11.61	3.87	0.31
12	1.92	8.10	29.50	996.10	200	7.22	27.83	5.71	33.21	15.86	52.25	9.04	1.04	9.38	3.13	0.32
13	1.70	12.40	29.50	996.10	200	5.19	38.68	9.52	78.80	19.85	74.81	34.68	1.18	10.59	3.53	0.33
14	1.50	13.10	29.50	996.10	200	4.91	40.93	12.16	112.37	20.55	81.71	61.21	1.33	12.00	4.00	0.32
15	1.71	9.30	29.50	996.10	200	7.09	28.32	6.80	41.20	16.63	59.62	14.36	1.17	10.53	3.51	0.28

ตารางที่ ก-13 ผลการทดลองกรณี S₄-1 ($d = 3.60$ มม., $b = 58.5$ มม.)

$L_x = 74.0$ มม.

Run No. (1)	y_1 (cm.) (2)	y_2 (cm.) (3)	T (°C) (4)	ρ Kg/m^3 (5)	W Kg. (6)	t (s.) (7)	Q (l./s) (8)	F_1 (9)	E_1 (cm.) (10)	E_2 (cm.) (11)	$\Delta E/E_1$ (%) (12)	$\Delta E/y_1$ (%) (13)	s/ y_1 (14)	I/y_1 (15)	d/y_1 (16)	C_D (17)
1	1.79	7.40	25.00	997.00	200	7.47	26.85	6.12	35.31	12.96	63.29	12.49	0.50	7.54	2.01	0.54
2	1.55	8.90	25.00	997.00	200	6.75	29.72	8.41	56.30	14.16	74.85	27.19	0.58	8.71	2.32	0.52
3	1.39	10.60	25.00	997.00	200	6.36	31.52	10.50	78.00	15.52	80.10	44.95	0.65	9.71	2.59	0.47
4	1.03	9.30	25.00	997.00	200	7.63	26.29	13.73	98.07	14.09	85.63	81.53	0.87	13.11	3.50	0.39
5	0.87	10.20	25.00	997.00	200	7.36	27.26	18.33	147.04	14.86	89.89	151.93	1.03	15.52	4.14	0.34
6	2.56	8.80	25.00	997.00	200	6.00	33.43	4.45	27.96	14.55	47.97	5.24	0.35	5.27	1.41	0.62
7	2.43	9.30	25.00	997.00	200	5.83	34.39	4.95	32.26	14.94	53.70	7.13	0.37	5.56	1.48	0.62
8	2.34	9.90	25.00	997.00	200	5.73	35.01	5.34	35.68	15.36	56.94	8.68	0.38	5.77	1.54	0.61
9	2.15	11.10	25.00	997.00	200	5.54	36.20	6.27	44.38	16.28	63.31	13.07	0.42	6.28	1.67	0.57
10	2.26	10.50	25.00	997.00	200	5.65	35.50	5.70	39.02	15.80	59.50	10.27	0.40	5.97	1.59	0.59
11	1.69	8.40	25.00	997.00	200	7.11	28.21	7.01	43.20	13.68	68.33	17.47	0.53	7.99	2.13	0.52
12	1.47	9.80	25.00	997.00	200	6.52	30.77	9.42	66.71	14.87	77.71	35.27	0.61	9.18	2.45	0.49
13	0.97	9.70	25.00	997.00	200	7.45	26.92	15.38	115.70	14.45	87.51	104.39	0.93	13.92	3.71	0.37
14	1.00	12.30	25.00	997.00	200	6.06	33.11	18.07	164.31	16.98	89.67	147.33	0.90	13.50	3.60	0.38

ตารางที่ ก-14 ผลการทดสอบกรณ์ S_4 -2 ($d = 4.80 \text{ มม.}$, $b = 58.5 \text{ มม.}$)

$L_x = 74.0 \text{ มม.}$

Run No.	y_1 (cm.)	y_2 (cm.)	T ($^{\circ}\text{C}$)	ρ Kg/m^3	W Kg.	t (s.)	Q (l./s)	F_1 (9)	E_1 (cm.)	E_2 (cm.)	$\Delta E/E_1$ (%)	$\Delta E/y_1$	s/y_1	l/y_1	d/y_1	C_D
(1)	(2)	(3)	(4)	(5)	(6)	(7)	(8)	(10)	(11)	(12)	(13)	(14)	(15)	(16)	(17)	
1	1.03	10.10	27.00	996.60	200	7.56	26.55	13.86	99.95	15.93	84.06	81.58	1.17	13.11	4.66	0.28
2	0.89	10.90	27.00	996.60	200	7.20	27.87	18.12	146.96	16.67	88.65	146.39	1.35	15.17	5.39	0.26
3	1.81	7.80	27.00	996.60	200	7.22	27.80	6.23	36.93	14.49	60.76	12.40	0.66	7.46	2.65	0.41
4	1.61	9.50	27.00	996.60	200	6.73	29.80	7.96	52.65	15.77	70.05	22.91	0.75	8.39	2.98	0.38
5	1.45	10.50	27.00	996.60	200	6.65	30.18	9.43	65.96	16.53	74.94	34.09	0.83	9.31	3.31	0.35
6	1.39	11.50	27.00	996.60	200	6.17	32.53	10.83	82.94	17.49	78.91	47.08	0.86	9.71	3.45	0.34
7	1.27	12.20	27.00	996.60	200	5.95	33.71	12.85	106.20	18.14	82.92	69.34	0.94	10.63	3.78	0.33
8	1.22	12.70	27.00	996.60	200	5.80	34.60	14.01	121.01	18.61	84.63	83.94	0.98	11.07	3.93	0.32
9	1.15	13.30	27.00	996.60	200	5.56	36.09	15.97	147.86	19.20	87.02	111.88	1.04	11.74	4.17	0.31
10	2.17	9.40	27.00	996.60	200	5.90	33.99	5.80	38.72	16.15	58.30	10.40	0.55	6.22	2.21	0.46
11	2.11	10.10	27.00	996.60	200	5.68	35.33	6.29	43.87	16.72	61.88	12.87	0.57	6.40	2.27	0.45
12	2.43	10.00	27.00	996.60	200	5.45	36.80	5.30	36.59	16.82	54.03	8.14	0.49	5.56	1.98	0.48
13	0.95	10.50	27.00	996.60	200	7.38	27.18	16.02	122.84	16.30	86.73	112.15	1.26	14.21	5.05	0.27
14	1.72	8.80	27.00	996.60	200	6.98	28.73	6.95	43.29	15.19	64.91	16.34	0.70	7.85	2.79	0.39
15	1.51	9.80	27.00	996.60	200	6.99	28.70	8.30	53.52	15.83	70.42	24.96	0.79	8.94	3.18	0.33

ตารางที่ก-15 ผลการทดสอบกรณ์ S_4 -3 ($d = 5.40$ มม., $b = 58.5$ มม.)

$L_x = 74.0$ มม.

Run No. (1)	y_1 (cm.) (2)	y_2 (cm.) (3)	T (°C) (4)	ρ Kg/m^3 (5)	W Kg. (6)	t (s.) (7)	Q (l./s) (8)	F_1 (9)	E_1 (cm.) (10)	E_2 (cm.) (11)	$\Delta E/E_1$ (%) (12)	$\Delta E/y_1$ (13)	s/y_1 (14)	l/y_1 (15)	d/y_1 (16)	C_D (17)
1	1.53	8.70	28.00	996.40	200	6.88	29.17	8.41	55.68	15.77	71.67	26.08	0.88	8.82	3.53	0.34
2	1.40	9.70	28.00	996.40	200	6.36	31.54	10.39	77.01	16.67	78.35	43.09	0.96	9.64	3.86	0.33
3	1.39	10.90	28.00	996.40	200	6.13	32.76	10.91	84.13	17.65	79.03	47.83	0.97	9.71	3.88	0.32
4	1.32	11.60	28.00	996.40	200	5.97	33.62	12.10	97.94	18.25	81.37	60.37	1.02	10.23	4.09	0.31
5	1.06	9.80	28.00	996.40	200	7.21	27.83	13.92	103.70	16.40	84.18	82.35	1.27	12.74	5.09	0.26
6	1.77	9.50	28.00	996.40	200	6.20	32.37	7.50	51.60	16.63	67.77	19.75	0.76	7.63	3.05	0.37
7	2.34	9.80	28.50	996.30	200	5.44	36.88	5.62	39.33	17.31	55.99	9.41	0.58	5.77	2.31	0.43
8	2.21	10.30	28.50	996.30	200	5.33	37.66	6.26	45.46	17.69	61.09	12.57	0.61	6.11	2.44	0.43
9	2.11	10.80	28.50	996.30	200	5.21	38.53	6.86	51.77	18.10	65.05	15.96	0.64	6.40	2.56	0.42
10	1.46	10.00	28.50	996.30	200	6.61	30.36	9.39	65.86	16.77	74.53	33.62	0.92	9.25	3.70	0.32
11	1.28	11.90	28.50	996.30	200	5.81	34.55	13.02	109.80	18.56	83.10	71.28	1.05	10.55	4.22	0.30
12	1.68	10.60	28.50	996.30	200	5.93	33.83	8.48	62.07	17.52	71.78	26.52	0.80	8.04	3.21	0.36
13	1.60	11.70	28.50	996.30	200	5.87	34.19	9.22	69.62	18.37	73.61	32.03	0.84	8.44	3.38	0.33
14	1.59	8.20	28.50	996.30	200	7.11	28.23	7.68	48.52	15.36	68.34	20.86	0.85	8.49	3.40	0.35

ตารางที่ ก-16 ผลการทดลองกรณี S_4 -4 ($d = 6.00 \text{ มม.}$, $b = 58.5 \text{ มม.}$)

$L_x = 74.0 \text{ มม.}$

Run No.	y_1 (cm.)	y_2 (cm.)	T (°C)	ρ Kg/m^3	W Kg.	t (s.)	Q (l./s)	F_1 (9)	E_1 (cm.)	E_2 (cm.)	$\Delta E/E_1$ (%)	$\Delta E/y_1$ (13)	s/y ₁ (14)	I/y ₁ (15)	d/y ₁ (16)	C_D (17)
(1)	(2)	(3)	(4)	(5)	(6)	(7)	(8)	(9)	(10)	(11)	(12)	(13)	(14)	(15)	(16)	(17)
1	0.99	7.30	29.50	996.10	200	8.61	23.31	12.92	83.56	14.82	82.27	69.44	1.52	13.64	6.06	0.23
2	1.11	7.90	29.50	996.10	200	8.55	23.48	10.96	67.77	15.22	77.55	47.35	1.35	12.16	5.41	0.24
3	1.28	6.45	29.50	996.10	200	8.01	25.08	9.45	58.44	14.70	74.85	34.17	1.17	10.55	4.69	0.28
4	1.27	7.80	29.50	996.10	200	7.67	26.18	9.98	64.55	15.48	76.02	38.64	1.18	10.63	4.72	0.28
5	1.29	8.85	29.50	996.10	200	7.50	26.77	9.97	65.43	16.21	75.22	38.15	1.16	10.47	4.65	0.27
6	1.13	9.85	29.50	996.10	200	7.11	28.25	12.84	94.23	17.08	81.88	68.28	1.33	11.95	5.31	0.25
7	1.21	10.70	29.50	996.10	200	6.73	29.83	12.23	91.75	17.86	80.54	61.07	1.24	11.16	4.96	0.25
8	1.78	7.40	29.50	996.10	200	7.14	28.12	6.46	38.95	15.55	60.08	13.15	0.84	7.58	3.37	0.33
9	1.57	7.70	29.50	996.10	200	6.93	28.96	8.03	52.24	15.81	69.74	23.21	0.96	8.60	3.82	0.32
10	1.38	9.20	29.50	996.10	200	6.81	29.48	9.93	69.36	16.73	75.88	38.14	1.09	9.78	4.35	0.29
11	1.37	10.10	29.50	996.10	200	6.55	30.65	10.43	75.93	17.47	76.99	42.67	1.09	9.85	4.38	0.28
12	1.36	10.80	29.50	996.10	200	6.11	32.84	11.30	88.22	18.18	79.39	51.50	1.10	9.93	4.41	0.29
13	1.86	8.90	29.50	996.10	200	6.44	31.19	6.71	43.75	16.73	61.76	14.53	0.81	7.26	3.23	0.34
14	1.86	7.40	29.50	996.10	200	7.32	27.42	5.90	34.22	15.44	54.87	10.09	0.81	7.26	3.23	0.33
15	1.60	8.80	29.50	996.10	200	6.79	29.57	7.84	50.77	16.43	67.65	21.47	0.94	8.44	3.75	0.30

ตารางที่ ก-17 ผลการทดสอบของกรณี S_0 -1 ($d = 3.60$ ม., $b = 58.5$ ม.)

$Lx = 74.0$ ม.

Run No. (1)	y_1 (cm.) (2)	y_2 (cm.) (3)	T (°C) (4)	ρ Kg/m^3 (5)	W Kg. (6)	t (s.) (7)	Q (l./s) (8)	F_1 (9)	E_1 (cm.) (10)	E_2 (cm.) (11)	$\Delta E/E_1$ (%) (12)	$\Delta E/y_1$ (13)	s/ y_1 (14)	I/y_1 (15)	d/y_1 (16)	C_D (17)
1	1.03	12.30	26.00	996.80	200	7.56	26.54	13.86	99.91	16.59	83.39	80.89	3.50	52.43	3.50	0.31
2	0.88	13.00	26.00	996.80	200	7.35	27.30	18.05	144.20	17.26	88.03	144.25	4.09	61.36	4.09	0.29
3	1.50	10.80	26.00	996.80	200	7.03	28.55	8.48	55.47	15.44	72.16	26.69	2.40	36.00	2.40	0.42
4	1.34	11.80	26.00	996.80	200	6.77	29.62	10.42	74.12	16.34	77.96	43.12	2.69	40.30	2.69	0.40
5	1.27	12.90	26.00	996.80	200	6.48	30.95	11.80	89.71	17.36	80.65	56.97	2.83	42.52	2.83	0.38
6	2.59	10.10	26.00	996.80	200	6.56	30.59	4.00	23.36	15.07	35.50	3.20	1.39	20.85	1.39	0.43
7	2.43	10.80	26.00	996.80	200	6.26	32.05	4.62	28.34	15.71	44.56	5.20	1.48	22.22	1.48	0.45
8	2.12	11.80	26.00	996.80	200	5.82	34.47	6.10	41.50	16.67	59.83	11.71	1.70	25.47	1.70	0.49
9	0.96	12.60	26.00	996.80	200	7.45	26.95	15.64	118.33	16.88	85.73	105.68	3.75	56.25	3.75	0.31
10	1.62	9.70	26.00	996.80	200	7.32	27.40	7.25	44.23	14.49	67.24	18.36	2.22	33.33	2.22	0.45
11	1.42	11.70	26.00	996.80	200	6.90	29.10	9.39	63.96	16.22	74.64	33.62	2.54	38.03	2.54	0.39
12	1.20	13.80	26.00	996.80	200	6.21	32.30	13.41	109.10	18.22	83.30	75.73	3.00	45.00	3.00	0.37
13	2.27	11.40	26.00	996.80	200	6.02	33.31	5.32	34.34	16.27	52.62	7.96	1.59	23.79	1.59	0.47
14	0.95	12.70	26.00	996.80	200	7.45	26.93	15.87	120.61	16.97	85.93	109.10	3.79	56.84	3.79	0.30

ตารางที่ ก-18 ผลการทดลองกรณี S_0 -2 ($d = 4.80 \text{ มม.}$, $b = 58.5 \text{ มม.}$)

$Lx = 74.0 \text{ มม.}$

Run No.	y_1 (cm.)	y_2 (cm.)	T ($^{\circ}\text{C}$)	ρ Kg/m^3	W Kg.	t (s.)	Q (l./s)	F_1	E_1 (cm.)	E_2 (cm.)	$\Delta E/E_1$ (%)	$\Delta E/y_1$ (13)	s/ y_1 (14)	I/y_1 (15)	d/y_1 (16)	C_D (17)
(1)	(2)	(3)	(4)	(5)	(6)	(7)	(8)	(9)	(10)	(11)	(12)	(13)	(14)	(15)	(16)	(17)
1	1.74	8.50	25.00	997.00	200	7.53	26.64	6.33	36.65	14.76	59.72	12.58	2.76	31.03	2.76	0.37
2	1.52	9.70	25.00	997.00	200	6.91	29.04	8.46	55.90	15.84	71.67	26.36	3.16	35.53	3.16	0.36
3	1.43	11.00	25.00	997.00	200	6.45	31.08	9.92	71.81	16.99	76.34	38.33	3.36	37.76	3.36	0.34
4	1.31	12.30	25.00	997.00	200	6.34	31.66	11.52	88.29	18.09	79.51	53.59	3.66	41.22	3.66	0.31
5	1.17	13.20	25.00	997.00	200	5.96	33.66	14.52	124.42	18.97	84.75	90.13	4.10	46.15	4.10	0.30
6	2.16	9.20	25.00	997.00	200	6.34	31.66	5.44	34.15	15.76	53.84	8.51	2.22	25.00	2.22	0.43
7	1.98	10.30	25.00	997.00	200	6.16	32.57	6.38	42.27	16.59	60.75	12.97	2.42	27.27	2.42	0.40
8	1.89	11.50	25.00	997.00	200	5.92	33.89	7.12	49.76	17.59	64.65	17.02	2.54	28.57	2.54	0.38
9	1.60	9.20	25.00	997.00	200	7.22	27.79	7.49	46.53	15.36	66.99	19.48	3.00	33.75	3.00	0.36
10	1.48	10.50	25.00	997.00	200	6.61	30.33	9.24	64.47	16.54	74.34	32.49	3.25	36.61	3.25	0.35
11	1.38	11.50	25.00	997.00	200	6.41	31.31	10.54	78.04	17.40	77.70	43.94	3.48	39.13	3.48	0.33
12	1.22	12.90	25.00	997.00	200	6.13	32.72	13.25	108.34	18.66	82.78	73.51	3.93	44.26	3.93	0.30
13	2.05	9.70	25.00	997.00	200	6.23	32.18	5.98	38.76	16.14	58.36	11.03	2.34	26.34	2.34	0.42
14	1.93	10.90	25.00	997.00	200	6.05	33.15	6.75	45.86	17.08	62.76	14.91	2.49	27.98	2.49	0.39

ตารางที่ ก-19 ผลการทดลองกรนี S_0 -3 ($d = 5.40\text{ ม.}, b = 58.5\text{ ม.}$)

$Lx = 74.0\text{ ม.}$

Run No. (1)	y_1 (cm.) (2)	y_2 (cm.) (3)	T (°C) (4)	ρ Kg/m^3 (5)	W Kg. (6)	t (s.) (7)	Q (l./s) (8)	F_1 (9)	E_1 (cm.) (10)	E_2 (cm.) (11)	$\Delta E/E_1$ (%) (12)	$\Delta E/y_1$ (13)	s/y_1 (14)	l/y_1 (15)	d/y_1 (16)	C_D (17)
1	0.96	11.90	28.50	996.30	200	7.23	27.77	16.11	125.54	18.11	85.57	111.91	5.63	56.25	5.63	0.22
2	1.49	8.00	28.50	996.30	200	7.52	26.69	8.01	49.29	15.06	69.45	22.98	3.62	36.24	3.62	0.33
3	1.34	10.50	28.50	996.30	200	6.97	28.79	10.13	70.08	17.02	75.71	39.59	4.03	40.30	4.03	0.29
4	1.23	11.80	28.50	996.30	200	6.53	30.76	12.31	94.36	18.21	80.70	61.91	4.39	43.90	4.39	0.27
5	1.79	8.40	28.50	996.30	200	6.96	28.86	6.58	40.49	15.56	61.58	13.93	3.02	30.17	3.02	0.36
6	1.64	10.00	28.50	996.30	200	6.34	31.68	8.23	57.21	16.89	70.47	24.58	3.29	32.93	3.29	0.35
7	1.59	10.70	28.50	996.30	200	6.14	32.68	8.90	64.49	17.49	72.88	29.56	3.40	33.96	3.40	0.34
8	2.26	9.00	28.50	996.30	200	6.20	32.38	5.20	32.83	16.33	50.26	7.30	2.39	23.89	2.39	0.40
9	2.04	9.90	28.50	996.30	200	5.88	34.12	6.39	43.70	17.07	60.94	13.06	2.65	26.47	2.65	0.39
10	1.01	11.00	28.50	996.30	200	7.51	26.72	14.37	105.27	17.28	83.59	87.12	5.35	53.47	5.35	0.23
11	1.54	7.20	28.50	996.30	200	7.83	25.63	7.32	42.81	14.49	66.15	18.39	3.51	35.06	3.51	0.34
12	1.40	9.20	28.50	996.30	200	7.22	27.80	9.16	60.12	15.96	73.46	31.55	3.86	38.57	3.86	0.31
13	1.29	11.20	28.50	996.30	200	6.46	31.10	11.58	87.84	17.75	79.79	54.33	4.19	41.86	4.19	0.29
14	1.72	9.10	28.50	996.30	200	6.76	29.72	7.19	46.18	16.09	65.16	17.49	3.14	31.40	3.14	0.35
15	2.10	9.70	28.50	996.30	200	5.92	33.92	5.98	39.66	16.86	57.49	10.86	2.57	25.71	2.57	0.38

ตารางที่ ก-20 ผลการทดลองของกรณ์ S_0 -4 ($d = 6.00 \text{ มม.}$, $b = 58.5 \text{ มม.}$)

$Lx = 74.0 \text{ มม.}$

Run No. (1)	y_1 (cm.) (2)	y_2 (cm.) (3)	T (°C) (4)	ρ Kg/m^3 (5)	W Kg. (6)	t (s.) (7)	Q (l./s) (8)	F_1 (9)	E_1 (cm.) (10)	E_2 (cm.) (11)	$\Delta E/E_1$ (%) (12)	$\Delta E/y_1$ (13)	s/y_1 (14)	I/y_1 (15)	d/y_1 (16)	C_D (17)
1	0.97	12.30	28.50	996.30	200	7.25	27.69	15.82	122.32	19.05	84.42	106.46	6.19	55.67	6.19	0.19
2	1.50	8.40	28.50	996.30	200	7.52	26.69	7.93	48.64	15.90	67.31	21.83	4.00	36.00	4.00	0.29
3	1.28	9.80	28.50	996.30	200	7.00	28.68	10.81	76.04	17.08	77.54	46.06	4.69	42.19	4.69	0.27
4	1.20	11.50	28.50	996.30	200	6.55	30.64	12.72	98.32	18.56	81.12	66.47	5.00	45.00	5.00	0.25
5	1.82	8.70	28.50	996.30	200	7.00	28.70	6.38	38.85	16.32	57.99	12.38	3.30	29.67	3.30	0.32
6	1.66	10.30	28.50	996.30	200	6.41	31.34	8.00	54.75	17.68	67.71	22.33	3.61	32.53	3.61	0.30
7	1.61	11.00	28.50	996.30	200	6.22	32.27	8.62	61.46	18.28	70.25	26.82	3.73	33.54	3.73	0.29
8	2.28	9.40	28.50	996.30	200	6.21	32.32	5.12	32.21	17.16	46.72	6.60	2.63	23.68	2.63	0.34
9	2.10	10.70	28.50	996.30	200	6.01	33.38	5.99	39.74	18.15	54.33	10.28	2.86	25.71	2.86	0.32
10	1.20	9.80	29.00	996.20	200	7.30	27.50	11.42	79.40	16.97	78.63	52.03	5.00	45.00	5.00	0.25
11	1.40	9.20	29.00	996.20	200	7.26	27.67	9.12	59.59	16.55	72.23	30.74	4.29	38.57	4.29	0.28
12	1.27	11.20	29.00	996.20	200	6.70	29.96	11.43	84.18	18.27	78.30	51.90	4.72	42.52	4.72	0.25
13	1.93	8.10	29.00	996.20	200	7.26	27.67	5.63	32.55	15.84	51.34	8.66	3.11	27.98	3.11	0.32
14	1.74	9.60	29.00	996.20	200	6.73	29.83	7.09	45.52	17.04	62.57	16.37	3.45	31.03	3.45	0.31

ภาคผนวก ข.

รายการวิเคราะห์คำนวนผลการทดลอง

การวิเคราะห์คำนวนผลการทดลองที่อัตราการไหลต่างๆ ในแม่น้ำสายพลังงานแบบ
ขั้นบันไดบนพื้นเรียงชั้น ทั้งหมด 20 แบบ ตามตารางที่ ข-1 ถึง ข-20 ดังนี้คือ

1. ลำดับข้อมูลในแต่ละการทดลอง (Run No.)
2. ความลึกการไหลก่อนการเกิดน้ำกระโดด (y_1 , เซนติเมตร)
3. ความลึกการไหลหลังการเกิดน้ำกระโดด (y_2 , เซนติเมตร)
4. ความลึกการไหลหลังเกิดน้ำกระโดด ($y_s = y_2 + d$, เซนติเมตร)
5. อัตราการไหล ($Q = (W\rho / t) * 1000$, ลิตร/วินาที)
6. อัตราการไหล ($q = Q/b$, ลิตร/วินาที/ซม.)
7. ความเร็วการไหลก่อนการเกิดน้ำกระโดด ($V_1 = q/y_1$)
8. ความเร็วการไหลก่อนการเกิดน้ำกระโดด ($V_2 = q/y_2$)
9. ความเร็วการไหลหลังเกิดน้ำกระโดด ($V_s = q/y_s$)
10. ฟรูดัมเบอที่จุดก่อนการเกิดน้ำกระโดด ($F_1 = V_1 / \sqrt{gy_1}$)
11. ฟรูดัมเบอที่จุดหลังการเกิดน้ำกระโดด ($F_s = V_s / \sqrt{gy_s}$)
12. ความลึกการไหลหลังการเกิดน้ำกระโดดต่อความลึกการไหลก่อนการเกิดน้ำกระโดด (y_2/y_1)
13. ความลึกการไหลหลังการเกิดน้ำกระโดดต่อความลึกการไหลก่อนการเกิดน้ำกระโดด (y_s/y_1)
14. อัตราส่วนของความลึกการไหลหลังเกิดน้ำกระโดดบนพื้นราบต่อความลึกการไหลก่อนการเกิด
น้ำกระโดด (y_2'/y_1) โดย $y_2' = \frac{1}{2} (\sqrt{1+8F_1^2} - 1) * y_1$
15. ratio/effectiveness of step ($\frac{y_s/y_1}{y_2/y_1}$)
16. อัตราส่วนของความยาน้ำกระโดดจากจุดเริ่มต้นถึงจุดสิ้นสุดแม่น้ำสายพลังงานต่อความลึก
การไหลหลังการเกิดน้ำกระโดด (Lx/y_s)
17. พลังงานที่จุด 1 ก่อนการเกิดน้ำกระโดด ($E_1 = y_1 + \frac{V_1^2}{2g}$, เซนติเมตร)
18. พลังงานที่จุดหลังการเกิดน้ำกระโดด ($E_s = y_s + \frac{V_s^2}{2g}$, เซนติเมตร)
19. ประสิทธิภาพในการสายพลังงาน ($\Delta E/E_1$, เปอร์เซ็นต์)

ตารางที่ ๑-๑ ผลการทดลองกรณี S₁-1 ($d = 3.60 \text{ มม.}$, $b = 58.5 \text{ มม.}$)

$Lx = 74.0 \text{ มม.}$

Run No.	y_1 (cm.)	y_2 (cm.)	y_s (cm.)	Q (l./s)	q (l./s/cm)	V_1 cm./s	V_2 cm./s	V_s cm./s	F_1 (10)	F_s (11)	y_2/y_1 (12)	y_s/y_1 (13)	y_2'/y_1 (14)	$\frac{y_s/y_1}{y_2'/y_1}$ (15)	Lx/y_s (16)	E_1 (cm.)	E_s (cm.)	$\Delta E/E_1$ (%)
(1)	(2)	(3)	(4)	(5)	(6)	(7)	(8)	(9)							(17)	(18)	(19)	
1	0.88	11.70	15.30	27.27	0.47	529.71	39.84	30.47	18.03	0.25	13.30	17.39	25.00	0.70	4.84	143.89	15.77	89.04
2	1.14	14.70	18.30	38.33	0.66	574.69	44.57	35.80	17.19	0.27	12.89	16.05	23.81	0.67	4.04	169.48	18.95	88.82
3	1.24	14.10	17.70	37.24	0.64	513.32	45.14	35.96	14.72	0.27	11.37	14.27	20.32	0.70	4.18	135.54	18.36	86.45
4	1.30	13.00	16.60	34.72	0.59	456.51	45.65	35.75	12.78	0.28	10.00	12.77	17.59	0.73	4.46	107.52	17.25	83.95
5	1.37	13.30	16.90	35.29	0.60	440.37	45.36	35.70	12.01	0.28	9.71	12.34	16.50	0.75	4.38	100.21	17.55	82.49
6	1.44	12.60	16.20	33.88	0.58	402.22	45.97	35.75	10.70	0.28	8.75	11.25	14.64	0.77	4.57	83.90	16.85	79.91
7	1.53	12.00	15.60	33.21	0.57	371.05	47.31	36.39	9.58	0.29	7.84	10.20	13.05	0.78	4.74	71.70	16.27	77.30
8	1.58	11.00	14.60	31.46	0.54	340.34	48.89	36.83	8.64	0.31	6.96	9.24	11.74	0.79	5.07	60.62	15.29	74.77
9	1.62	11.00	14.60	31.11	0.53	328.29	48.35	36.43	8.23	0.30	6.79	9.01	11.16	0.81	5.07	56.55	15.28	72.99
10	1.64	10.50	14.10	30.32	0.52	316.01	49.36	36.76	7.88	0.31	6.40	8.60	10.65	0.81	5.25	52.54	14.79	71.85
11	2.10	13.00	16.60	40.88	0.70	332.73	53.75	42.09	7.33	0.33	6.19	7.90	9.88	0.80	4.46	58.53	17.50	70.09
12	2.30	11.90	15.50	37.51	0.64	278.76	53.88	41.36	5.87	0.34	5.17	6.74	7.81	0.86	4.77	41.91	16.37	60.93
13	2.38	11.10	14.70	35.17	0.60	252.60	54.16	40.90	5.23	0.34	4.66	6.18	6.91	0.89	5.03	34.90	15.55	55.44
14	2.47	10.30	13.90	33.17	0.57	229.59	55.06	40.80	4.66	0.35	4.17	5.63	6.11	0.92	5.32	29.34	14.75	49.72

ตารางที่ ข-2 ผลการทดลองกรณี S₁-2 ($d = 4.80$ ซม., $b = 58.5$ ซม.)

$Lx = 74.0$ ซม.

Run No. (1)	y_1 (cm.) (2)	y_2 (cm.) (3)	y_s (cm.) (4)	Q (l./s) (5)	q (l./s/cm) (6)	V_1 cm./s (7)	V_2 cm./s (8)	V_s cm./s (9)	F_1 (10)	F_s (11)	y_2/y_1 (12)	y_s/y_1 (13)	y_2'/y_1 (14)	$\frac{y_s}{y_1}$ $\underline{y_2'/y_1}$ (15)	Lx/y_s (16)	E_1 (cm.) (17)	E_s (cm.) (18)	$\Delta E/E_1$ (%) (19)
1	1.03	10.70	15.50	29.71	0.51	493.03	47.46	32.76	15.51	0.27	10.39	15.05	21.44	0.70	4.77	124.92	16.05	87.15
2	1.05	10.10	14.90	28.72	0.49	467.49	48.60	32.94	14.57	0.27	9.62	14.19	20.11	0.71	4.97	112.44	15.45	86.26
3	1.25	12.20	17.00	35.21	0.60	481.57	49.34	35.41	13.75	0.27	9.76	13.60	18.95	0.72	4.35	119.45	17.64	85.23
4	1.07	9.50	14.30	27.80	0.48	444.14	50.02	33.23	13.71	0.28	8.88	13.36	18.89	0.71	5.17	101.61	14.86	85.37
5	1.30	11.20	16.00	34.08	0.58	448.11	52.01	36.41	12.55	0.29	8.62	12.31	17.25	0.71	4.63	103.64	16.68	83.91
6	1.40	10.00	14.80	32.69	0.56	399.16	55.88	37.76	10.77	0.31	7.14	10.57	14.74	0.72	5.00	82.61	15.53	81.20
7	1.58	11.00	15.80	36.10	0.62	390.58	56.10	39.06	9.92	0.31	6.96	10.00	13.54	0.74	4.68	79.33	16.58	79.10
8	1.62	10.00	14.80	34.49	0.59	363.92	58.95	39.83	9.13	0.33	6.17	9.14	12.42	0.74	5.00	69.12	15.61	77.42
9	1.66	9.30	14.10	33.29	0.57	342.78	61.18	40.36	8.49	0.34	5.60	8.49	11.52	0.74	5.25	61.55	14.93	75.74
10	2.04	10.50	15.30	39.03	0.67	327.01	63.53	43.60	7.31	0.36	5.15	7.50	9.85	0.76	4.84	56.54	16.27	71.23
11	2.07	10.30	15.10	38.59	0.66	318.70	64.05	43.69	7.07	0.36	4.98	7.29	9.51	0.77	4.90	53.84	16.07	70.15
12	2.10	10.00	14.80	37.97	0.65	309.06	64.90	43.85	6.81	0.36	4.76	7.05	9.14	0.77	5.00	50.78	15.78	68.93
13	2.42	10.70	15.50	42.59	0.73	300.81	68.03	46.97	6.17	0.38	4.42	6.40	8.25	0.78	4.77	48.54	16.62	65.75
14	2.56	10.50	15.30	41.30	0.71	275.78	67.24	46.14	5.50	0.38	4.10	5.98	7.30	0.82	4.84	41.32	16.39	60.35

ตารางที่ ข-3 ผลการทดลองกรณี S₁-3 ($d = 5.40$ ม., $b = 58.5$ ม.)

$Lx = 74.0$ ม.

Run No. (1)	y_1 (cm.) (2)	y_2 (cm.) (3)	y_s (cm.) (4)	Q (l./s) (5)	q (l./s/cm) (6)	V_1 cm./s (7)	V_2 cm./s (8)	V_s cm./s (9)	F_1 (10)	F_s (11)	y_2/y_1 (12)	y_s/y_1 (13)	y_2'/y_1 (14)	$\frac{y_s/y_1}{y_2'/y_1}$ (15)	Lx/y_s (16)	E_1 (cm.) (17)	E_s (cm.) (18)	$\Delta E/E_1$ (%) (19)
1	1.32	13.40	18.80	35.58	0.61	460.79	45.39	32.35	12.80	0.24	10.15	14.24	17.62	0.81	3.94	109.54	19.33	82.35
2	1.34	12.40	17.80	34.60	0.59	441.39	47.70	33.23	12.17	0.25	9.25	13.28	16.72	0.79	4.16	100.64	18.36	81.75
3	1.39	12.20	17.60	33.63	0.57	413.62	47.13	32.67	11.20	0.25	8.78	12.66	15.35	0.82	4.20	88.59	18.14	79.52
4	1.46	12.00	17.40	32.77	0.56	383.72	46.69	32.20	10.14	0.25	8.22	11.92	13.85	0.86	4.25	76.51	17.93	76.57
5	1.68	13.60	19.00	38.74	0.66	394.20	48.70	34.86	9.71	0.26	8.10	11.31	13.24	0.85	3.89	80.88	19.62	75.74
6	1.70	13.70	19.10	39.40	0.67	396.19	49.16	35.26	9.70	0.26	8.06	11.24	13.23	0.85	3.87	81.70	19.73	75.85
7	1.50	11.70	17.10	32.26	0.55	367.68	47.14	32.25	9.58	0.25	7.80	11.40	13.06	0.87	4.33	70.40	17.63	74.96
8	1.50	11.50	16.90	31.70	0.54	361.29	47.13	32.07	9.42	0.25	7.67	11.27	12.83	0.88	4.38	68.03	17.42	74.39
9	1.78	12.90	18.30	37.72	0.64	362.26	49.99	35.24	8.67	0.26	7.25	10.28	11.77	0.87	4.04	68.67	18.93	72.43
10	1.87	12.60	18.00	36.80	0.63	336.40	49.93	34.95	7.85	0.26	6.74	9.63	10.62	0.91	4.11	59.55	18.62	68.73
11	1.91	12.70	18.10	37.07	0.63	331.78	49.90	35.01	7.66	0.26	6.65	9.48	10.35	0.92	4.09	58.02	18.72	67.72
12	2.12	14.40	19.80	42.25	0.72	340.66	50.15	36.47	7.47	0.26	6.79	9.34	10.08	0.93	3.74	61.27	20.48	66.58
13	2.10	14.20	19.60	41.12	0.70	334.75	49.50	35.87	7.38	0.26	6.76	9.33	9.94	0.94	3.78	59.21	20.26	65.79
14	2.01	11.50	16.90	34.36	0.59	292.24	51.08	34.76	6.58	0.27	5.72	8.41	8.82	0.95	4.38	45.54	17.52	61.54

ตารางที่ ๔-๔ ผลการทดลองกรณี S₁-4 (d = 6.00 ซม., b = 58.5 ซม.)

Lx = 74.0 ซม.

Run No.	y ₁ (cm.)	y ₂ (cm.)	y _s (cm.)	Q (l./s)	q (l./s/cm)	v ₁ cm./s	v ₂ cm./s	v _s cm./s	F ₁ (10)	F _s (11)	y ₂ /y ₁ (12)	y _s /y ₁ (13)	y ₂ '/y ₁ (14)	$\frac{y_s/y_1}{y_2'/y_1}$ (15)	Lx/y _s (16)	E ₁ (cm.)	E _s (cm.)	$\Delta E/E_1$ (%)
(1)	(2)	(3)	(4)	(5)	(6)	(7)	(8)	(9)							(17)	(18)	(19)	
1	1.43	14.80	20.80	39.62	0.68	473.66	45.77	32.56	12.65	0.23	10.35	14.55	17.39	0.84	3.56	115.78	21.34	81.57
2	1.48	14.60	20.60	40.92	0.70	472.65	47.91	33.96	12.40	0.24	9.86	13.92	17.05	0.82	3.59	115.34	21.19	81.63
3	1.27	12.50	18.50	31.97	0.55	430.29	43.72	29.54	12.19	0.22	9.84	14.57	16.75	0.87	4.00	95.64	18.94	80.19
4	1.46	14.50	20.50	39.39	0.67	461.20	46.44	32.85	12.19	0.23	9.93	14.04	16.74	0.84	3.61	109.87	21.05	80.84
5	1.47	14.05	20.05	37.18	0.64	432.33	45.23	31.70	11.38	0.23	9.56	13.64	15.61	0.87	3.69	96.74	20.56	78.74
6	1.45	12.85	18.85	35.35	0.60	416.69	47.02	32.05	11.05	0.24	8.86	13.00	15.13	0.86	3.93	89.95	19.37	78.46
7	1.51	13.70	19.70	36.33	0.62	411.23	45.33	31.52	10.68	0.23	9.07	13.05	14.62	0.89	3.76	87.70	20.21	76.96
8	1.36	11.85	17.85	30.98	0.53	389.42	44.69	29.67	10.66	0.22	8.71	13.13	14.59	0.90	4.15	78.65	18.30	76.73
9	1.57	13.60	19.60	38.02	0.65	413.99	47.79	33.16	10.55	0.24	8.66	12.48	14.43	0.87	3.78	88.93	20.16	77.33
10	1.64	14.10	20.10	38.53	0.66	401.65	46.72	32.77	10.01	0.23	8.60	12.26	13.67	0.90	3.68	83.86	20.65	75.38
11	1.66	13.30	19.30	37.39	0.64	384.99	48.05	33.11	9.54	0.24	8.01	11.63	13.00	0.89	3.83	77.20	19.86	74.28
12	1.70	13.90	19.90	38.68	0.66	388.89	47.56	33.22	9.52	0.24	8.18	11.71	12.98	0.90	3.72	78.78	20.46	74.03
13	1.54	11.05	17.05	30.60	0.52	339.71	47.34	30.68	8.74	0.24	7.18	11.07	11.87	0.93	4.34	60.36	17.53	70.96
14	1.85	12.95	18.95	37.13	0.63	343.10	49.01	33.50	8.05	0.25	7.00	10.24	10.90	0.94	3.91	61.85	19.52	68.44
15	1.71	9.80	15.80	28.32	0.48	283.06	49.39	30.64	6.91	0.25	5.73	9.24	9.29	0.99	4.68	42.55	16.28	61.74

ตารางที่ ๔-๕ ผลการทดลองกรณี S_2^- ($d = 3.60$ มม., $b = 58.5$ มม.)

$Lx = 74.0$ มม.

Run No. (1)	y_1 (cm.) (2)	y_2 (cm.) (3)	y_s (cm.) (4)	Q (l./s) (5)	q (l./s/cm) (6)	V_1 cm./s (7)	V_2 cm./s (8)	V_s cm./s (9)	F_1 (10)	F_s (11)	y_2/y_1 (12)	y_s/y_1 (13)	y_2'/y_1 (14)	y_s/y_1 y_2'/y_1 (15)	Lx/y_s (16)	E_1 (cm.) (17)	E_s (cm.) (18)	$\Delta E/E_1$ (%) (19)
1	0.98	11.90	15.50	28.73	0.49	501.16	41.27	31.69	16.16	0.26	12.14	15.82	22.36	0.71	4.77	128.99	16.01	87.59
2	1.05	11.50	15.10	27.96	0.48	455.26	41.57	31.66	14.18	0.26	10.95	14.38	19.57	0.73	4.90	106.69	15.61	85.37
3	1.10	11.10	14.70	27.39	0.47	425.57	42.17	31.85	12.95	0.27	10.09	13.36	17.83	0.75	5.03	93.41	15.22	83.71
4	1.30	11.90	15.50	30.49	0.52	400.96	43.80	33.63	11.23	0.27	9.15	11.92	15.39	0.77	4.77	83.24	16.08	80.69
5	1.20	10.70	14.30	26.93	0.46	383.64	43.03	32.19	11.18	0.27	8.92	11.92	15.32	0.78	5.17	76.22	14.83	80.54
6	1.36	11.20	14.80	29.42	0.50	369.78	44.90	33.98	10.12	0.28	8.24	10.88	13.83	0.79	5.00	71.05	15.39	78.34
7	1.28	10.20	13.80	26.16	0.45	349.35	43.84	32.40	9.86	0.28	7.97	10.78	13.45	0.80	5.36	63.48	14.34	77.42
8	1.44	10.90	14.50	28.61	0.49	339.67	44.87	33.73	9.04	0.28	7.57	10.07	12.29	0.82	5.10	60.25	15.08	74.97
9	1.55	10.50	14.10	27.56	0.47	303.95	44.87	33.41	7.79	0.28	6.77	9.10	10.53	0.86	5.25	48.64	14.67	69.84
10	1.87	11.50	15.10	31.74	0.54	290.16	47.18	35.93	6.77	0.30	6.15	8.07	9.09	0.89	4.90	44.78	15.76	64.81
11	1.68	9.40	13.00	26.16	0.45	266.17	47.57	34.40	6.56	0.30	5.60	7.74	8.79	0.88	5.69	37.79	13.60	64.00
12	1.93	10.70	14.30	30.59	0.52	270.90	48.86	36.56	6.23	0.31	5.54	7.41	8.32	0.89	5.17	39.33	14.98	61.91
13	2.07	9.80	13.40	29.21	0.50	241.18	50.94	37.26	5.35	0.32	4.73	6.47	7.09	0.91	5.52	31.72	14.11	55.52
14	2.65	9.70	13.30	30.82	0.53	198.81	54.31	39.61	3.90	0.35	3.66	5.02	5.04	1.00	5.56	22.80	14.10	38.15

ตารางที่ ข-6 ผลการทดลองกรณี S_2 -2 ($d = 4.80$ ซม., $b = 58.5$ ซม.)

$Lx = 74.0$ ซม.

Run No.	y_1 (cm.)	y_2 (cm.)	y_s (cm.)	Q (l./s)	q (l./s/cm)	V_1 cm./s	V_2 cm./s	V_s cm./s	F_1	F_s	y_2/y_1	y_s/y_1	y_2'/y_1	$\frac{y_s/y_1}{y_2'/y_1}$	Lx/y_s	E_1 (cm.)	E_s (cm.)	$\Delta E/E_1$ (%)
(1)	(2)	(3)	(4)	(5)	(6)	(7)	(8)	(9)	(10)	(11)	(12)	(13)	(14)	(15)	(16)	(17)	(18)	(19)
1	0.95	10.10	14.90	28.73	0.49	516.95	48.62	32.96	16.93	0.27	10.63	15.68	23.45	0.67	4.97	137.16	15.45	88.73
2	0.98	9.50	14.30	27.80	0.48	484.93	50.02	33.23	15.64	0.28	9.69	14.59	21.62	0.67	5.17	120.83	14.86	87.70
3	1.00	8.80	13.60	27.14	0.46	463.88	52.71	34.11	14.81	0.30	8.80	13.60	20.45	0.66	5.44	110.68	14.19	87.18
4	1.02	8.30	13.10	26.37	0.45	441.98	54.32	34.41	13.97	0.30	8.14	12.84	19.27	0.67	5.65	100.58	13.70	86.38
5	1.06	7.80	12.60	25.25	0.43	407.16	55.33	34.25	12.63	0.31	7.36	11.89	17.36	0.68	5.87	85.56	13.20	84.57
6	1.29	9.30	14.10	30.21	0.52	400.37	55.54	36.63	11.25	0.31	7.21	10.93	15.42	0.71	5.25	82.99	14.78	82.19
7	1.40	8.60	13.40	29.52	0.50	360.42	58.67	37.66	9.73	0.33	6.14	9.57	13.26	0.72	5.52	67.61	14.12	79.11
8	1.64	10.90	15.70	35.28	0.60	367.69	55.32	38.41	9.17	0.31	6.65	9.57	12.47	0.77	4.71	70.55	16.45	76.68
9	1.72	10.30	15.10	34.41	0.59	341.98	57.11	38.95	8.33	0.32	5.99	8.78	11.28	0.78	4.90	61.33	15.87	74.12
10	1.87	10.70	15.50	36.38	0.62	332.60	58.13	40.13	7.77	0.33	5.72	8.29	10.49	0.79	4.77	58.25	16.32	71.98
11	1.85	9.80	14.60	33.39	0.57	308.55	58.25	39.10	7.24	0.33	5.30	7.89	9.75	0.81	5.07	50.37	15.38	69.47
12	1.97	9.30	14.10	32.29	0.55	280.17	59.35	39.14	6.37	0.33	4.72	7.16	8.53	0.84	5.25	41.98	14.88	64.55
13	2.11	9.90	14.70	35.13	0.60	284.62	60.66	40.85	6.26	0.34	4.69	6.97	8.36	0.83	5.03	43.40	15.55	64.17
14	2.52	10.90	15.70	40.94	0.70	277.68	64.20	44.57	5.58	0.36	4.33	6.23	7.41	0.84	4.71	41.82	16.71	60.04

ตารางที่ ๔-๗ ผลการทดลองกรณ์ S_2 -๓ ($d = 5.40$ ม., $b = 58.5$ ม.)

$Lx = 74.0$ ม.

Run No. (1)	y_1 (cm.) (2)	y_2 (cm.) (3)	y_s (cm.) (4)	Q (l./s) (5)	q (l./s/cm) (6)	V_1 cm./s (7)	V_2 cm./s (8)	V_s cm./s (9)	F_1 (10)	F_s (11)	y_2/y_1 (12)	y_s/y_1 (13)	y_2'/y_1 (14)	$\frac{y_s/y_1}{y_2'/y_1}$ (15)	Lx/y_s (16)	E_1 (cm.) (17)	E_s (cm.) (18)	$\Delta E/E_1$ (%) (19)
1	1.13	9.00	14.40	29.91	0.51	452.52	56.82	35.51	13.59	0.30	7.96	12.74	18.73	0.68	5.14	105.50	15.04	85.74
2	1.50	12.10	17.50	40.91	0.70	466.25	57.80	39.96	12.15	0.31	8.07	11.67	16.70	0.70	4.23	112.30	18.31	83.69
3	1.22	8.00	13.40	29.43	0.50	412.32	62.88	37.54	11.92	0.33	6.56	10.98	16.36	0.67	5.52	87.87	14.12	83.93
4	1.25	8.70	14.10	29.43	0.50	402.48	57.83	35.68	11.49	0.30	6.96	11.28	15.76	0.72	5.25	83.81	14.75	82.40
5	1.43	10.70	16.10	33.29	0.57	397.91	53.18	35.34	10.62	0.28	7.48	11.26	14.53	0.77	4.60	82.13	16.74	79.62
6	1.42	8.50	13.90	28.72	0.49	345.68	57.75	35.31	9.26	0.30	5.99	9.79	12.61	0.78	5.32	62.32	14.54	76.68
7	1.54	9.20	14.60	30.80	0.53	341.90	57.23	36.06	8.80	0.30	5.97	9.48	11.95	0.79	5.07	61.12	15.26	75.03
8	1.62	9.60	15.00	31.86	0.54	336.19	56.73	36.31	8.43	0.30	5.93	9.26	11.44	0.81	4.93	59.23	15.67	73.54
9	1.84	11.50	16.90	36.10	0.62	335.39	53.66	36.52	7.89	0.28	6.25	9.18	10.68	0.86	4.38	59.17	17.58	70.29
10	1.88	10.50	15.90	34.91	0.60	317.41	56.83	37.53	7.39	0.30	5.59	8.46	9.96	0.85	4.65	53.23	16.62	68.78
11	1.90	9.80	15.20	35.01	0.60	314.98	61.07	39.37	7.30	0.32	5.16	8.00	9.83	0.81	4.87	52.47	15.99	69.52
12	1.92	9.20	14.60	33.05	0.56	294.25	61.41	38.70	6.78	0.32	4.79	7.60	9.10	0.84	5.07	46.05	15.36	66.64
13	2.12	9.90	15.30	35.51	0.61	286.29	61.31	39.67	6.28	0.32	4.67	7.22	8.39	0.86	4.84	43.89	16.10	63.32
14	2.22	9.60	15.00	35.11	0.60	270.36	62.52	40.01	5.79	0.33	4.32	6.76	7.71	0.88	4.93	39.48	15.82	59.93
15	2.40	10.50	15.90	39.28	0.67	279.77	63.95	42.23	5.77	0.34	4.38	6.63	7.67	0.86	4.65	42.29	16.81	60.26

ตารางที่ ๔-๘ ผลการทดลองกรณี S_2 -4 ($d = 6.00$ มม., $b = 58.5$ มม.)

$Lx = 74.0$ มม.

Run No. (1)	y_1 (cm.) (2)	y_2 (cm.) (3)	y_s (cm.) (4)	Q (l./s) (5)	q (l./s/cm) (6)	V_1 cm./s (7)	V_2 cm./s (8)	V_s cm./s (9)	F_1 (10)	F_s (11)	y_2/y_1 (12)	y_s/y_1 (13)	y_2'/y_1 (14)	$\frac{y_s/y_1}{y_2'/y_1}$ (15)	Lx/y_s (16)	E_1 (cm.) (17)	E_s (cm.) (18)	$\Delta E/E_1$ (%) (19)
1	1.15	8.10	14.10	30.79	0.53	457.70	64.98	37.33	13.63	0.32	7.04	12.26	18.78	0.65	5.25	107.92	14.81	86.28
2	1.31	12.90	18.90	36.72	0.63	479.22	48.66	33.22	13.37	0.24	9.85	14.43	18.41	0.78	3.92	118.36	19.46	83.56
3	1.15	9.50	15.50	29.54	0.50	439.07	53.15	32.58	13.07	0.26	8.26	13.48	17.99	0.75	4.77	99.41	16.04	83.86
4	1.10	9.50	15.50	26.70	0.46	414.87	48.04	29.44	12.63	0.24	8.64	14.09	17.37	0.81	4.77	88.83	15.94	82.05
5	1.37	12.60	18.60	36.81	0.63	459.35	49.95	33.83	12.53	0.25	9.20	13.58	17.23	0.79	3.98	108.92	19.18	82.39
6	1.22	8.00	14.00	29.43	0.50	412.40	62.89	35.94	11.92	0.31	6.56	11.48	16.37	0.70	5.29	87.90	14.66	83.32
7	1.40	8.80	14.80	33.52	0.57	409.23	65.11	38.71	11.04	0.32	6.29	10.57	15.12	0.70	5.00	86.76	15.56	82.06
8	1.54	11.90	17.90	37.53	0.64	416.54	53.90	35.84	10.72	0.27	7.73	11.62	14.66	0.79	4.13	89.97	18.55	79.38
9	1.60	11.00	17.00	36.11	0.62	385.77	56.11	36.31	9.74	0.28	6.88	10.63	13.28	0.80	4.35	77.45	17.67	77.18
10	1.66	9.40	15.40	35.87	0.61	369.39	65.23	39.82	9.15	0.32	5.66	9.28	12.46	0.74	4.81	71.21	16.21	77.24
11	1.75	12.00	18.00	36.61	0.63	357.64	52.16	34.77	8.63	0.26	6.86	10.29	11.72	0.88	4.11	66.94	18.62	72.19
12	1.78	10.60	16.60	35.83	0.61	344.08	57.78	36.90	8.23	0.29	5.96	9.33	11.16	0.84	4.46	62.12	17.29	72.16
13	2.15	13.90	19.90	41.96	0.72	333.59	51.60	36.04	7.26	0.26	6.47	9.26	9.78	0.95	3.72	58.87	20.56	65.07
14	2.20	13.20	19.20	41.04	0.70	318.87	53.15	36.54	6.86	0.27	6.00	8.73	9.22	0.95	3.85	54.02	19.88	63.20
15	2.26	12.70	18.70	39.91	0.68	301.89	53.72	36.49	6.41	0.27	5.62	8.27	8.58	0.96	3.96	48.71	19.38	60.22

ตารางที่ ฯ-9 ผลการทดสอบของกรณี S₃-1 (d = 3.60 ซม., b = 58.5 ซม.)

Lx = 74.0 ซม.

Run No.	y ₁ (cm.)	y ₂ (cm.)	y _s (cm.)	Q (l./s)	q (l./s/cm)	V ₁ cm./s	V ₂ cm./s	V _s cm./s	F ₁ (10)	F _s (11)	y ₂ /y ₁ (12)	y _s /y ₁ (13)	y ₂ '/y ₁ (14)	$\frac{y_s/y_1}{y_2'/y_1}$ (15)	Lx/y _s (16)	E ₁ (cm.)	E _s (cm.)	ΔE/E ₁ (%)
(1)	(2)	(3)	(4)	(5)	(6)	(7)	(8)	(9)							(17)	(18)	(19)	
1	0.85	12.20	15.80	27.36	0.47	550.18	38.33	29.60	19.05	0.24	14.35	18.59	26.45	0.70	4.68	155.13	16.25	89.53
2	1.05	13.60	17.20	33.20	0.57	540.45	41.73	32.99	16.84	0.25	12.95	16.38	23.32	0.70	4.30	149.92	17.75	88.16
3	0.95	11.70	15.30	26.90	0.46	484.03	39.30	30.05	15.86	0.25	12.32	16.11	21.93	0.73	4.84	120.36	15.76	86.91
4	1.15	13.30	16.90	32.13	0.55	477.52	41.29	32.49	14.22	0.25	11.57	14.70	19.61	0.75	4.38	117.37	17.44	85.14
5	1.06	11.00	14.60	26.09	0.45	420.72	40.54	30.55	13.05	0.26	10.38	13.77	17.96	0.77	5.07	91.28	15.08	83.48
6	1.26	13.00	16.60	31.30	0.54	424.61	41.15	32.23	12.08	0.25	10.32	13.17	16.59	0.79	4.46	93.15	17.13	81.61
7	1.30	12.30	15.90	30.52	0.52	401.32	42.42	32.81	11.24	0.26	9.46	12.23	15.40	0.79	4.65	83.39	16.45	80.27
8	1.35	12.00	15.60	30.16	0.52	381.95	42.97	33.05	10.50	0.27	8.89	11.56	14.35	0.81	4.74	75.70	16.16	78.66
9	1.38	11.60	15.20	29.50	0.50	365.46	43.48	33.18	9.93	0.27	8.41	11.01	13.56	0.81	4.87	69.45	15.76	77.31
10	1.47	11.20	14.80	28.61	0.49	332.71	43.67	33.05	8.76	0.27	7.62	10.07	11.90	0.85	5.00	57.89	15.36	73.47
11	1.56	10.80	14.40	27.86	0.48	305.33	44.10	33.08	7.80	0.28	6.92	9.23	10.55	0.88	5.14	49.08	14.96	69.52
12	2.15	12.50	16.10	35.67	0.61	283.57	48.77	37.87	6.17	0.30	5.81	7.49	8.25	0.91	4.60	43.13	16.83	60.98
13	2.35	11.30	14.90	34.33	0.59	249.74	51.94	39.39	5.20	0.33	4.81	6.34	6.87	0.92	4.97	34.14	15.69	54.04
14	2.71	10.10	13.70	32.03	0.55	202.04	54.21	39.97	3.92	0.34	3.73	5.06	5.06	1.00	5.40	23.52	14.51	38.28

ตารางที่ ๔-๑๐ ผลการทดลองกรณี S_3 -2 ($d = 4.80$ มม., $b = 58.5$ มม.)

$Lx = 74.0$ มม.

Run No. (1)	y_1 (cm.) (2)	y_2 (cm.) (3)	y_s (cm.) (4)	Q (l./s) (5)	q (l./s/cm) (6)	V_1 cm./s (7)	V_2 cm./s (8)	V_s cm./s (9)	F_1 (10)	F_s (11)	y_2/y_1 (12)	y_s/y_1 (13)	y_2'/y_1 (14)	y_s'/y_1 y_2'/y_1 (15)	Lx/y_s (16)	E_1 (cm.) (17)	E_s (cm.) (18)	$\Delta E/E_1$ (%) (19)
1	0.90	11.30	16.10	29.17	0.50	554.02	44.13	30.97	18.65	0.25	12.56	17.89	25.87	0.69	4.60	157.34	16.59	89.46
2	0.96	10.90	15.70	28.22	0.48	502.52	44.26	30.73	16.37	0.25	11.35	16.35	22.66	0.72	4.71	129.67	16.18	87.52
3	1.00	10.30	15.10	27.42	0.47	468.64	45.50	31.04	14.96	0.26	10.30	15.10	20.67	0.73	4.90	112.94	15.59	86.20
4	1.04	9.60	14.40	27.08	0.46	445.03	48.21	32.14	13.93	0.27	9.23	13.85	19.21	0.72	5.14	101.98	14.93	85.36
5	1.08	9.00	13.80	26.50	0.45	419.41	50.33	32.82	12.89	0.28	8.33	12.78	17.73	0.72	5.36	90.74	14.35	84.19
6	1.32	11.20	16.00	32.42	0.55	419.84	49.48	34.64	11.67	0.28	8.48	12.12	16.01	0.76	4.63	91.16	16.61	81.78
7	1.40	10.40	15.20	30.95	0.53	377.94	50.88	34.81	10.20	0.29	7.43	10.86	13.93	0.78	4.87	74.20	15.82	78.68
8	1.55	9.50	14.30	29.51	0.50	325.47	53.10	35.28	8.35	0.30	6.13	9.23	11.31	0.82	5.17	55.54	14.93	73.11
9	1.76	11.00	15.80	34.82	0.60	338.19	54.11	37.67	8.14	0.30	6.25	8.98	11.02	0.81	4.68	60.06	16.52	72.49
10	1.82	10.60	15.40	34.62	0.59	325.20	55.84	38.43	7.70	0.31	5.82	8.46	10.40	0.81	4.81	55.72	16.15	71.01
11	1.91	10.20	15.00	34.07	0.58	304.93	57.10	38.83	7.04	0.32	5.34	7.85	9.48	0.83	4.93	49.30	15.77	68.02
12	2.00	9.60	14.40	32.96	0.56	281.69	58.69	39.12	6.36	0.33	4.80	7.20	8.51	0.85	5.14	42.44	15.18	64.23
13	2.09	9.10	13.90	31.80	0.54	260.12	59.74	39.11	5.74	0.33	4.35	6.65	7.64	0.87	5.32	36.58	14.68	59.87
14	2.39	10.70	15.50	38.44	0.66	274.97	61.42	42.40	5.68	0.34	4.48	6.49	7.55	0.86	4.77	40.93	16.42	59.89
15	2.72	10.30	15.10	36.80	0.63	231.27	61.07	41.66	4.48	0.34	3.79	5.55	5.85	0.95	4.90	29.98	15.98	46.68

ตารางที่ ข-11 ผลการทดลองของกรณี S₃-3 ($d = 5.40 \text{ มม.}$, $b = 58.5 \text{ มม.}$)

$Lx = 74.0 \text{ มม.}$

Run No.	y_1 (cm.)	y_2 (cm.)	y_s (cm.)	Q (l./s)	q (l./s/cm)	V_1 cm./s	V_2 cm./s	V_s cm./s	F_1	F_s	y_2/y_1	y_s/y_1	y_2'/y_1	y_s/y_1 y_2'/y_1	Lx/y_s	E_1 (cm.)	E_s (cm.)	$\Delta E/E_1$ (%)
(1)	(2)	(3)	(4)	(5)	(6)	(7)	(8)	(9)	(10)	(11)	(12)	(13)	(14)	(15)	(16)	(17)	(18)	(19)
1	1.03	9.90	15.30	29.10	0.50	483.02	50.25	32.52	15.20	0.27	9.61	14.85	21.00	0.71	4.84	119.94	15.84	86.79
2	1.08	9.00	14.40	27.28	0.47	431.85	51.82	32.39	13.27	0.27	8.33	13.33	18.27	0.73	5.14	96.13	14.93	84.46
3	1.12	8.60	14.00	26.91	0.46	410.66	53.48	32.85	12.39	0.28	7.68	12.50	17.03	0.73	5.29	87.07	14.55	83.29
4	1.33	10.90	16.30	33.10	0.57	425.48	51.92	34.72	11.78	0.27	8.20	12.26	16.17	0.76	4.54	93.60	16.91	81.93
5	1.15	8.20	13.60	26.43	0.45	392.93	55.11	33.23	11.70	0.29	7.13	11.83	16.05	0.74	5.44	79.84	14.16	82.26
6	1.38	9.90	15.30	31.54	0.54	390.73	54.47	35.24	10.62	0.29	7.17	11.09	14.53	0.76	4.84	79.19	15.93	79.88
7	1.41	8.80	14.20	30.14	0.52	365.38	58.54	36.28	9.82	0.31	6.24	10.07	13.40	0.75	5.21	69.45	14.87	78.59
8	1.58	10.80	16.20	35.28	0.60	381.66	55.83	37.22	9.69	0.30	6.84	10.25	13.22	0.78	4.57	75.82	16.91	77.70
9	1.62	10.20	15.60	33.72	0.58	355.77	56.50	36.94	8.92	0.30	6.30	9.63	12.13	0.79	4.74	66.13	16.30	75.36
10	1.66	9.80	15.20	33.34	0.57	343.29	58.15	37.49	8.51	0.31	5.90	9.16	11.54	0.79	4.87	61.73	15.92	74.21
11	1.72	9.30	14.70	32.50	0.56	322.97	59.73	37.79	7.86	0.31	5.41	8.55	10.63	0.80	5.03	54.88	15.43	71.89
12	2.08	10.60	16.00	37.78	0.65	310.46	60.92	40.36	6.87	0.32	5.10	7.69	9.23	0.83	4.63	51.21	16.83	67.13
13	2.18	10.00	15.40	37.01	0.63	290.21	63.27	41.08	6.28	0.33	4.59	7.06	8.39	0.84	4.81	45.11	16.26	63.95
14	2.72	10.70	16.10	42.62	0.73	267.82	68.08	45.25	5.18	0.36	3.93	5.92	6.85	0.86	4.60	39.28	17.14	56.36

ตารางที่ ข-12 ผลการทดลองของกรณี S₃-4 (d = 6.00 ซม., b = 58.5 ซม.)

Lx = 74.0 ซม.

Run No.	y ₁ (cm.)	y ₂ (cm.)	y _s (cm.)	Q (l./s)	q (l./s/cm)	V ₁ cm./s	V ₂ cm./s	V _s cm./s	F ₁ (10)	F _s (11)	y ₂ /y ₁ (12)	y _s /y ₁ (13)	y ₂ '/y ₁ (14)	$\frac{y_s/y_1}{y_2'/y_1}$ (15)	Lx/y _s (16)	E ₁ (cm.)	E _s (cm.)	ΔE/E ₁ (%)
(1)	(2)	(3)	(4)	(5)	(6)	(7)	(8)	(9)							(17)	(18)	(19)	
1	1.18	10.70	16.70	31.44	0.54	455.42	50.22	32.18	13.39	0.25	9.07	14.15	18.44	0.77	4.43	106.89	17.23	83.88
2	1.00	7.60	13.60	22.87	0.39	390.91	51.44	28.74	12.48	0.25	7.60	13.60	17.16	0.79	5.44	78.89	14.02	82.23
3	1.50	13.10	19.10	40.93	0.70	466.39	53.40	36.63	12.16	0.27	8.73	12.73	16.70	0.76	3.87	112.37	19.78	82.39
4	1.20	9.20	15.20	29.01	0.50	413.32	53.91	32.63	12.05	0.27	7.67	12.67	16.54	0.77	4.87	88.27	15.74	82.17
5	1.26	9.80	15.80	30.24	0.52	410.23	52.74	32.71	11.67	0.26	7.78	12.54	16.01	0.78	4.68	87.04	16.35	81.22
6	1.55	13.00	19.00	39.48	0.67	435.37	51.91	35.52	11.17	0.26	8.39	12.26	15.30	0.80	3.89	98.16	19.64	79.99
7	1.64	12.70	18.70	38.96	0.67	406.11	52.44	35.62	10.12	0.26	7.74	11.40	13.83	0.82	3.96	85.70	19.35	77.42
8	1.70	12.40	18.40	38.68	0.66	388.93	53.32	35.93	9.52	0.27	7.29	10.82	12.98	0.83	4.02	78.80	19.06	75.81
9	1.77	12.10	18.10	38.46	0.66	371.47	54.34	36.33	8.91	0.27	6.84	10.23	12.12	0.84	4.09	72.10	18.77	73.96
10	1.44	8.80	14.80	26.48	0.45	314.30	51.43	30.58	8.36	0.25	6.11	10.28	11.34	0.91	5.00	51.79	15.28	70.50
11	1.80	9.82	15.82	32.86	0.56	312.07	57.20	35.51	7.43	0.29	5.46	8.79	10.01	0.88	4.68	51.44	16.46	68.00
12	1.71	9.30	15.30	28.32	0.48	283.09	52.05	31.64	6.91	0.26	5.44	8.95	9.29	0.96	4.84	42.56	15.81	62.85
13	1.88	9.40	15.40	31.36	0.54	285.11	57.02	34.81	6.64	0.28	5.00	8.19	8.90	0.92	4.81	43.31	16.02	63.02
14	1.83	8.90	14.90	28.25	0.48	263.91	54.26	32.41	6.23	0.27	4.86	8.14	8.32	0.98	4.97	37.33	15.44	58.65
15	1.92	8.10	14.10	27.83	0.48	247.76	58.73	33.74	5.71	0.29	4.22	7.34	7.59	0.97	5.25	33.21	14.68	55.79

ตารางที่ ข-13 ผลการทดลองกรณี S₄-1 (d = 3.60 มม., b = 58.5 มม.)

Lx = 74.0 มม.

Run No.	y ₁ (cm.) (1)	y ₂ (cm.) (2)	y _s (cm.) (3)	Q (l./s) (5)	q (l./s/cm) (6)	V ₁ cm./s (7)	V ₂ cm./s (8)	V _s cm./s (9)	F ₁ (10)	F _s (11)	y ₂ /y ₁ (12)	y _s /y ₁ (13)	y ₂ '/y ₁ (14)	y _s /y ₁ <u>y₂'/y₁</u> (15)	Lx/y _s (16)	E ₁ (cm.) (17)	E _s (cm.) (18)	ΔE/E ₁ (%) (19)
1	0.87	10.20	13.80	27.26	0.47	535.53	45.68	33.76	18.33	0.29	11.72	15.86	25.43	0.62	5.36	147.04	14.38	90.22
2	1.00	12.30	15.90	33.11	0.57	566.04	46.02	35.60	18.07	0.29	12.30	15.90	25.06	0.63	4.65	164.31	16.55	89.93
3	0.97	9.70	13.30	26.92	0.46	474.45	47.45	34.60	15.38	0.30	10.00	13.71	21.26	0.65	5.56	115.70	13.91	87.98
4	1.03	9.30	12.90	26.29	0.45	436.33	48.32	34.84	13.73	0.31	9.03	12.52	18.92	0.66	5.74	98.07	13.52	86.21
5	1.39	10.60	14.20	31.52	0.54	387.69	50.84	37.95	10.50	0.32	7.63	10.22	14.36	0.71	5.21	78.00	14.93	80.85
6	1.47	9.80	13.40	30.77	0.53	357.78	53.67	39.25	9.42	0.34	6.67	9.12	12.83	0.71	5.52	66.71	14.19	78.74
7	1.55	8.90	12.50	29.72	0.51	327.75	57.08	40.64	8.41	0.37	5.74	8.06	11.40	0.71	5.92	56.30	13.34	76.30
8	1.69	8.40	12.00	28.21	0.48	285.38	57.42	40.19	7.01	0.37	4.97	7.10	9.42	0.75	6.17	43.20	12.82	70.32
9	2.15	11.10	14.70	36.20	0.62	287.84	55.75	42.10	6.27	0.35	5.16	6.84	8.38	0.82	5.03	44.38	15.60	64.84
10	1.79	7.40	11.00	26.85	0.46	256.45	62.03	41.73	6.12	0.40	4.13	6.15	8.17	0.75	6.73	35.31	11.89	66.33
11	2.26	10.50	14.10	35.50	0.61	268.55	57.80	43.04	5.70	0.37	4.65	6.24	7.58	0.82	5.25	39.02	15.04	61.44
12	2.34	9.90	13.50	35.01	0.60	255.75	60.45	44.33	5.34	0.39	4.23	5.77	7.07	0.82	5.48	35.68	14.50	59.35
13	2.43	9.30	12.90	34.39	0.59	241.91	63.21	45.57	4.95	0.41	3.83	5.31	6.52	0.81	5.74	32.26	13.96	56.73
14	2.56	8.80	12.40	33.43	0.57	223.25	64.94	46.09	4.45	0.42	3.44	4.84	5.82	0.83	5.97	27.96	13.48	51.78

ตารางที่ ข-14 ผลการทดลองก้น S₄-2 (d = 4.80 มม., b = 58.5 มม.)

Lx = 74.0 มม.

Run No. (1)	y ₁ (cm.) (2)	y ₂ (cm.) (3)	y _s (cm.) (4)	Q (l./s) (5)	q (l./s/cm) (6)	V ₁ cm./s (7)	V ₂ cm./s (8)	V _s cm./s (9)	F ₁ (10)	F _s (11)	y ₂ /y ₁ (12)	y _s /y ₁ (13)	y ₂ '/y ₁ (14)	$\frac{y_s/y_1}{y_2'/y_1}$ (15)	Lx/y _s (16)	E ₁ (cm.) (17)	E _s (cm.) (18)	$\Delta E/E_1$ (%) (19)
1	0.89	10.90	15.70	27.87	0.48	535.34	43.71	30.35	18.12	0.24	12.25	17.64	25.13	0.70	4.71	146.96	16.17	89.00
2	0.95	10.50	15.30	27.18	0.46	489.03	44.25	30.36	16.02	0.25	11.05	16.11	22.16	0.73	4.84	122.84	15.77	87.16
3	1.15	13.30	18.10	36.09	0.62	536.51	46.39	34.09	15.97	0.26	11.57	15.74	22.10	0.71	4.09	147.86	18.69	87.36
4	1.22	12.70	17.50	34.60	0.59	484.80	46.57	33.80	14.01	0.26	10.41	14.34	19.32	0.74	4.23	121.01	18.08	85.06
5	1.03	10.10	14.90	26.55	0.45	440.55	44.93	30.45	13.86	0.25	9.81	14.47	19.11	0.76	4.97	99.95	15.37	84.62
6	1.27	12.20	17.00	33.71	0.58	453.72	47.23	33.90	12.85	0.26	9.61	13.39	17.69	0.76	4.35	106.20	17.59	83.44
7	1.39	11.50	16.30	32.53	0.56	399.99	48.35	34.11	10.83	0.27	8.27	11.73	14.83	0.79	4.54	82.94	16.89	79.63
8	1.45	10.50	15.30	30.18	0.52	355.77	49.13	33.72	9.43	0.28	7.24	10.55	12.85	0.82	4.84	65.96	15.88	75.93
9	1.51	9.80	14.60	28.70	0.49	324.92	50.06	33.60	8.44	0.28	6.49	9.67	11.45	0.84	5.07	55.32	15.18	72.57
10	1.61	9.50	14.30	29.80	0.51	316.44	53.63	35.63	7.96	0.30	5.90	8.88	10.77	0.82	5.17	52.65	14.95	71.61
11	1.72	8.80	13.60	28.73	0.49	285.58	55.82	36.12	6.95	0.31	5.12	7.91	9.34	0.85	5.44	43.29	14.26	67.05
12	2.11	10.10	14.90	35.33	0.60	286.23	59.80	40.53	6.29	0.34	4.79	7.06	8.41	0.84	4.97	43.87	15.74	64.13
13	1.81	7.80	12.60	27.80	0.48	262.50	60.91	37.71	6.23	0.34	4.31	6.96	8.32	0.84	5.87	36.93	13.32	63.92
14	2.17	9.40	14.20	33.99	0.58	267.79	61.82	40.92	5.80	0.35	4.33	6.54	7.72	0.85	5.21	38.72	15.05	61.12
15	2.43	10.00	14.80	36.80	0.63	258.87	62.91	42.50	5.30	0.35	4.12	6.09	7.01	0.87	5.00	36.59	15.72	57.03

ตารางที่ ข-15 ผลการทดลองกรณี S_n-3 (d = 5.40 มม., b = 58.5 มม.)

Lx = 74.0 มม.

Run No. (1)	y ₁ (cm.) (2)	y ₂ (cm.) (3)	y _s (cm.) (4)	Q (l./s.) (5)	q (l./s/cm) (6)	V ₁ cm./s (7)	V ₂ cm./s (8)	V _s cm./s (9)	F ₁ (10)	F _s (11)	y ₂ /y ₁ (12)	y _s /y ₁ (13)	y ₂ '/y ₁ (14)	$\frac{y_s/y_1}{y_2'/y_1}$ (15)	Lx/y _s (16)	E ₁ (cm.) (17)	E _s (cm.) (18)	ΔE/E ₁ (%) (19)
1	1.06	9.80	15.20	27.83	0.48	448.74	48.54	31.29	13.92	0.26	9.25	14.34	19.19	0.75	4.87	103.70	15.70	84.86
2	1.28	11.90	17.30	34.55	0.59	461.42	49.63	34.14	13.02	0.26	9.30	13.52	17.92	0.75	4.28	109.80	17.89	83.70
3	1.32	11.60	17.00	33.62	0.57	435.40	49.55	33.81	12.10	0.26	8.79	12.88	16.62	0.77	4.35	97.94	17.58	82.05
4	1.39	10.90	16.30	32.76	0.56	402.90	51.38	34.36	10.91	0.27	7.84	11.73	14.94	0.78	4.54	84.13	16.90	79.91
5	1.40	9.70	15.10	31.54	0.54	385.15	55.59	35.71	10.39	0.29	6.93	10.79	14.21	0.76	4.90	77.01	15.75	79.55
6	1.77	9.50	14.90	32.37	0.55	312.66	58.25	37.14	7.50	0.31	5.37	8.42	10.12	0.83	4.97	51.60	15.60	69.76
7	1.46	10.00	15.40	30.36	0.52	355.47	51.90	33.70	9.39	0.27	6.85	10.55	12.79	0.82	4.81	65.86	15.98	75.74
8	1.68	10.60	16.00	33.83	0.58	344.21	54.55	36.14	8.48	0.29	6.31	9.52	11.50	0.83	4.63	62.07	16.67	73.15
9	1.53	8.70	14.10	29.17	0.50	325.96	57.32	35.37	8.41	0.30	5.69	9.22	11.41	0.81	5.25	55.68	14.74	73.53
10	1.59	8.20	13.60	28.23	0.48	303.46	58.84	35.48	7.68	0.31	5.16	8.55	10.38	0.82	5.44	48.52	14.24	70.65
11	1.77	9.50	14.90	32.37	0.55	312.66	58.25	37.14	7.50	0.31	5.37	8.42	10.12	0.83	4.97	51.60	15.60	69.76
12	2.11	10.80	16.20	38.53	0.66	312.15	60.98	40.66	6.86	0.32	5.12	7.68	9.22	0.83	4.57	51.77	17.04	67.08
13	2.21	10.30	15.70	37.66	0.64	291.32	62.51	41.01	6.26	0.33	4.66	7.10	8.36	0.85	4.71	45.46	16.56	63.58
14	2.34	9.80	15.20	36.88	0.63	269.40	64.33	41.47	5.62	0.34	4.19	6.50	7.47	0.87	4.87	39.33	16.08	59.13

ตารางที่ ข-16 ผลการทดลองกรณี S_4 -4 ($d = 6.00 \text{ มม.}$, $b = 58.5 \text{ มม.}$)

$Lx = 74.0 \text{ มม.}$

Run No.	y_1 (cm.)	y_2 (cm.)	y_s (cm.)	Q (l./s)	q (l./s/cm)	V_1 cm./s	V_2 cm./s	V_s cm./s	F_1	F_s	y_2/y_1	y_s/y_1	y_2'/y_1	y_s'/y_1	Lx/y_s	E_1 (cm.)	E_s (cm.)	$\Delta E/E_1$ (%)
(1)	(2)	(3)	(4)	(5)	(6)	(7)	(8)	(9)	(10)	(11)	(12)	(13)	(14)	(15)	(16)	(17)	(18)	(19)
1	0.99	7.30	13.30	23.31	0.40	402.50	54.59	29.96	12.92	0.26	7.37	13.43	17.77	0.76	5.56	83.56	13.76	83.54
2	1.13	9.85	15.85	28.25	0.48	427.39	49.03	30.47	12.84	0.24	8.72	14.03	17.66	0.79	4.67	94.23	16.32	82.68
3	1.21	10.70	16.70	29.83	0.51	421.47	47.66	30.54	12.23	0.24	8.84	13.80	16.81	0.82	4.43	91.75	17.18	81.28
4	1.36	10.80	16.80	32.84	0.56	412.81	51.98	33.42	11.30	0.26	7.94	12.35	15.49	0.80	4.40	88.22	17.37	80.31
5	1.11	7.90	13.90	23.48	0.40	361.64	50.81	28.88	10.96	0.25	7.12	12.52	15.01	0.83	5.32	67.77	14.33	78.86
6	1.37	10.10	16.10	30.65	0.52	382.48	51.88	32.55	10.43	0.26	7.37	11.75	14.26	0.82	4.60	75.93	16.64	78.09
7	1.27	7.80	13.80	26.18	0.45	352.35	57.37	32.43	9.98	0.28	6.14	10.87	13.63	0.80	5.36	64.55	14.34	77.79
8	1.29	8.85	14.85	26.77	0.46	354.75	51.71	30.82	9.97	0.26	6.86	11.51	13.61	0.85	4.98	65.43	15.33	76.56
9	1.38	9.20	15.20	29.48	0.50	365.21	54.78	33.16	9.93	0.27	6.67	11.01	13.55	0.81	4.87	69.36	15.76	77.28
10	1.28	6.45	12.45	25.08	0.43	334.90	66.46	34.43	9.45	0.31	5.04	9.73	12.87	0.76	5.94	58.44	13.05	77.66
11	1.57	7.70	13.70	28.96	0.50	315.30	64.29	36.13	8.03	0.31	4.90	8.73	10.87	0.80	5.40	52.24	14.37	72.50
12	1.60	8.80	14.80	29.57	0.51	315.92	57.44	34.15	7.97	0.28	5.50	9.25	10.79	0.86	5.00	52.47	15.39	70.66
13	1.86	8.90	14.90	31.19	0.53	286.68	59.91	35.79	6.71	0.30	4.78	8.01	9.00	0.89	4.97	43.75	15.55	64.45
14	1.78	7.40	13.40	28.12	0.48	270.06	64.96	35.87	6.46	0.31	4.16	7.53	8.65	0.87	5.52	38.95	14.06	63.91
15	1.86	7.40	13.40	27.42	0.47	251.97	63.33	34.97	5.90	0.31	3.98	7.20	7.86	0.92	5.52	34.22	14.02	59.02

ตารางที่ ข-17 ผลการทดสอบกรณ์ S_0 -1 ($d = 3.60 \text{ มม.}$, $b = 58.5 \text{ มม.}$)

$Lx = 74.0 \text{ มม.}$

Run No.	y_1 (cm.)	y_2 (cm.)	y_s (cm.)	Q (l./s)	q (l./s/cm)	V_1 cm./s	V_2 cm./s	V_s cm./s	F_1 (10)	F_s (11)	y_2/y_1 (12)	y_s/y_1 (13)	y_2'/y_1 (14)	$\frac{y_s/y_1}{y_2'/y_1}$ (15)	Lx/y_s (16)	E_1 (cm.)	E_s (cm.)	$\Delta E/E_1$ (%)
(1)	(2)	(3)	(4)	(5)	(6)	(7)	(8)	(9)							(17)	(18)	(19)	
1	0.88	13.00	16.60	27.30	0.47	530.27	35.90	28.11	18.05	0.22	14.77	18.86	25.03	0.75	4.46	144.20	17.00	88.21
2	0.95	12.70	16.30	26.93	0.46	484.54	36.24	28.24	15.87	0.22	13.37	17.16	21.95	0.78	4.54	120.61	16.71	86.15
3	0.96	12.60	16.20	26.95	0.46	479.88	36.56	28.44	15.64	0.23	13.13	16.88	21.62	0.78	4.57	118.33	16.61	85.96
4	1.03	12.30	15.90	26.54	0.45	440.46	36.88	28.53	13.86	0.23	11.94	15.44	19.10	0.81	4.65	99.91	16.31	83.67
5	1.20	13.80	17.40	32.30	0.55	460.10	40.01	31.73	13.41	0.24	11.50	14.50	18.47	0.79	4.25	109.10	17.91	83.58
6	1.27	12.90	16.50	30.95	0.53	416.55	41.01	32.06	11.80	0.25	10.16	12.99	16.20	0.80	4.48	89.71	17.02	81.02
7	1.34	11.80	15.40	29.62	0.51	377.88	42.91	32.88	10.42	0.27	8.81	11.49	14.25	0.81	4.81	74.12	15.95	78.48
8	1.42	11.70	15.30	29.10	0.50	350.30	42.52	32.51	9.39	0.27	8.24	10.77	12.78	0.84	4.84	63.96	15.84	75.24
9	1.50	10.80	14.40	28.55	0.49	325.41	45.20	33.90	8.48	0.29	7.20	9.60	11.51	0.83	5.14	55.47	14.99	72.98
10	1.62	9.70	13.30	27.40	0.47	289.15	48.29	35.22	7.25	0.31	5.99	8.21	9.77	0.84	5.56	44.23	13.93	68.50
11	2.12	11.80	15.40	34.47	0.59	277.98	49.94	38.27	6.10	0.31	5.57	7.26	8.13	0.89	4.81	41.50	16.15	61.10
12	2.27	11.40	15.00	33.31	0.57	250.86	49.95	37.96	5.32	0.31	5.02	6.61	7.03	0.94	4.93	34.34	15.73	54.19
13	2.43	10.80	14.40	32.05	0.55	225.47	50.73	38.05	4.62	0.32	4.44	5.93	6.05	0.98	5.14	28.34	15.14	46.59
14	2.59	10.10	13.70	30.59	0.52	201.87	51.77	38.16	4.00	0.33	3.90	5.29	5.19	1.02	5.40	23.36	14.44	38.17

ตารางที่ ข-18 ผลการทดลองของรูป S_0-2 ($d = 4.80 \text{ มม.}$, $b = 58.5 \text{ มม.}$)

$Lx = 74.0 \text{ มม.}$

Run No.	y_1 (cm.)	y_2 (cm.)	y_s (cm.)	Q (l./s)	q (l./s/cm)	V_1 cm./s	V_2 cm./s	V_s cm./s	F_1 (10)	F_s (11)	y_2/y_1 (12)	y_s/y_1 (13)	y_2'/y_1 (14)	y_s/y_1 y_2'/y_1 (15)	Lx/y_s (16)	E_1 (cm.)	E_s (cm.)	$\Delta E/E_1$ (%)
(1) (2)	(3) (4)	(5) (6)	(7)	(8)	(9)	(10)	(11)	(12)	(13)	(14)	(15)	(16)	(17)	(18)	(19)			
1	1.17	13.20	18.00	33.66	0.58	491.75	43.59	31.96	14.52	0.24	11.28	15.38	20.03	0.77	4.11	124.42	18.52	85.11
2	1.22	12.90	17.70	32.72	0.56	458.45	43.36	31.60	13.25	0.24	10.57	14.51	18.25	0.80	4.18	108.34	18.21	83.19
3	1.31	12.30	17.10	31.66	0.54	413.09	44.00	31.65	11.52	0.24	9.39	13.05	15.80	0.83	4.33	88.29	17.61	80.05
4	1.38	11.50	16.30	31.31	0.54	387.83	46.54	32.83	10.54	0.26	8.33	11.81	14.42	0.82	4.54	78.04	16.85	78.41
5	1.43	11.00	15.80	31.08	0.53	371.59	48.31	33.63	9.92	0.27	7.69	11.05	13.54	0.82	4.68	71.81	16.38	77.19
6	1.48	10.50	15.30	30.33	0.52	351.55	49.38	33.89	9.24	0.28	7.12	10.37	12.58	0.82	4.84	64.47	15.89	75.36
7	1.52	9.70	14.50	29.04	0.50	326.64	51.18	34.24	8.46	0.29	6.38	9.54	11.47	0.83	5.10	55.90	15.10	72.99
8	1.60	9.20	14.00	27.79	0.48	296.90	51.64	33.93	7.49	0.29	5.75	8.75	10.11	0.87	5.29	46.53	14.59	68.65
9	1.89	11.50	16.30	33.89	0.58	306.48	50.37	35.54	7.12	0.28	6.08	8.62	9.58	0.90	4.54	49.76	16.94	65.95
10	1.93	10.90	15.70	33.15	0.57	293.58	51.98	36.09	6.75	0.29	5.65	8.13	9.05	0.90	4.71	45.86	16.36	64.32
11	1.98	10.30	15.10	32.57	0.56	281.15	54.05	36.87	6.38	0.30	5.20	7.63	8.54	0.89	4.90	42.27	15.79	62.64
12	1.74	8.50	13.30	26.64	0.46	261.72	53.58	34.24	6.33	0.30	4.89	7.64	8.47	0.90	5.56	36.65	13.90	62.08
13	2.05	9.70	14.50	32.18	0.55	268.37	56.72	37.94	5.98	0.32	4.73	7.07	7.98	0.89	5.10	38.76	15.23	60.69
14	2.16	9.20	14.00	31.66	0.54	250.53	58.82	38.65	5.44	0.33	4.26	6.48	7.21	0.90	5.29	34.15	14.76	56.78

ตารางที่ ข-19 ผลการทดลองกรณี S₀-3 (d = 5.40 ม., b = 58.5 ม.)

Lx = 74.0 ม.

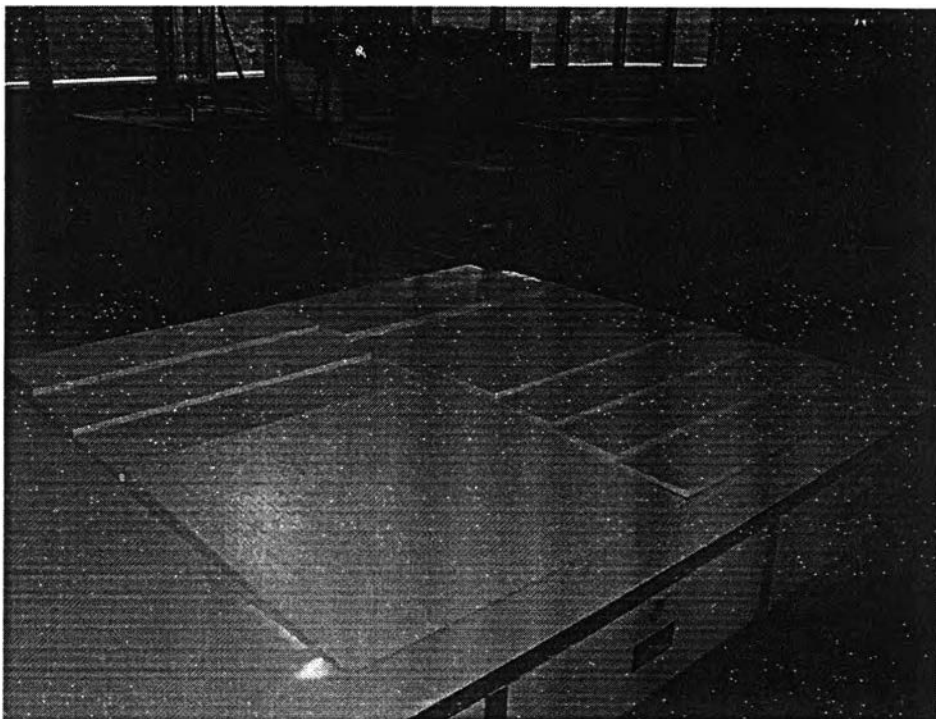
Run No.	y ₁ (cm.)	y ₂ (cm.)	y _s (cm.)	Q (l./s)	q (l./s/cm)	V ₁ cm./s	V ₂ cm./s	V _s cm./s	F ₁ (10)	F _s (11)	y ₂ /y ₁ (12)	y _s /y ₁ (13)	y ₂ '/y ₁ (14)	$\frac{y_s/y_1}{y_2'/y_1}$ (15)	Lx/y _s (16)	E ₁ (cm.)	E _s (cm.)	ΔE/E ₁ (%)
(1)	(2)	(3)	(4)	(5)	(6)	(7)	(8)	(9)							(17)	(18)	(19)	
1	0.96	11.90	17.30	27.77	0.47	494.40	39.88	27.43	16.11	0.21	12.40	18.02	22.29	0.81	4.28	125.54	17.68	85.91
2	1.01	11.00	16.40	26.72	0.46	452.28	41.53	27.85	14.37	0.22	10.89	16.24	19.83	0.82	4.51	105.27	16.80	84.05
3	1.23	11.80	17.20	30.76	0.53	427.45	44.56	30.57	12.31	0.24	9.59	13.98	16.91	0.83	4.30	94.36	17.68	81.27
4	1.29	11.20	16.60	31.10	0.53	412.08	47.46	32.02	11.58	0.25	8.68	12.87	15.89	0.81	4.46	87.84	17.12	80.51
5	1.34	10.50	15.90	28.79	0.49	367.23	46.87	30.95	10.13	0.25	7.84	11.87	13.83	0.86	4.65	70.08	16.39	76.61
6	1.40	9.20	14.60	27.80	0.48	339.44	51.65	32.55	9.16	0.27	6.57	10.43	12.46	0.84	5.07	60.12	15.14	74.82
7	1.59	10.70	16.10	32.68	0.56	351.30	52.20	34.69	8.90	0.28	6.73	10.13	12.09	0.84	4.60	64.49	16.71	74.08
8	1.64	10.00	15.40	31.68	0.54	330.20	54.15	35.16	8.23	0.29	6.10	9.39	11.15	0.84	4.81	57.21	16.03	71.98
9	1.49	8.00	13.40	26.69	0.46	306.25	57.04	34.05	8.01	0.30	5.37	8.99	10.84	0.83	5.52	49.29	13.99	71.62
10	1.54	7.20	12.60	25.63	0.44	284.54	60.86	34.78	7.32	0.31	4.68	8.18	9.87	0.83	5.87	42.81	13.22	69.12
11	1.72	9.10	14.50	29.72	0.51	295.35	55.82	35.03	7.19	0.29	5.29	8.43	9.68	0.87	5.10	46.18	15.13	67.25
12	1.79	8.40	13.80	28.86	0.49	275.57	58.72	35.74	6.58	0.31	4.69	7.71	8.81	0.87	5.36	40.49	14.45	64.31
13	2.04	9.90	15.30	34.12	0.58	285.91	58.91	38.12	6.39	0.31	4.85	7.50	8.55	0.88	4.84	43.70	16.04	63.30
14	2.10	9.70	15.10	33.92	0.58	276.11	59.78	38.40	6.08	0.32	4.62	7.19	8.12	0.89	4.90	40.96	15.85	61.30
15	2.26	9.00	14.40	32.38	0.55	244.90	61.50	38.44	5.20	0.32	3.98	6.37	6.87	0.93	5.14	32.83	15.15	53.84

ตารางที่ ข-20 ผลการทดลองของกรณี S_0 -4 ($d = 6.00 \text{ มม.}$, $b = 58.5 \text{ มม.}$)

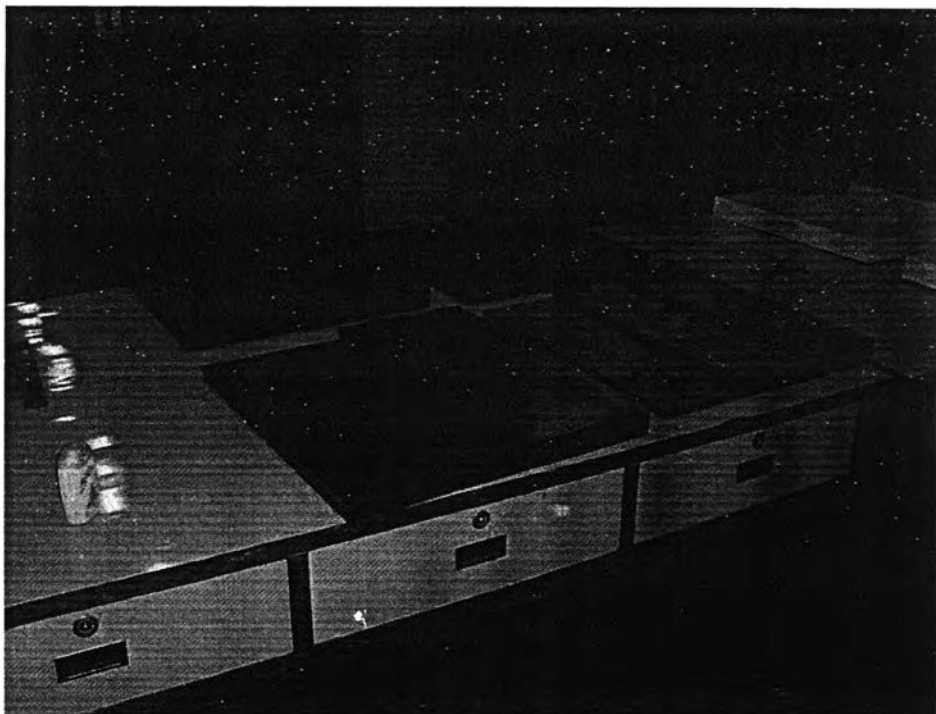
$Lx = 74.0 \text{ มม.}$

Run No.	y_1 (cm.)	y_2 (cm.)	y_s (cm.)	Q (l./s)	q (l./s/cm)	V_1 cm./s	V_2 cm./s	V_s cm./s	F_1	F_s	y_2/y_1	y_s/y_1	y_2'/y_1	$\frac{y_s/y_1}{y_2'/y_1}$	Lx/y_s	E_1 (cm.)	E_s (cm.)	$\Delta E/E_1$ (%)
(1)	(2)	(3)	(4)	(5)	(6)	(7)	(8)	(9)	(10)	(11)	(12)	(13)	(14)	(15)	(16)	(17)	(18)	(19)
1	0.97	12.30	18.30	27.69	0.47	487.95	38.48	25.86	15.82	0.19	12.68	18.87	21.88	0.86	4.04	122.32	18.64	84.76
2	1.20	11.50	17.50	30.64	0.52	436.51	45.55	29.93	12.72	0.23	9.58	14.58	17.50	0.83	4.23	98.32	17.96	81.74
3	1.20	9.80	15.80	27.50	0.47	391.71	47.96	29.75	11.42	0.24	8.17	13.17	15.65	0.84	4.68	79.40	16.25	79.53
4	1.27	11.20	17.20	29.96	0.51	403.32	45.73	29.78	11.43	0.23	8.82	13.54	15.67	0.86	4.30	84.18	17.65	79.03
5	1.28	9.80	15.80	28.68	0.49	382.98	50.02	31.03	10.81	0.25	7.66	12.34	14.79	0.83	4.68	76.04	16.29	78.58
6	1.40	9.20	15.20	27.67	0.47	337.88	51.42	31.12	9.12	0.25	6.57	10.86	12.40	0.88	4.87	59.59	15.69	73.66
7	1.61	11.00	17.00	32.27	0.55	342.66	50.15	32.45	8.62	0.25	6.83	10.56	11.70	0.90	4.35	61.46	17.54	71.46
8	1.66	10.30	16.30	31.34	0.54	322.74	52.01	32.87	8.00	0.26	6.20	9.82	10.82	0.91	4.54	54.75	16.85	69.22
9	1.50	8.40	14.40	26.69	0.46	304.13	54.31	31.68	7.93	0.27	5.60	9.60	10.72	0.90	5.14	48.64	14.91	69.35
10	1.74	9.60	15.60	29.83	0.51	293.06	53.12	32.69	7.09	0.26	5.52	8.97	9.54	0.94	4.74	45.52	16.14	64.53
11	1.82	8.70	14.70	28.70	0.49	269.54	56.39	33.37	6.38	0.28	4.78	8.08	8.54	0.95	5.03	38.85	15.27	60.70
12	2.10	10.70	16.70	33.38	0.57	271.75	53.33	34.17	5.99	0.27	5.10	7.95	7.98	1.00	4.43	39.74	17.30	56.48
13	1.93	8.10	14.10	27.67	0.47	245.09	58.40	33.55	5.63	0.29	4.20	7.31	7.48	0.98	5.25	32.55	14.67	54.92
14	2.28	9.40	15.40	32.32	0.55	242.32	58.78	35.88	5.12	0.29	4.12	6.75	6.76	1.00	4.81	32.21	16.06	50.15

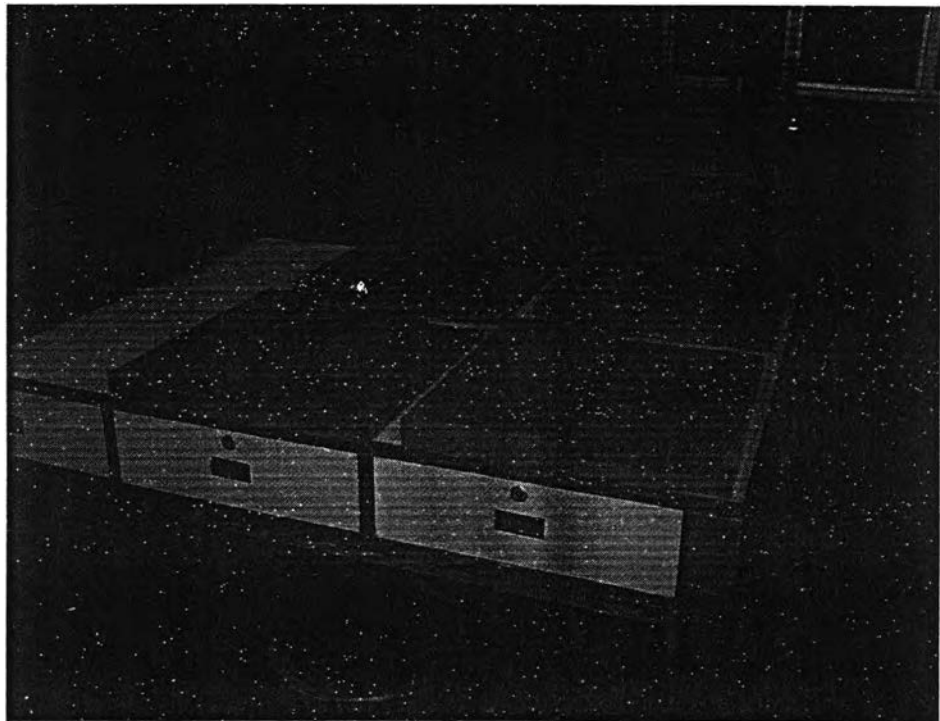
ภาคผนวก ค
ภาพการทดลองในแบบจำลอง



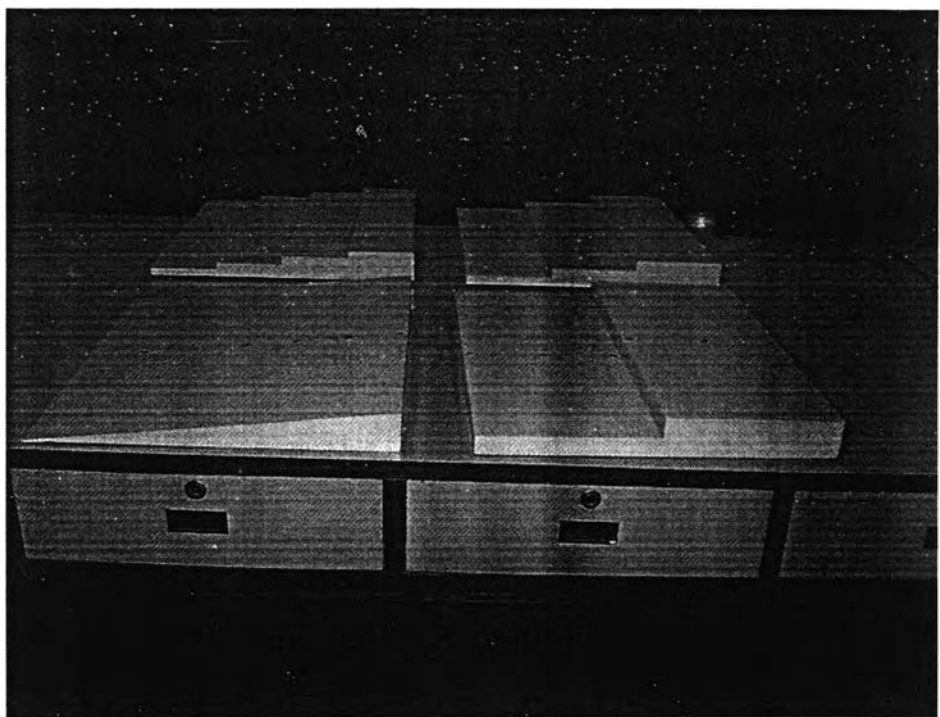
รูปที่ ค-1 แอกสลายพลังงานแบบขั้นบันไดสูง 3.60 เซนติเมตร



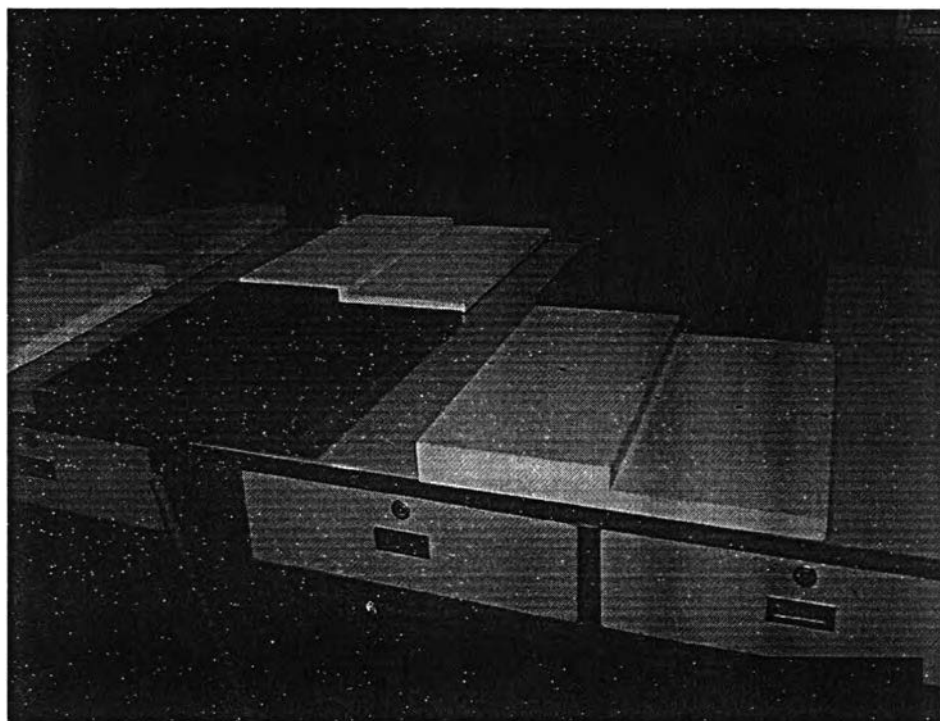
รูปที่ ค-2 แอกสลายพลังงานแบบขั้นบันไดสูง 4.80 เซนติเมตร



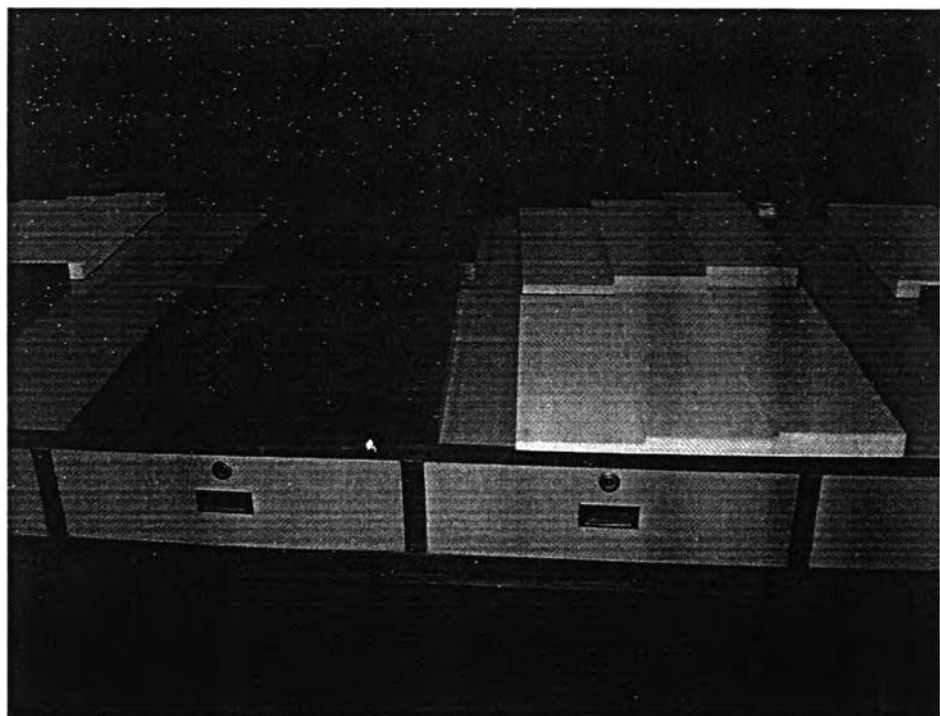
รูปที่ ค-3 แอ่งสลายพลังงานแบบขั้นบันไดสูง 5.40 เซนติเมตร



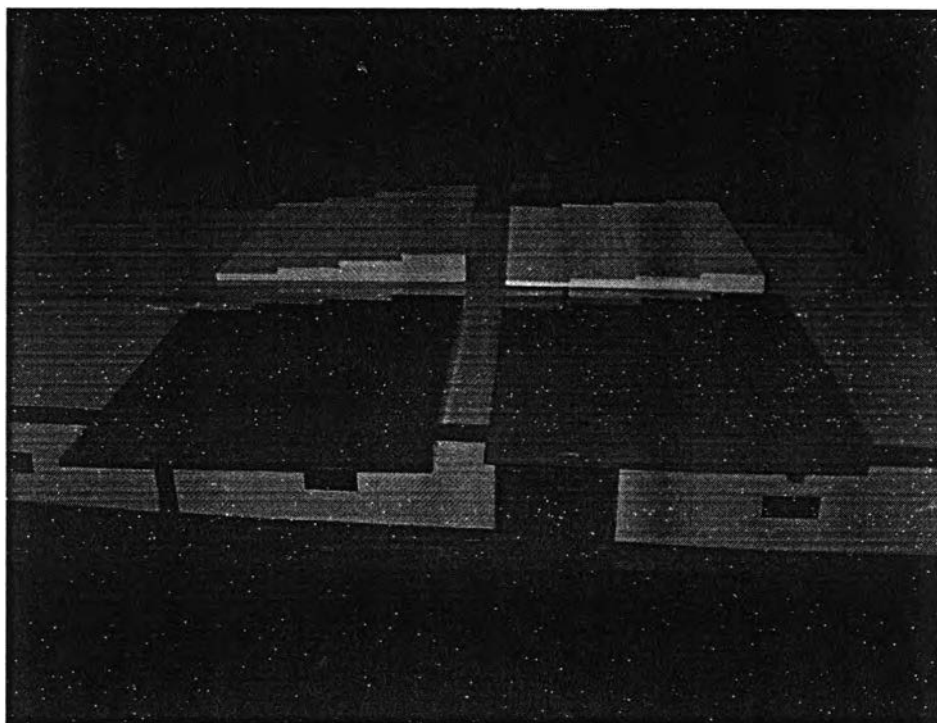
รูปที่ ค-4 แอ่งสลายพลังงานแบบขั้นบันไดสูง 6.00 เซนติเมตร



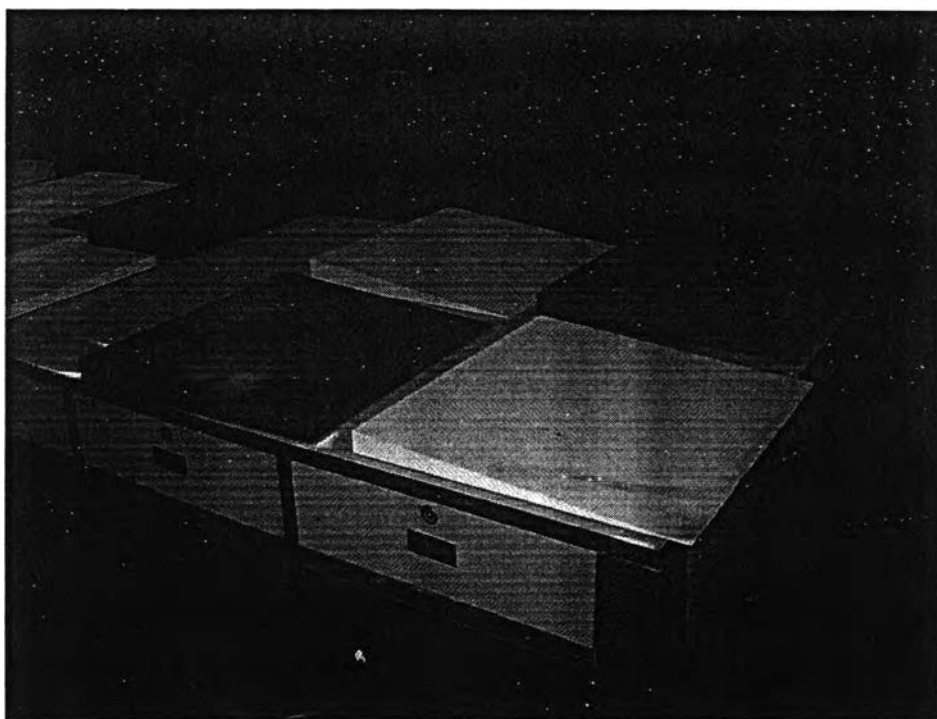
รูปที่ ค-5 แม่สลายพลังงานรูปแบบ S₂



รูปที่ ค-6 แม่สลายพลังงานรูปแบบ S₃



รูปที่ ค-7 แม่กลาญพลังงานรูปแบบ S_4



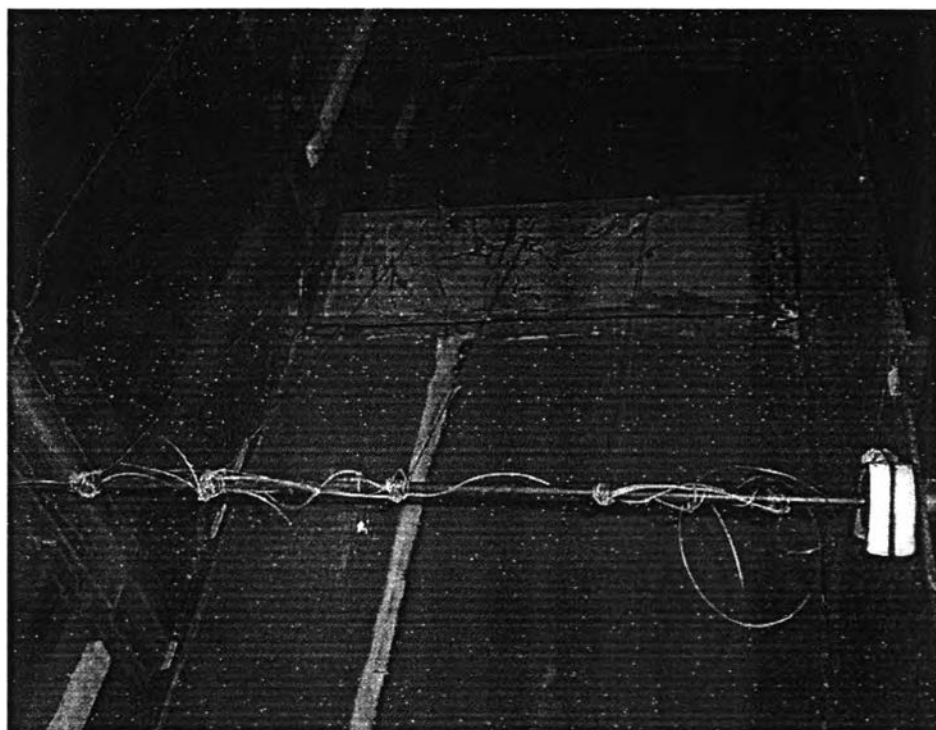
รูปที่ ค-8 แม่กลาญพลังงานรูปแบบ S_0



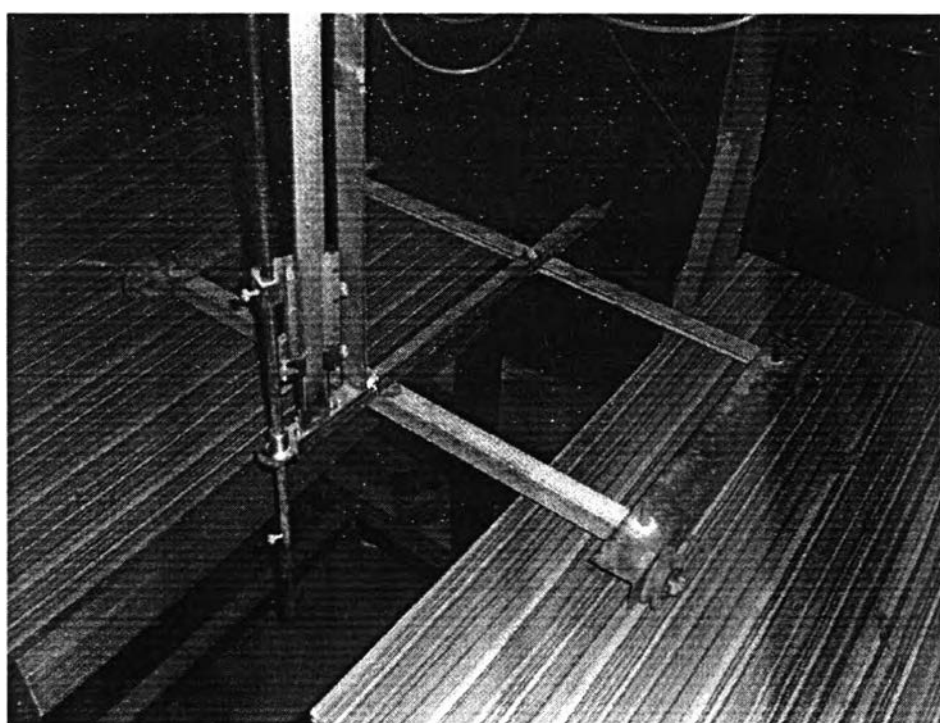
รูปที่ ค-9 ด้วยการติดตั้งแอ่งสลายพลังงาน



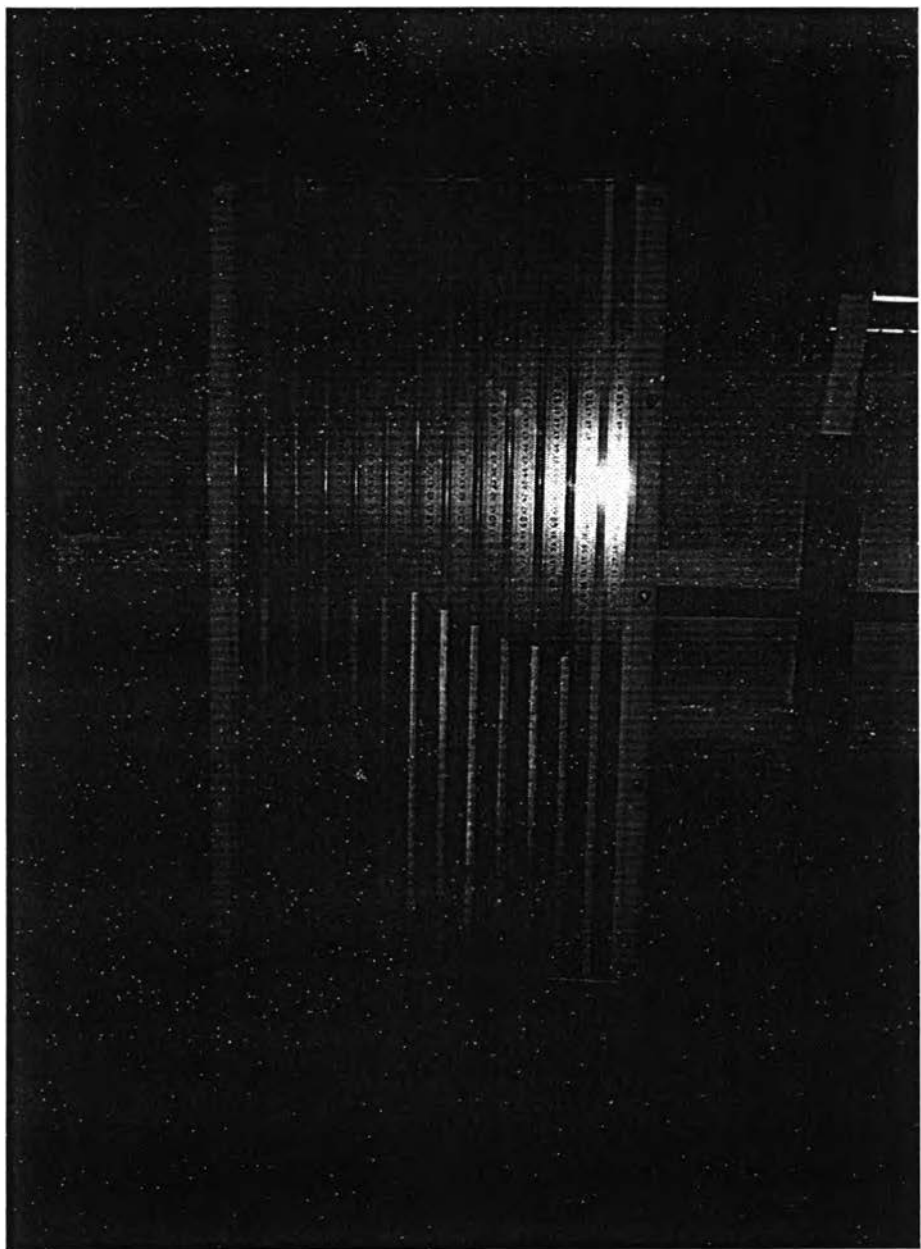
รูปที่ ค-10 ถังวัดอัตราการไหล



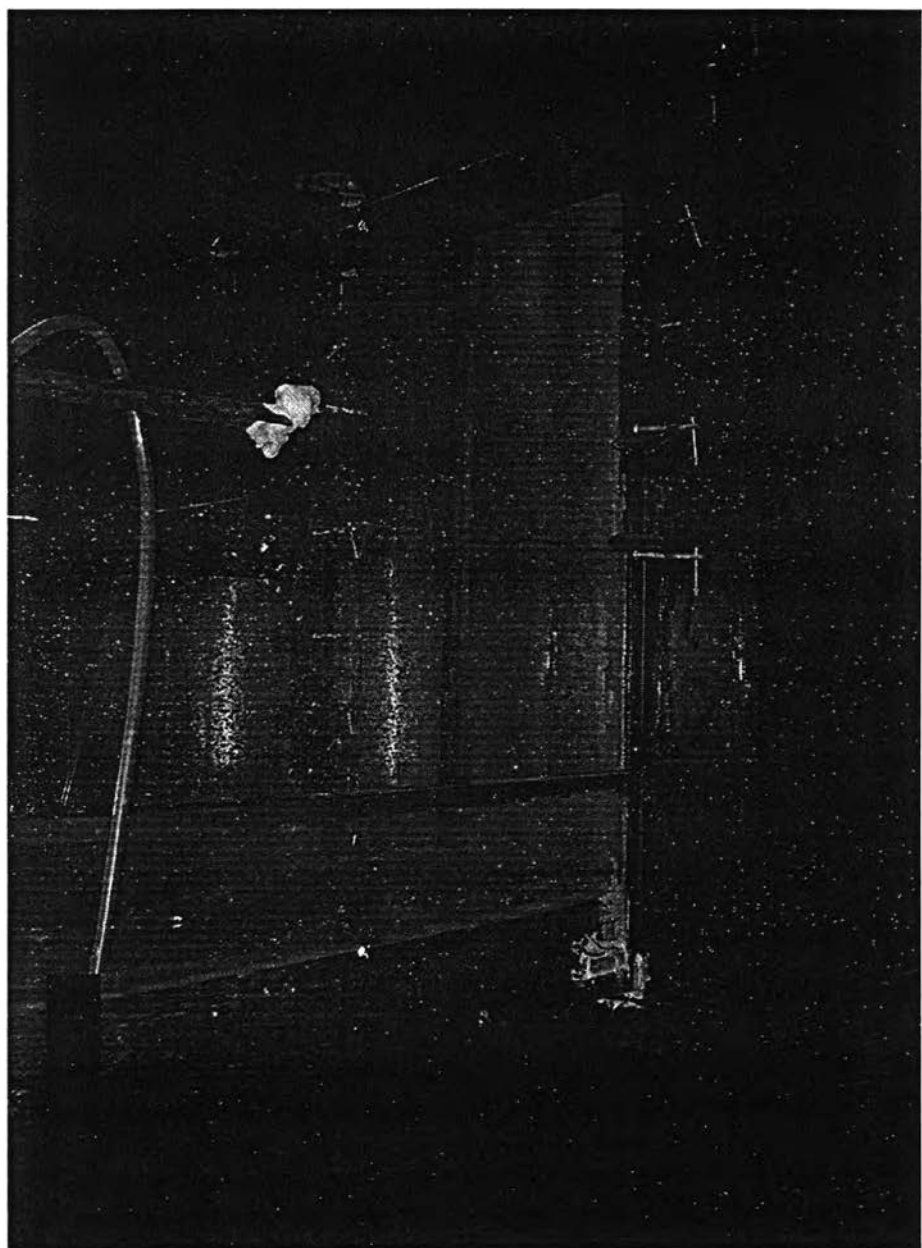
รูปที่ ค-11 นานความคุณระดับท้ายน้ำ



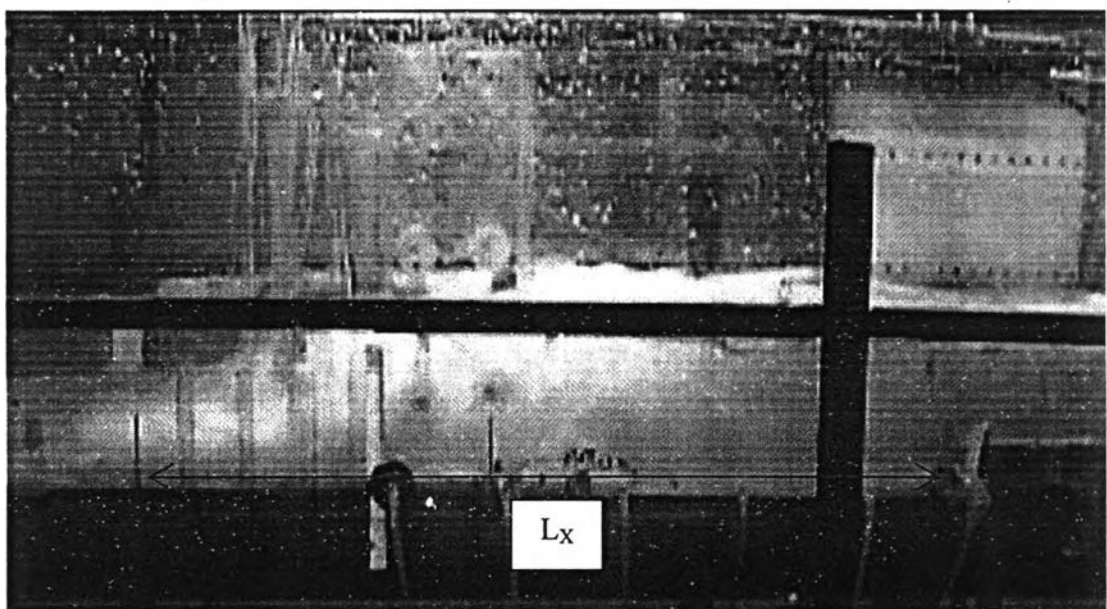
รูปที่ ค-12 point gauge



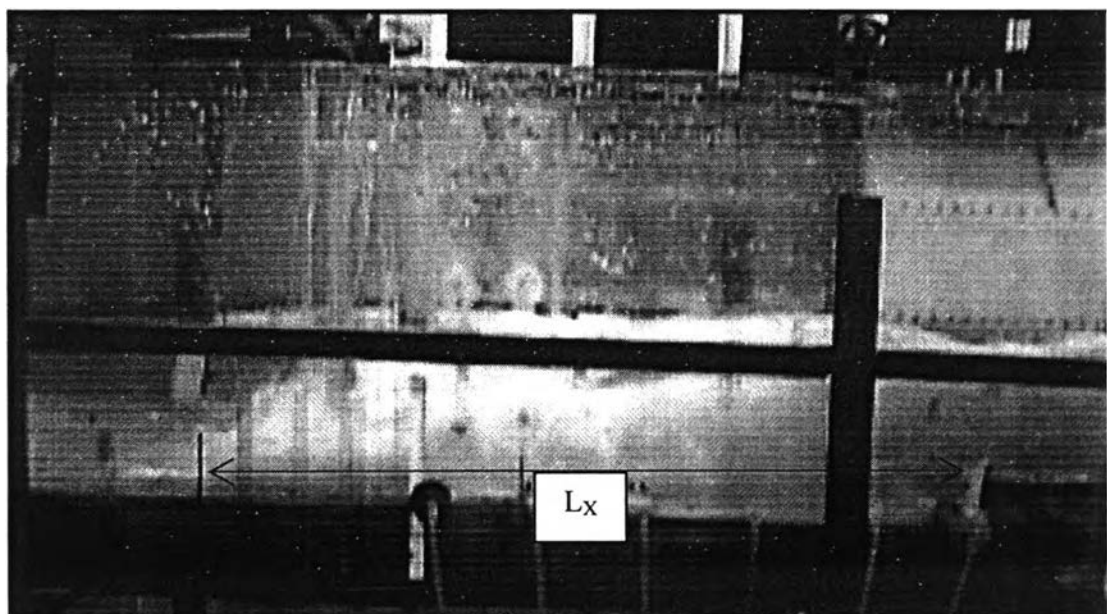
รูปที่ ค-13 หลอดวัดความดัน



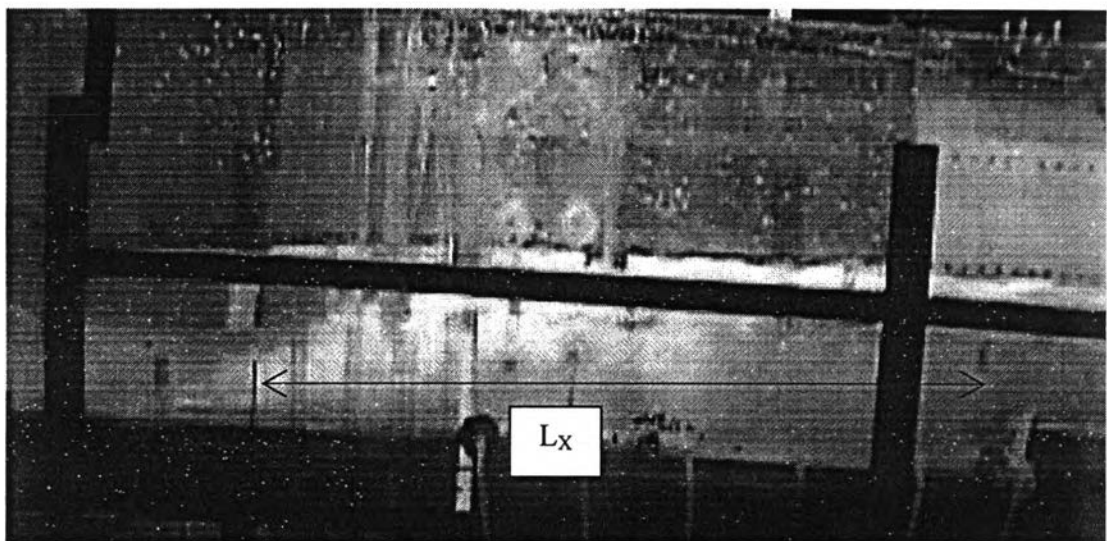
รูปที่ ค-14 บานความคุณปริมาณการในล



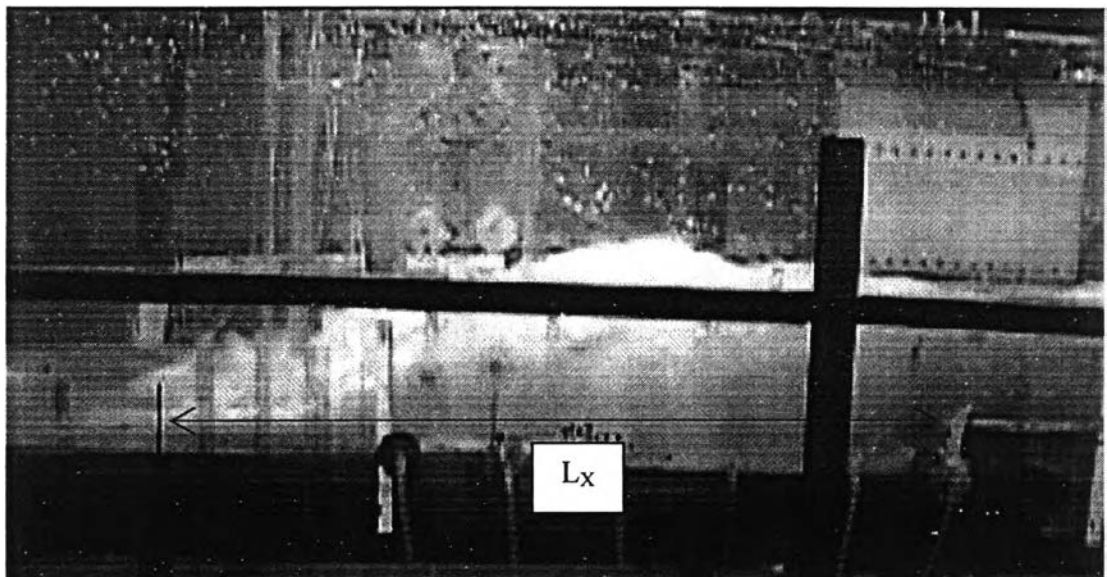
รูปที่ ค-15 การเกิดน้ำกระโดดแองสไตรพลังงานแบบ $S_1 - 2$ ($q=0.51 \text{ l/s.}$, time step 1)



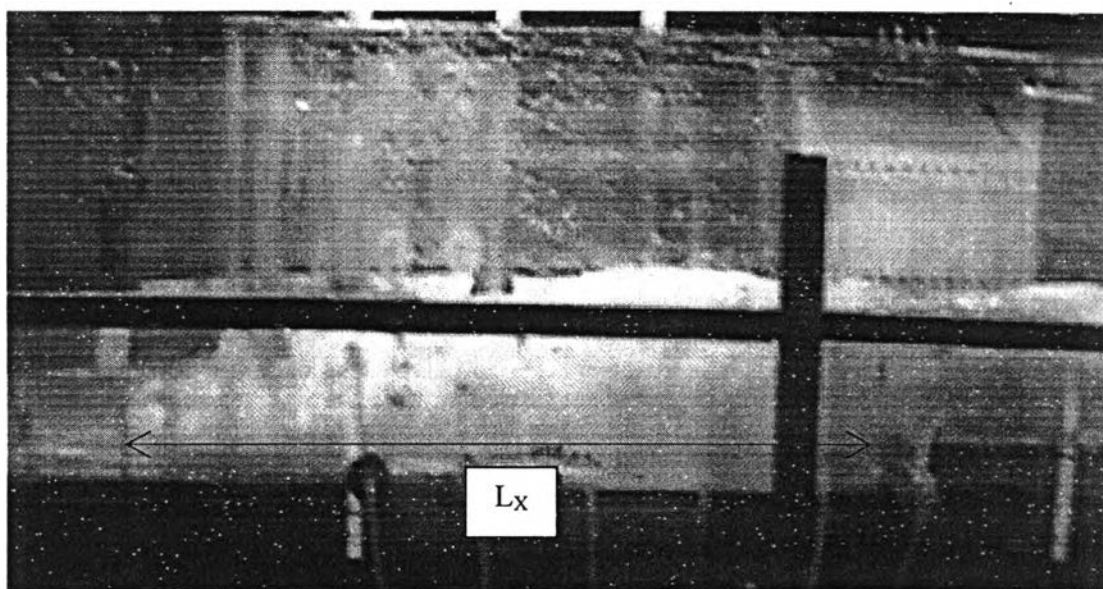
รูปที่ ค-16 การเกิดน้ำกระโดดแองสไตรพลังงานแบบ $S_1 - 2$ ($q=0.51 \text{ l/s.}$, time step 2)



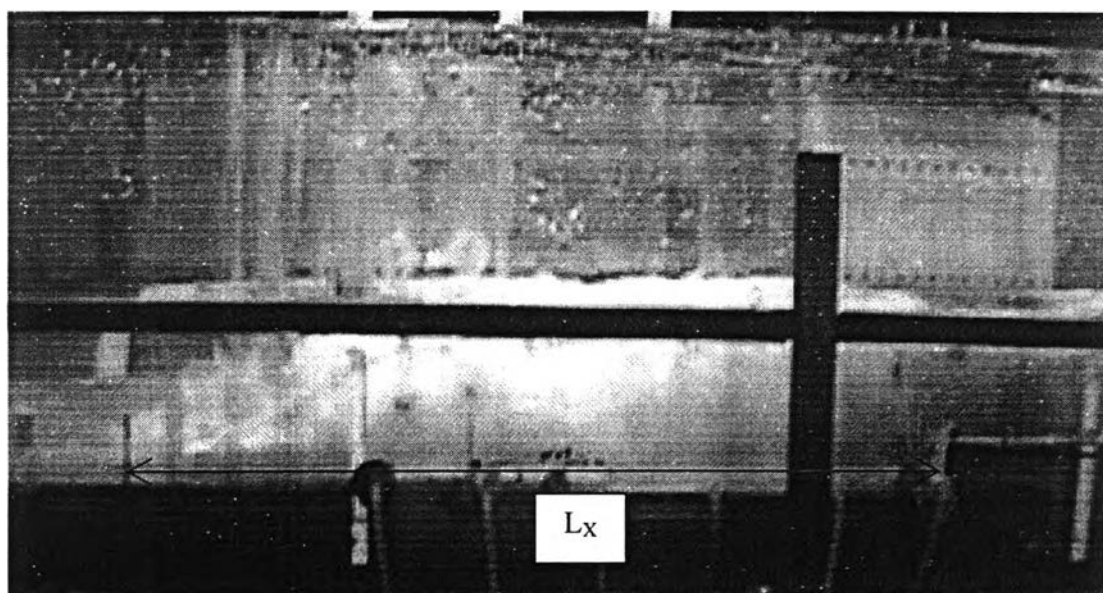
รูปที่ ค-17 การเกิดน้ำกระโดดແองສลายพลังงานแบบ S₁ - 2 ($q=0.51 \text{ l/s.}$, time step 3)



รูปที่ ค-18 การเกิดน้ำกระโดดແองສลายพลังงานแบบ S₁ - 2 ($q=0.51 \text{ l/s.}$, time step 4)



รูปที่ ค-19 การเกิดน้ำกระโดดแต่งสลายพลังงานแบบ $S_1 - 2$ ($q=0.51 \text{ l/s.}$, time step 5)

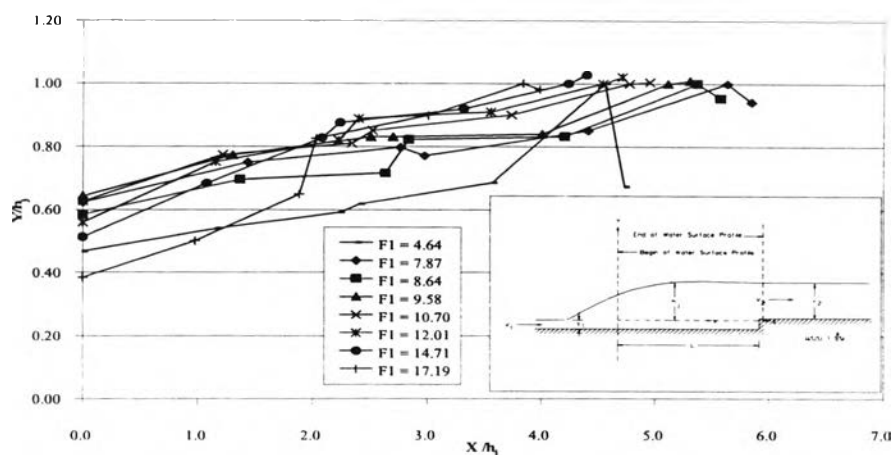


รูปที่ ค-20 การเกิดน้ำกระโดดแต่งสลายพลังงานแบบ $S_1 - 2$ ($q=0.51 \text{ l/s.}$, time step 6)

ภาคผนวก ง
ข้อมูลความดันที่กระทำด้วยกับพื้นของแม่สลายพลังงาน

ตารางที่ ง-1 ข้อมูลความดันที่กระทำตั้งจากกับพื้นของแอ่งสลายพลังงานแบบ S₁-1

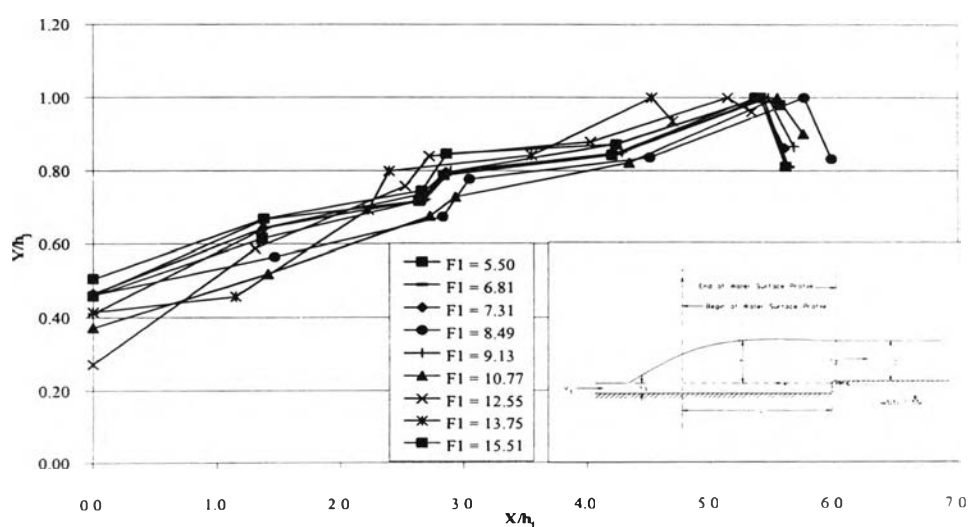
No. (1)	q (l./s/cm) (2)	ความดัน P (cm.)						
		จุดที่ 1 +21.00	จุดที่ 2 +31.40	จุดที่ 3 +41.80	จุดที่ 4 +52.20	จุดที่ 5 +62.60	จุดที่ 6 +73.00	T.W. +75.00
1	0.47	4.40	7.40	9.50	9.90	10.15	11.35	11.70
2	0.66	7.50	8.70	9.15	8.90	9.65	11.05	10.50
3	0.64	7.35	8.45	8.65	9.70	9.80	11.45	11.00
4	0.59	8.20	9.55	10.15	10.15	10.25	11.90	12.00
5	0.60	8.40	10.05	10.45	10.90	11.45	12.55	12.60
6	0.58	7.90	10.15	10.95	11.75	12.00	13.05	13.30
7	0.57	7.65	9.80	11.60	12.20	12.75	13.75	14.10
8	0.54	6.45	8.05	10.10	12.55	13.55	14.95	14.70
9	0.53	7.90	8.75	9.35	9.65	10.45	14.10	10.30
10	0.52	8.60	9.40	10.40	10.60	10.80	12.05	11.10
11	0.70	7.91	9.95	10.75	11.25	10.75	15.50	11.90
12	0.64	10.25	11.20	12.10	12.20	12.60	13.75	13.00
13	0.60	8.30	10.65	11.25	11.95	12.35	13.55	13.00
14	0.57	8.10	9.10	9.65	9.50	10.35	11.45	11.00



รูปที่ ง-1 ลักษณะของผิวน้ำไร้มิติ บนพื้นแอ่งสลายพลังงานแบบ S₁-1

ตารางที่ ง-2 ข้อมูลความดันที่กระทำตั้งจากกับพื้นของแม่น้ำสายพลังงานแบบ S₁-2

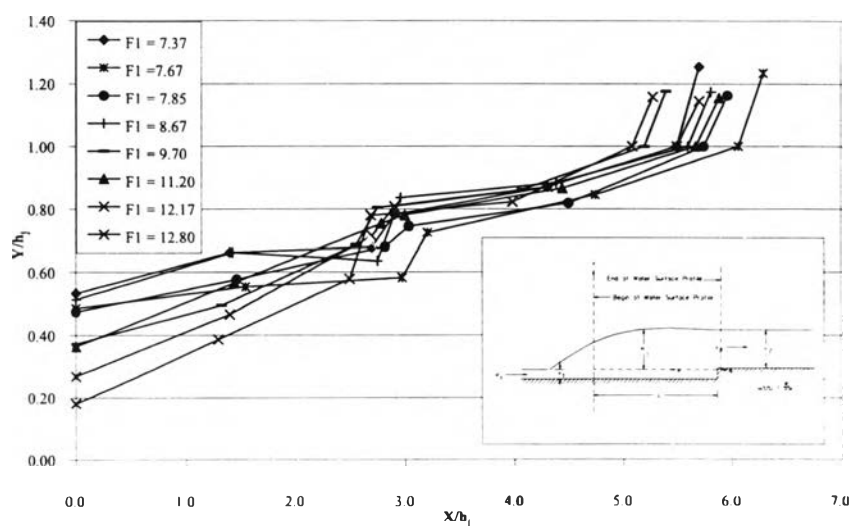
No. (1)	q (l./s/cm) (2)	ความดัน P (cm.)						
		จุดที่ 1 +21.00	จุดที่ 2 +31.40	จุดที่ 3 +41.80	จุดที่ 4 +52.20	จุดที่ 5 +62.60	จุดที่ 6 +73.00	T.W. +75.00
1	0.51	4.40	5.60	5.85	5.60	7.35	10.60	9.50
2	0.49	5.55	7.10	8.10	8.80	9.35	10.90	10.70
3	0.60	4.95	6.35	7.85	8.35	9.25	10.95	10.00
4	0.48	4.10	7.35	9.10	9.95	10.35	11.60	11.20
5	0.58	6.10	6.60	9.35	10.60	11.10	12.95	12.20
6	0.56	5.90	6.85	7.85	8.80	9.35	10.85	9.30
7	0.62	5.60	7.85	8.60	9.35	9.85	11.30	10.00
8	0.59	7.35	8.60	9.10	9.85	10.35	11.85	11.00
9	0.57	6.60	8.60	9.10	9.85	10.35	11.85	10.00
10	0.67	6.60	8.35	9.25	9.85	10.60	11.85	10.50
11	0.66	7.50	9.10	9.85	10.85	11.10	12.35	10.50
12	0.65	6.90	9.10	9.35	10.70	11.35	12.60	10.70
13	0.73	5.20	5.90	6.70	6.00	8.40	11.20	10.10
14	0.71	6.25	8.00	9.05	9.55	10.20	11.50	10.30



รูปที่ ง-2 ลักษณะของผิวน้ำในแม่น้ำสายพลังงานแบบ S₁-2

ตารางที่ ง-3 ข้อมูลความดันที่กระทำตั้งจากกับพื้นของแม่น้ำริมดินแบบ S_1 -3

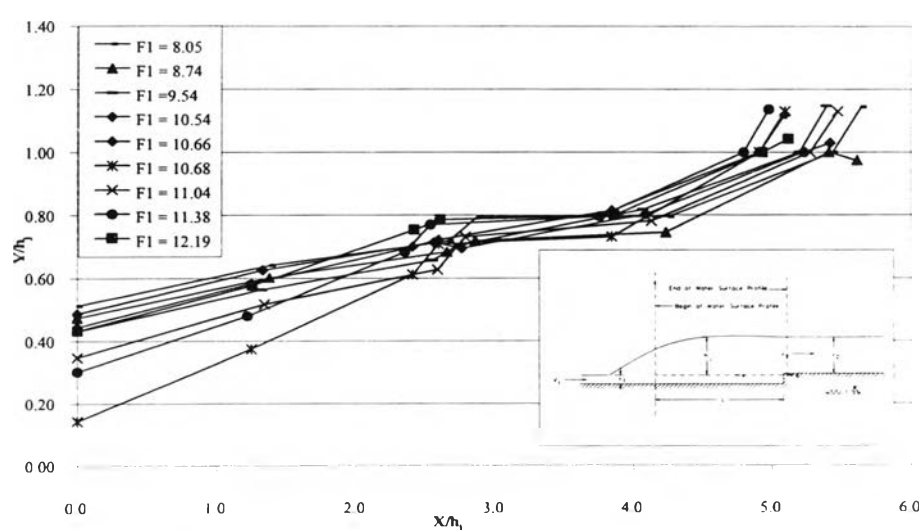
No.	q (l./s/cm)	ความดัน P (cm.)						
		จุดที่ 1 +21.00	จุดที่ 2 +31.40	จุดที่ 3 +41.80	จุดที่ 4 +52.20	จุดที่ 5 +62.60	จุดที่ 6 +73.00	T.W. +75.00
1	0.61	4.25	5.70	6.25	7.25	7.75	10.00	11.50
2	0.59	3.55	4.75	6.35	6.75	8.10	9.95	12.00
3	0.57	4.80	6.70	8.45	8.70	9.50	10.75	12.20
4	0.56	3.95	5.85	8.25	9.15	9.75	11.00	12.40
5	0.66	3.20	5.35	7.35	9.45	9.90	11.75	13.40
6	0.67	6.15	6.75	7.00	8.25	9.30	10.65	12.70
7	0.55	6.25	7.20	8.15	8.75	9.43	11.10	12.60
8	0.54	6.65	8.05	7.80	9.70	10.15	11.25	12.90
9	0.64	5.85	7.50	8.85	9.80	10.10	11.25	13.60
10	0.63	5.50	6.75	8.70	9.90	10.50	11.90	13.70
11	0.63	7.25	8.50	8.65	9.65	10.50	11.75	14.20
12	0.72	8.40	9.50	10.15	10.65	11.25	12.50	14.40
13	0.70	6.25	6.50	7.65	7.65	8.50	9.75	11.50
14	0.59	4.50	5.80	6.50	7.40	7.90	10.50	11.70



รูปที่ ง-3 ลักษณะของผิวน้ำริมดิน บนพื้นแม่น้ำริมดินแบบ S_1 -3

ตารางที่ ง-4 ข้อมูลความดันที่กระทำตั้งจากกับพื้นของแอ่งสลายพลังงานแบบ S,-4

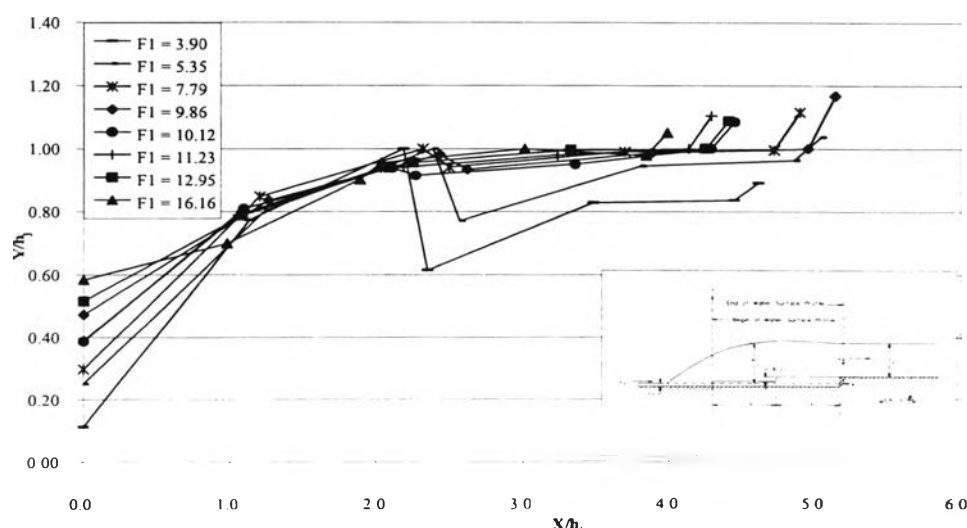
No.	q (l./s/cm)	ความดัน P (cm.)						
		จุดที่ 1 +21.00	จุดที่ 2 +31.40	จุดที่ 3 +41.80	จุดที่ 4 +52.20	จุดที่ 5 +62.60	จุดที่ 6 +73.00	T.W. +75.00
(1)	(2)							
1	0.68	6.35	7.75	8.65	8.45	9.55	11.55	11.85
2	0.70	5.95	7.50	9.40	9.75	9.90	12.05	12.50
3	0.55	6.15	7.40	8.20	8.55	8.80	11.30	11.05
4	0.67	5.00	6.70	7.80	8.85	9.35	11.55	12.85
5	0.64	3.05	5.55	8.10	9.15	9.40	12.30	13.70
6	0.60	4.85	6.80	9.05	10.00	10.30	12.55	14.05
7	0.62	3.80	4.75	7.55	9.20	10.75	12.75	14.10
8	0.53	6.80	8.05	8.80	9.55	9.55	11.55	12.95
9	0.65	6.00	7.35	8.30	8.80	9.95	11.80	13.30
10	0.66	6.30	7.80	9.05	9.30	10.30	12.30	13.60
11	0.64	4.05	7.30	9.05	9.75	10.75	12.80	14.50
12	0.66	4.80	7.30	9.55	10.70	10.80	13.30	14.80
13	0.52	7.30	8.75	9.60	11.05	10.95	12.85	13.90
14	0.63	5.30	7.90	10.25	11.40	11.60	14.20	14.60
15	0.48	6.65	8.00	8.90	9.65	10.00	12.60	9.80



รูปที่ ง-4 ลักษณะของผิวน้ำในมิติ บนพื้นแอ่งสลายพลังงานแบบ S,-4

ตารางที่ ง-5 ข้อมูลความดันที่กระทำดังจากกับพื้นของแม่กลองลายพลังงานแบบ S_2-1

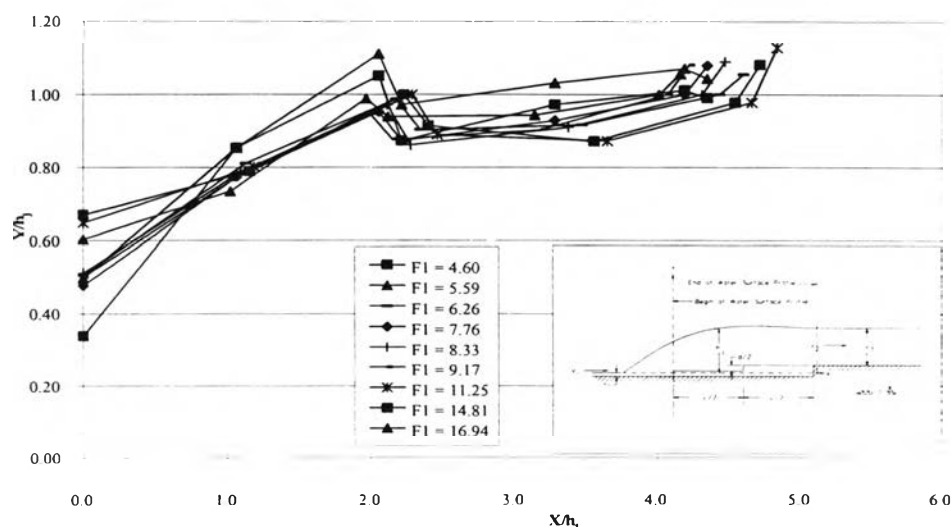
No. (1)	q (l./s/cm) (2)	ความดัน P (cm.)						
		จุดที่ 1 +21.00	จุดที่ 2 +33.50	จุดที่ 3 +46.00	จุดที่ 4 +48.00	จุดที่ 5 +61.50	จุดที่ 6 +73.00	T.W. +75.00
1	0.49	4.55	8.45	10.00	7.70	8.25	8.40	10.20
2	0.48	5.75	9.15	11.05	9.45	9.95	10.00	11.10
3	0.47	7.25	8.85	11.65	10.60	11.20	10.90	11.90
4	0.52	2.80	8.35	10.45	5.50	7.80	7.90	9.40
5	0.46	3.10	9.30	11.00	8.55	9.10	9.15	10.50
6	0.50	4.35	9.60	11.20	9.10	9.55	10.15	11.20
7	0.45	4.50	9.65	11.55	9.80	10.30	10.55	11.90
8	0.49	3.00	9.05	11.20	6.90	8.80	9.00	9.80
9	0.47	3.45	9.60	11.55	8.10	9.65	9.90	10.70
10	0.54	2.20	10.10	12.80	6.40	8.95	9.05	9.70
11	0.45	5.05	9.00	10.60	8.10	8.80	8.90	10.70
12	0.52	6.05	9.35	11.45	9.85	10.40	10.50	11.50
13	0.50	3.45	9.75	11.30	8.85	9.50	9.55	10.90
14	0.53	4.30	10.20	12.30	8.90	10.40	10.60	11.50



รูปที่ ง-5 ลักษณะของผิวน้ำไร้นิติ บนพื้นแม่กลองลายพลังงานแบบ S_2-1

ตารางที่ ง-6 ข้อมูลความดันที่กระทำดังจากกับพื้นของแอ่งสลายพลังงานแบบ S_2 -2

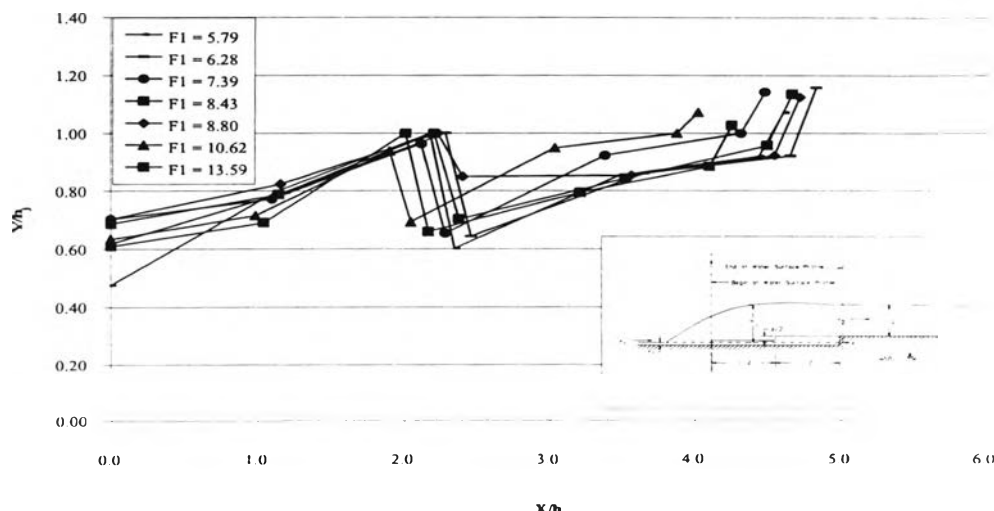
No. (1)	q (l./s/cm) (2)	ความดัน P (cm.)						
		จุดที่ 1 +21.00	จุดที่ 2 +33.50	จุดที่ 3 +46.00	จุดที่ 4 +48.00	จุดที่ 5 +61.50	จุดที่ 6 +73.00	T.W. +75.00
1	0.49	5.25	7.70	9.90	6.10	4.80	5.35	7.80
2	0.48	6.40	7.80	10.25	6.85	6.35	7.60	8.80
3	0.46	6.50	8.25	11.60	8.55	8.60	9.35	10.10
4	0.45	4.60	7.90	10.20	6.10	5.60	6.80	8.60
5	0.43	6.25	8.00	10.25	6.60	6.40	7.60	9.30
6	0.52	5.30	8.75	11.25	7.00	7.20	8.45	9.30
7	0.50	5.60	9.00	11.25	7.50	8.10	9.20	10.30
8	0.60	5.75	9.20	11.55	8.25	8.60	9.85	10.90
9	0.59	5.75	9.40	11.50	8.10	8.25	9.25	9.90
10	0.62	5.50	9.25	11.50	8.10	8.80	9.70	10.70
11	0.57	3.75	10.25	12.75	8.10	9.35	9.85	10.50
12	0.55	5.75	10.25	13.50	9.35	10.10	10.60	10.90
13	0.60	3.25	7.55	9.50	6.60	8.35	8.90	8.30
14	0.70	6.10	7.80	11.00	8.10	8.15	9.00	9.50
15	0.00	5.85	9.20	11.65	7.55	7.65	8.90	9.80



รูป ที่-6 ลักษณะของผิวน้ำไร้มิติ บนพื้นของแอ่งสลายพลังงานแบบ S_2 -2

ตารางที่ ง-7 ข้อมูลความดันที่กระทำตั้งจากกับพื้นของแอ่งสลายพลังงานแบบ S_2-3

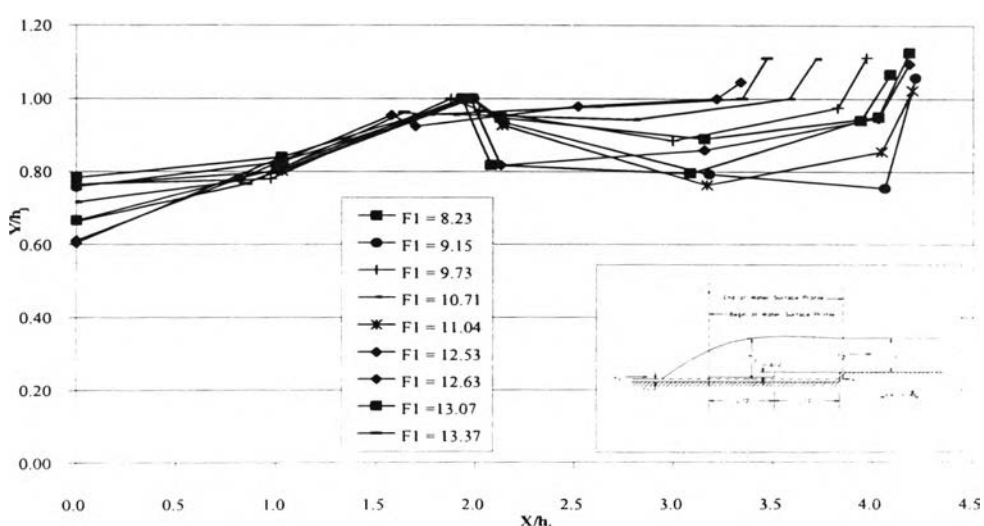
No. (1)	q (l./s/cm) (2)	ความดัน P (cm.)						
		จุดที่ 1 +21.00	จุดที่ 2 +33.50	จุดที่ 3 +46.00	จุดที่ 4 +48.00	จุดที่ 5 +61.50	จุดที่ 6 +73.00	T.W. +75.00
1	0.51	7.00	8.40	10.45	6.00	6.05	6.85	9.20
2	0.70	7.00	8.20	10.70	4.50	6.15	7.50	9.60
3	0.50	7.40	8.50	11.55	5.50	9.00	9.70	10.70
4	0.50	6.30	8.10	10.30	2.70	5.80	5.75	9.20
5	0.57	7.20	7.95	9.90	3.90	6.75	7.25	9.80
6	0.49	7.80	8.65	11.00	4.50	7.80	8.75	10.50
7	0.53	7.20	8.45	11.30	5.15	8.90	9.50	11.50
8	0.54	5.20	9.05	11.45	4.00	7.00	7.80	9.60
9	0.62	6.45	8.45	10.80	4.05	6.50	7.20	9.90
10	0.60	6.35	7.65	10.25	3.80	4.25	4.50	8.50
11	0.60	6.30	7.35	11.35	4.25	6.00	7.15	9.00
12	0.56	6.75	9.45	11.50	6.25	7.85	8.50	10.50
13	0.61	6.00	7.00	11.05	4.00	5.65	6.80	8.70
14	0.60	8.50	10.20	12.80	8.50	10.60	11.20	12.10
15	0.67	5.90	7.15	9.85	3.40	3.80	4.00	8.00



รูปที่ ง-7 ลักษณะของผิวน้ำไร้มิติ บนพื้นแอ่งสลายพลังงานแบบ S_2-3

ตารางที่ ง-8 ข้อมูลความดันที่กระทำตั้งจากกับพื้นของแบ่งสลายพลังงานแบบ S_2 -4

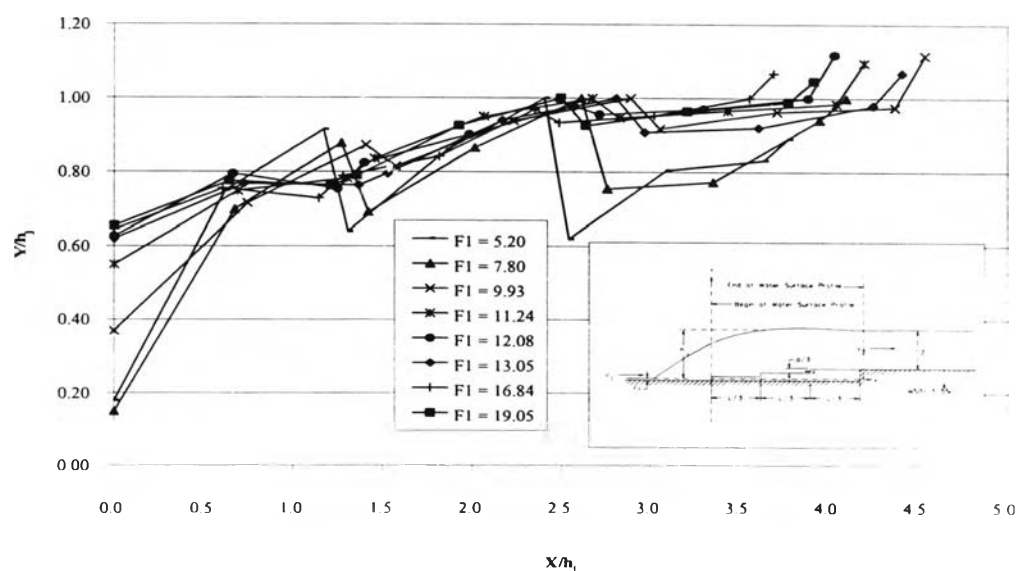
No. (1)	q (l./s/cm) (2)	ความดัน P (cm.)						
		จุดที่ 1 +21.00	จุดที่ 2 +33.50	จุดที่ 3 +46.00	จุดที่ 4 +48.00	จุดที่ 5 +61.50	จุดที่ 6 +73.00	T.W. +75.00
1	0.53	6.05	9.15	11.25	5.85	6.40	7.55	9.50
2	0.63	7.10	9.00	11.60	6.15	5.85	7.80	9.50
3	0.50	7.55	8.05	11.85	7.05	5.05	4.25	8.10
4	0.46	8.40	8.90	11.50	7.55	5.40	6.60	8.80
5	0.63	8.50	9.40	11.65	7.80	5.95	5.45	9.40
6	0.50	9.20	9.40	12.45	9.00	7.85	9.10	11.00
7	0.57	9.10	10.05	12.65	9.65	9.45	10.30	11.90
8	0.64	8.80	10.45	13.55	10.45	10.80	11.15	12.90
9	0.62	8.45	11.25	14.10	10.60	11.50	11.85	12.60
10	0.61	9.10	9.85	11.95	8.25	7.50	8.30	10.60
11	0.63	8.80	11.40	13.50	9.80	10.30	10.60	12.00
12	0.61	9.30	11.80	13.80	10.60	11.50	11.90	12.70
13	0.72	10.10	12.50	15.00	11.80	12.70	13.20	13.20
14	0.70	9.90	12.60	14.70	11.40	12.30	13.10	13.90
15	0.68	6.55	9.85	11.85	6.95	7.60	8.85	8.00



รูปที่ ง-8 ลักษณะของผิวน้ำไร้มิติ บนพื้นแบ่งสลายพลังงานแบบ S_2 -4

ตารางที่ ง-9 ข้อมูลความดันที่กระทำตั้งจากกับพื้นของแอ่งสลายพลังงานแบบ S_3 -1

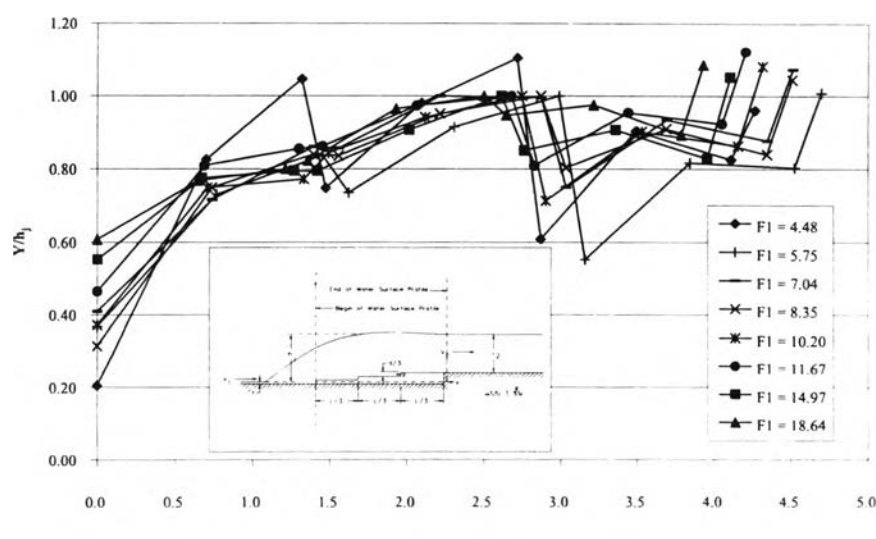
No.	q (l./s/cm)	ความดัน P (cm.)										T.W. +75.00
		จุดที่ 1 +21.00	จุดที่ 2 +29.00	จุดที่ 3 +37.00	จุดที่ 4 +39.00	จุดที่ 5 +47.00	จุดที่ 6 +55.00	จุดที่ 7 +57.00	จุดที่ 8 +65.00	จุดที่ 9 +73.00		
(1)	(2)											
1	0.47	7.80	9.65	9.60	8.80	10.60	11.35	9.00	9.15	9.90	11.00	
2	0.57	9.10	10.80	10.60	9.80	11.70	12.75	10.50	11.05	11.40	12.20	
3	0.46	1.80	9.15	11.55	7.85	10.20	12.00	7.50	7.75	10.00	10.80	
4	0.55	4.95	9.15	11.05	9.15	10.65	11.40	9.20	9.75	9.90	11.60	
5	0.45	7.55	10.15	10.60	10.10	11.60	12.25	10.35	10.60	10.85	12.30	
6	0.54	8.70	11.00	10.45	10.20	11.25	12.30	10.80	11.00	11.40	13.00	
7	0.52	9.70	11.35	10.95	10.65	11.45	13.35	11.60	11.90	12.60	13.60	
8	0.52	2.05	10.75	13.90	7.70	11.20	13.05	5.65	9.00	9.40	10.10	
9	0.50	3.35	11.65	14.05	8.85	12.05	14.10	7.35	10.05	10.45	11.30	
10	0.49	4.55	12.40	14.55	9.75	12.95	15.10	8.45	11.05	11.55	12.50	
11	0.48	8.90	11.20	10.80	10.55	11.65	12.50	11.20	11.30	11.70	13.30	
12	0.61	5.45	9.45	11.45	9.55	10.95	11.55	9.75	10.15	10.30	12.00	
13	0.59	2.30	9.55	11.85	8.20	10.50	12.30	8.00	8.20	10.40	11.20	
14	0.55	8.20	9.95	10.10	9.20	11.55	11.95	9.50	9.90	10.60	11.70	



รูปที่ ง-9 ลักษณะของผิวน้ำไร้มิติ บนพื้นแอ่งสลายพลังงานแบบ S_3 -1

ตารางที่ ง-10 ข้อมูลความดันที่กระทำตั้งจากกับพื้นของแอ่งสลายผลังงานแบบ S_3 -2

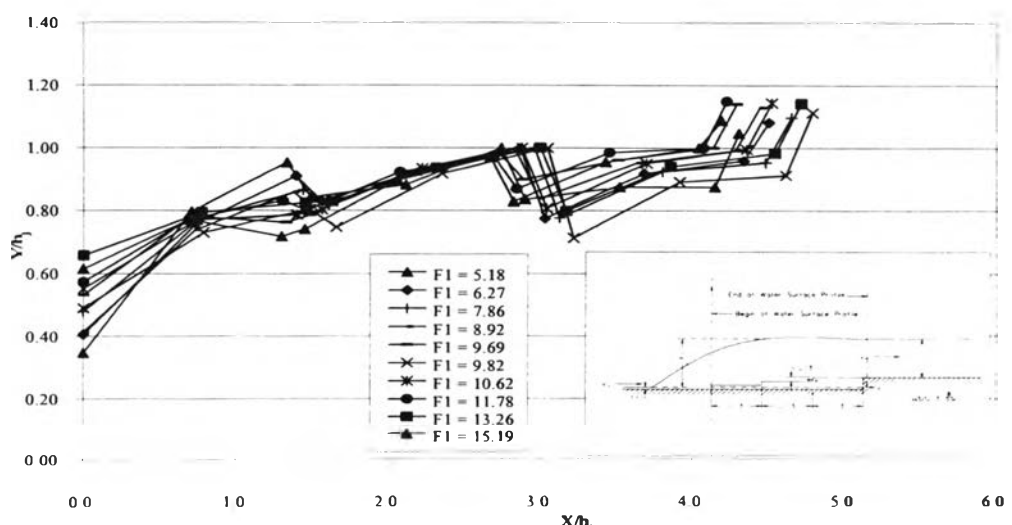
No.	q (l./s/cm)	ความดัน P (cm.)									
		จุดที่ 1 +21.00	จุดที่ 2 +29.00	จุดที่ 3 +37.00	จุดที่ 4 +39.00	จุดที่ 5 +47.00	จุดที่ 6 +55.00	จุดที่ 7 +57.00	จุดที่ 8 +65.00	จุดที่ 9 +73.00	T.W. +75.00
(1)	(2)										
1	0.50	6.80	7.90	8.85	7.55	9.20	9.70	6.05	5.85	5.30	9.00
2	0.48	6.80	9.80	10.05	8.45	9.95	11.20	7.60	8.35	7.30	10.30
3	0.47	7.80	10.05	10.50	9.20	11.20	11.70	9.35	9.75	8.60	11.30
4	0.46	3.80	9.10	10.20	8.55	9.95	10.55	6.55	7.85	7.00	9.50
5	0.45	4.55	9.35	9.65	8.95	10.20	10.95	5.70	8.10	7.60	10.40
6	0.55	5.80	10.30	10.90	9.40	10.85	11.20	7.10	9.00	8.60	11.20
7	0.53	4.80	9.05	10.30	7.50	9.60	10.60	3.75	6.85	6.70	9.10
8	0.50	5.30	9.05	10.80	9.15	10.90	10.85	6.25	8.50	7.80	10.20
9	0.60	4.30	10.30	11.80	10.20	11.45	7.70	6.70	9.10	8.60	11.00
10	0.59	2.80	10.80	13.65	8.20	11.20	12.80	4.80	8.60	7.60	10.30
11	0.58	3.55	11.55	14.30	7.20	11.90	13.70	4.60	8.95	8.30	10.70
12	0.56	6.25	9.55	9.65	8.05	9.55	10.90	7.15	8.15	7.00	9.60
13	0.54	7.40	9.75	10.05	8.80	10.85	11.25	9.00	9.30	8.15	10.90
14	0.66	4.80	9.05	10.30	7.50	9.60	10.60	3.75	6.85	7.25	9.60
15	0.63	5.15	7.85	8.70	7.60	8.80	9.40	7.55	8.05	8.70	10.60



รูปที่ ง-10 ลักษณะของผิวน้ำเริ่มต้น บนพื้นแอ่งสลายผลังงานแบบ S_3 -2

ตารางที่ ง-11 ข้อมูลความดันที่กระทำตั้งจากกับพื้นของแอ่งสลายพลังงานแบบ S_3 -3

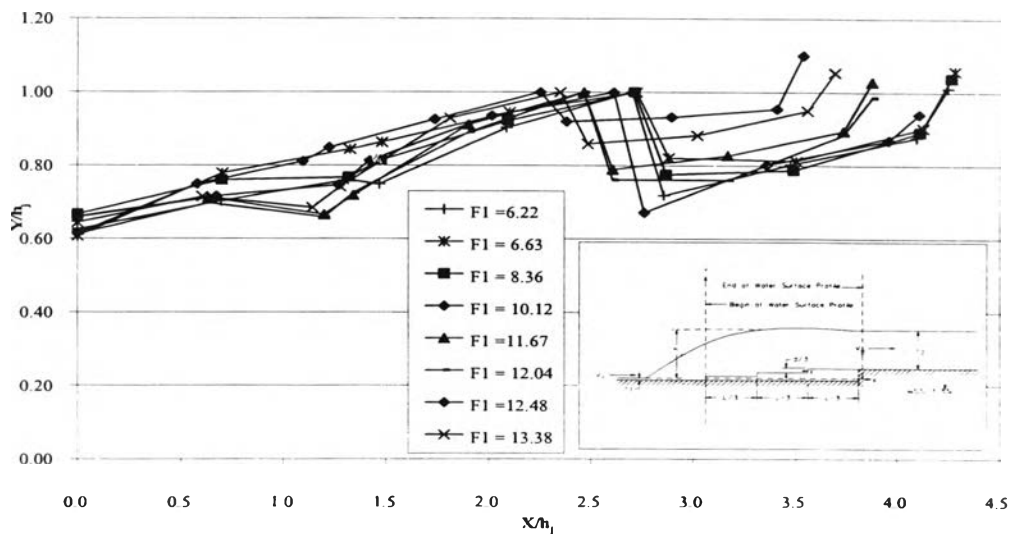
No.	q (l./s/cm)	ความดัน P (cm.)									
		จุดที่ 1 +21.00	จุดที่ 2 +29.00	จุดที่ 3 +37.00	จุดที่ 4 +39.00	จุดที่ 5 +47.00	จุดที่ 6 +55.00	จุดที่ 7 +57.00	จุดที่ 8 +65.00	จุดที่ 9 +73.00	T.W. +75.00
(1)	(2)										
1	0.50	6.00	7.35	8.00	7.10	8.65	9.45	3.50	5.15	5.55	8.20
2	0.47	6.95	8.55	8.90	8.05	9.30	10.05	5.00	6.65	7.15	9.00
3	0.46	7.30	9.35	8.65	8.05	10.10	11.05	6.50	8.15	8.75	9.90
4	0.57	5.25	8.00	8.85	7.30	9.25	10.20	4.20	6.25	6.50	8.80
5	0.45	6.30	8.95	9.15	8.45	10.05	10.85	5.80	7.55	8.10	9.90
6	0.54	7.00	9.60	10.35	9.05	10.65	11.30	7.25	8.75	8.95	10.90
7	0.52	5.60	9.10	10.15	8.70	10.10	10.85	5.50	7.25	7.60	9.30
8	0.60	4.95	8.95	10.45	8.80	10.45	11.30	6.60	8.00	8.50	10.20
9	0.58	6.60	9.80	9.55	8.95	10.65	11.45	7.70	8.50	9.00	10.80
10	0.57	5.35	9.65	11.50	9.65	10.80	11.70	6.25	8.00	8.50	10.00
11	0.56	6.35	10.65	12.85	10.40	11.70	12.75	7.45	9.00	10.50	10.60
12	0.65	5.35	11.10	13.10	10.80	11.30	12.80	8.00	8.50	8.50	10.70
13	0.63	6.35	7.55	8.30	7.70	9.05	9.95	3.90	5.60	5.90	8.60
14	0.73	6.00	9.65	10.65	9.05	10.40	11.40	6.10	7.80	8.15	9.80



รูปที่ ง-11 ลักษณะของผิวน้ำรีโนดิ บนพื้นแอ่งสลายพลังงานแบบ S_3 -3

ตารางที่ ง-12 ข้อมูลความดันที่กระทำตั้งจากกับพื้นของแบ่งสลายพลังงานแบบ S_3 -4

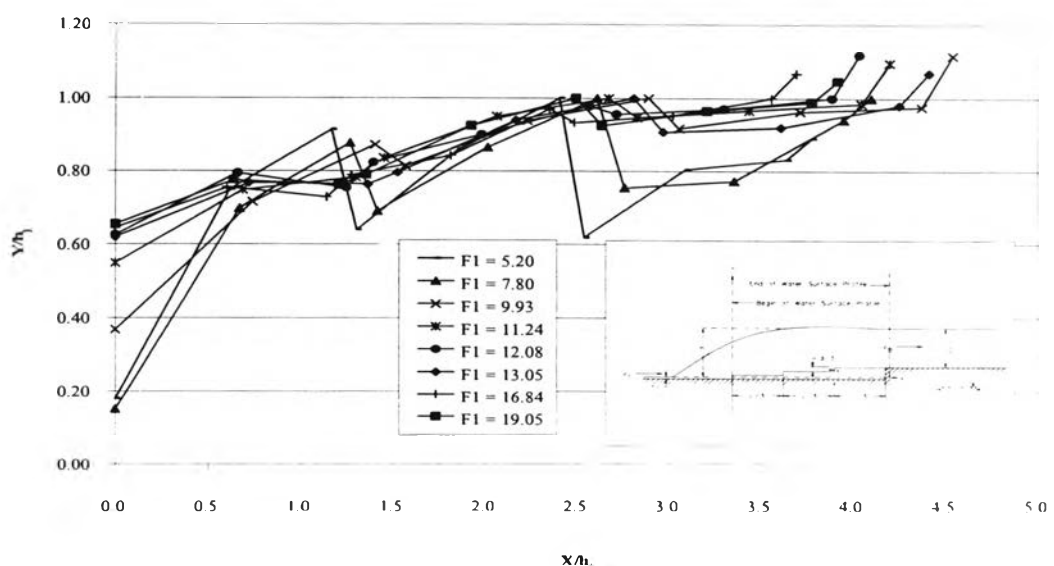
No.	q (l./s/cm)	ความดัน P (cm.)									
		จุดที่ 1 +21.00	จุดที่ 2 +29.00	จุดที่ 3 +37.00	จุดที่ 4 +39.00	จุดที่ 5 +47.00	จุดที่ 6 +55.00	จุดที่ 7 +57.00	จุดที่ 8 +65.00	จุดที่ 9 +73.00	T.W. +75.00
		(1)	(2)								
1	0.54	7.85	8.60	9.00	7.90	9.55	10.40	4.00	5.75	6.65	7.60
2	0.39	8.00	9.20	9.30	7.90	9.30	10.30	5.40	5.55	6.90	8.80
3	0.70	8.55	9.30	8.65	7.40	10.15	11.40	6.40	6.95	7.90	9.80
4	0.50	8.60	9.65	9.20	8.05	10.85	11.90	7.80	8.15	9.15	10.70
5	0.52	7.60	9.80	10.65	8.90	9.95	10.65	6.35	6.25	7.40	9.40
6	0.67	7.65	10.50	10.95	9.15	10.55	10.95	7.25	7.60	8.15	9.82
7	0.67	7.90	8.90	9.65	7.50	9.50	10.75	5.10	6.20	7.15	8.90
8	0.66	7.90	9.10	8.55	7.50	9.85	11.40	6.00	6.00	7.75	9.20
9	0.66	9.70	11.85	12.15	11.25	12.65	13.15	10.80	10.75	11.15	12.10
10	0.45	9.15	11.25	12.20	10.80	12.00	13.15	9.90	10.10	10.45	12.70
11	0.56	9.35	11.55	12.10	11.40	12.20	13.55	10.80	10.10	10.55	13.00
12	0.48	6.60	8.80	9.65	7.95	8.85	9.65	5.10	5.15	6.10	8.10
13	0.54	10.30	12.35	12.55	11.95	13.25	13.95	11.30	11.95	12.45	12.40
14	0.48	9.75	12.05	12.65	12.20	13.10	14.55	11.80	11.20	11.55	13.10
15	0.48	8.45	9.55	9.15	8.35	10.75	12.35	7.20	7.00	8.85	9.30



รูปที่ ง-12 ลักษณะของผิวน้ำริมดิบบนพื้นแบ่งสลายพลังงานแบบ S_3 -4

ตารางที่ ง-13 ข้อมูลความดันที่กระทำตั้งจากก้นพื้นของแม่น้ำสลายพลังงาน กรณีแบบ S_4-1

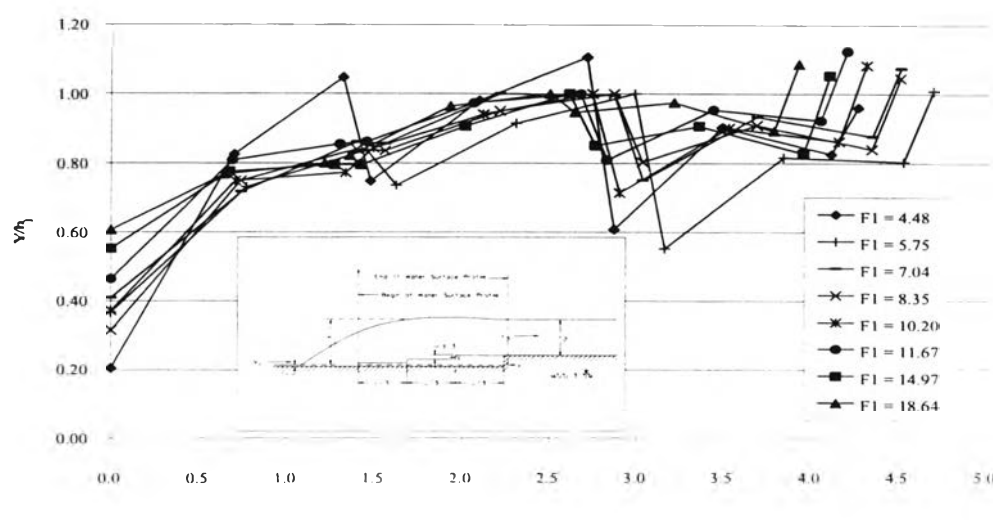
No.	q (l./s/cm)	ความดัน P (cm.)												
		จุดที่ 1 +21.00	จุดที่ 2 +26.75	จุดที่ 3 +32.5	จุดที่ 4 +34.5	จุดที่ 5 +40.25	จุดที่ 6 +46.00	จุดที่ 7 +48.00	จุดที่ 8 +53.75	จุดที่ 9 +59.50	จุดที่ 10 +61.50	จุดที่ 11 +67.20	จุดที่ 12 +73.00	T.W. +75.00
(1)	(2)													
1	0.47	0.35	9.10	13.35	8.00	10.70	12.85	7.80	8.80	11.25	4.95	7.50	8.15	7.40
2	0.57	2.10	9.80	14.35	8.90	12.90	13.85	8.90	10.20	12.55	6.45	8.75	9.35	8.90
3	0.46	5.60	11.00	11.00	11.15	11.95	12.80	11.60	11.90	12.90	8.40	10.85	11.35	10.60
4	0.45	7.10	10.10	9.60	9.25	10.25	10.70	9.45	10.55	11.15	9.15	9.75	9.90	9.30
5	0.54	9.10	10.45	10.25	9.35	9.50	11.80	10.35	11.65	12.50	10.45	10.90	11.15	10.20
6	0.53	2.10	10.45	12.45	9.85	12.25	13.85	9.15	10.40	12.45	6.90	9.25	10.00	8.80
7	0.51	3.95	10.85	13.80	10.65	12.35	14.10	10.15	10.95	13.05	7.15	9.70	10.25	9.30
8	0.48	3.60	11.10	13.50	11.25	12.75	14.25	10.30	11.45	13.30	7.90	10.15	10.90	9.90
9	0.62	4.60	12.10	14.30	12.25	13.75	15.35	11.40	12.55	14.20	8.90	11.15	12.00	11.10
10	0.46	4.20	11.70	14.00	11.90	13.40	14.75	11.00	12.10	13.80	8.40	10.80	11.50	10.50
11	0.61	0.10	6.10	12.85	7.60	10.20	12.50	7.35	8.30	10.95	4.50	7.10	7.65	8.40
12	0.60	6.50	11.70	11.60	12.05	12.80	13.55	12.50	12.60	13.70	9.30	11.65	12.05	9.80
13	0.59	7.40	10.45	9.90	9.65	10.50	11.00	9.85	10.90	11.45	9.35	10.00	10.30	9.70
14	0.57	10.00	11.25	11.25	10.45	10.40	12.60	11.25	12.65	13.55	11.65	12.00	12.45	12.30



รูปที่ ง-13 ลักษณะของผิวน้ำริมดิน บนพื้นแม่น้ำสลายพลังงานแบบ S_4-1

ตารางที่ ง-14 ข้อมูลความดันที่กระทำตั้งจากกับพื้นของแม่น้ำสลายพลังงานแบบ S_4 -2

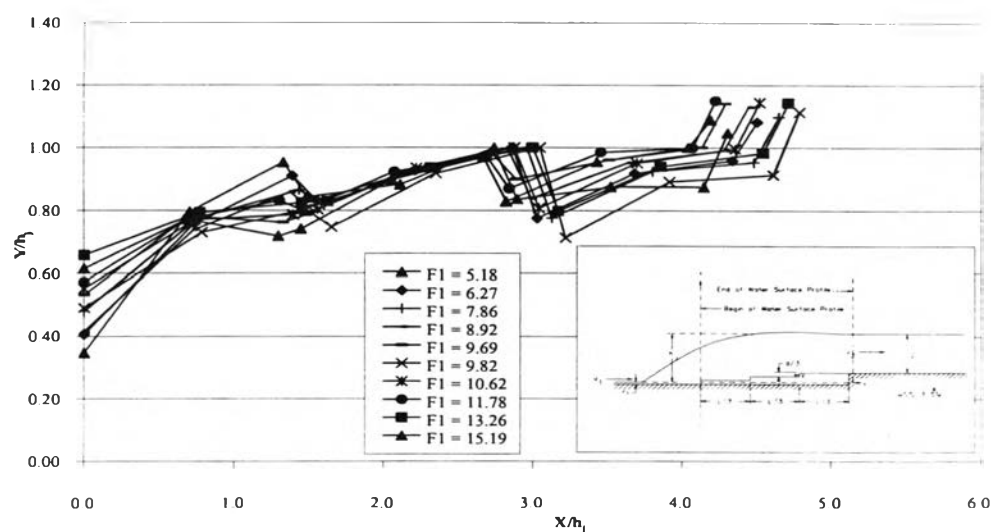
No.	q (l./s/cm)	ความดัน P (cm.)												T.W.
		จุดที่ 1	จุดที่ 2	จุดที่ 3	จุดที่ 4	จุดที่ 5	จุดที่ 6	จุดที่ 7	จุดที่ 8	จุดที่ 9	จุดที่ 10	จุดที่ 11	จุดที่ 12	
(1)	(2)	+21.00	+26.75	+32.5	+34.5	+40.25	+46.00	+48.00	+53.75	+59.50	+61.50	+67.20	+73.00	+75.00
1	0.48	7.95	9.30	9.20	8.60	9.85	11.25	8.30	9.80	10.30	7.10	7.75	8.10	10.10
2	0.46	8.70	10.20	10.15	9.40	10.55	11.40	8.70	10.90	11.70	8.90	9.80	9.70	10.90
3	0.62	1.60	10.50	13.55	7.50	9.85	13.00	4.75	8.80	11.05	3.60	6.60	6.35	7.80
4	0.59	2.70	10.75	13.55	8.85	10.65	12.80	5.60	9.55	11.35	5.05	7.15	7.10	9.50
5	0.45	3.45	9.25	11.15	9.25	10.80	12.50	8.60	9.80	11.40	6.40	8.25	8.15	10.50
6	0.58	6.95	10.05	10.35	10.10	10.90	12.25	10.40	11.00	11.75	7.35	9.60	9.45	11.50
7	0.56	7.05	11.00	12.75	11.00	12.25	13.60	10.95	12.05	12.90	9.70	10.65	10.65	12.20
8	0.52	9.30	11.20	11.20	11.05	11.85	12.50	11.50	12.30	13.10	10.95	11.35	11.30	12.70
9	0.49	7.60	12.60	15.20	13.45	14.40	15.25	12.55	13.55	14.15	10.50	12.15	12.65	13.30
10	0.51	3.10	10.10	13.55	8.95	11.25	13.25	6.90	10.15	12.05	4.70	7.75	7.60	9.40
11	0.49	5.20	12.95	15.20	9.70	11.90	13.95	7.55	10.70	12.35	6.15	8.65	8.40	10.10
12	0.60	6.20	13.10	15.70	9.75	12.25	13.75	7.10	10.85	12.55	6.45	8.35	8.35	10.00
13	0.48	8.20	9.80	9.70	9.00	10.10	11.00	8.15	10.55	11.25	8.30	9.50	9.30	10.50
14	0.58	2.70	11.40	14.50	8.50	10.80	14.05	5.80	9.70	12.00	4.50	7.65	7.26	8.80
15	0.63	3.10	11.00	13.80	9.00	11.00	13.25	5.95	9.90	11.70	5.45	7.45	7.50	9.80



รูปที่ ง-14 ลักษณะของผิวน้ำไร้มิติ บนพื้นแม่น้ำสลายพลังงานแบบ S_4 -2

ตารางที่ ง-15 ข้อมูลความดันที่กระทำตั้งจากกับพื้นของแม่น้ำสลายพลังงานแบบ S_4 -3

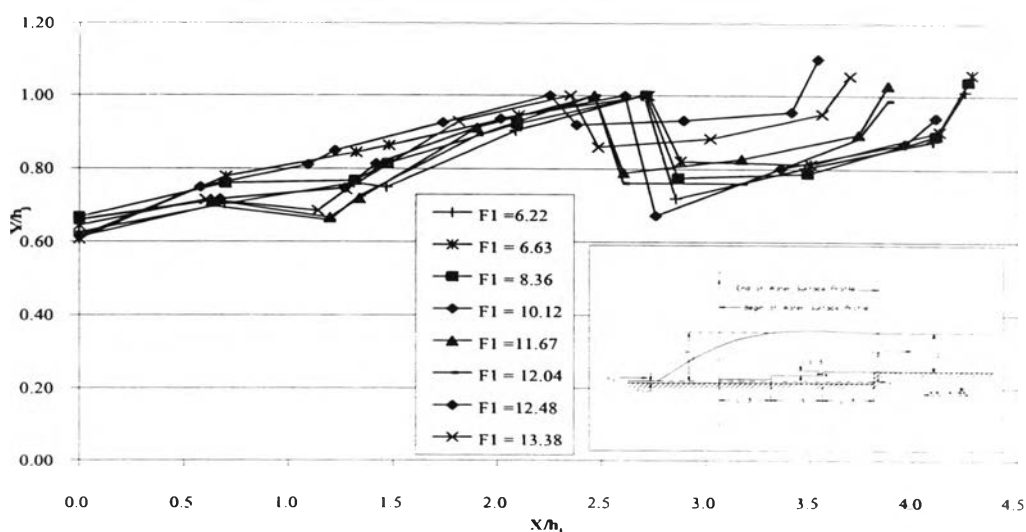
No.	q (l./s/cm)	ความดัน P (cm.)											
		จุดที่ 1	จุดที่ 2	จุดที่ 3	จุดที่ 4	จุดที่ 5	จุดที่ 6	จุดที่ 7	จุดที่ 8	จุดที่ 9	จุดที่ 10	จุดที่ 11	จุดที่ 12
		+21.00	+26.75	+32.5	+34.5	+40.25	+46.00	+48.00	+53.75	+59.50	+61.50	+67.20	+73.00
1	0.48	3.20	7.35	9.55	8.05	9.45	10.70	7.60	8.85	8.60	5.50	6.50	6.40
2	0.59	3.05	8.80	9.50	8.50	9.95	9.70	9.10	9.85	10.30	6.95	8.15	8.00
3	0.57	5.55	8.80	10.30	9.30	10.55	11.90	9.80	10.30	10.40	8.00	9.17	8.73
4	0.56	5.55	10.05	12.05	10.95	12.20	13.95	10.05	11.60	12.60	8.75	10.00	9.90
5	0.54	5.75	9.15	8.80	8.70	9.30	10.20	8.55	9.10	9.85	7.05	7.25	7.50
6	0.55	4.10	8.00	10.30	9.00	10.20	11.70	8.40	9.70	9.20	6.10	7.40	7.20
7	0.52	4.85	12.05	14.80	9.70	12.50	14.80	6.85	10.85	12.35	6.15	8.00	7.50
8	0.58	3.30	11.70	14.55	10.20	12.70	15.20	6.60	10.85	12.60	6.75	8.50	8.00
9	0.50	4.10	12.20	15.00	10.70	13.10	15.50	7.20	10.50	13.30	7.00	8.80	8.50
10	0.48	3.55	9.00	10.10	8.80	10.25	10.00	9.50	10.00	10.70	6.50	8.50	8.30
11	0.55	6.00	10.45	12.45	11.25	12.65	14.25	10.55	11.95	12.70	9.00	10.50	10.30
12	0.66	5.20	9.00	11.40	10.10	11.30	12.80	9.50	10.50	10.10	7.25	8.00	8.30
13	0.64	6.50	10.25	12.65	11.05	12.35	13.55	10.50	11.65	11.40	8.20	9.40	9.50
14	0.63	2.70	6.80	9.00	7.65	8.90	10.35	7.15	8.45	8.05	5.00	6.05	5.95



รูปที่ ง-15 ลักษณะของผิวน้ำไร้น้ำ บนพื้นแม่น้ำสลายพลังงานแบบ S_4 -3

ตารางที่ ง-16 ข้อมูลความดันที่กระทำตั้งจากกับพื้นของแบ่งสลายพลังงานแบบ S_4 -4

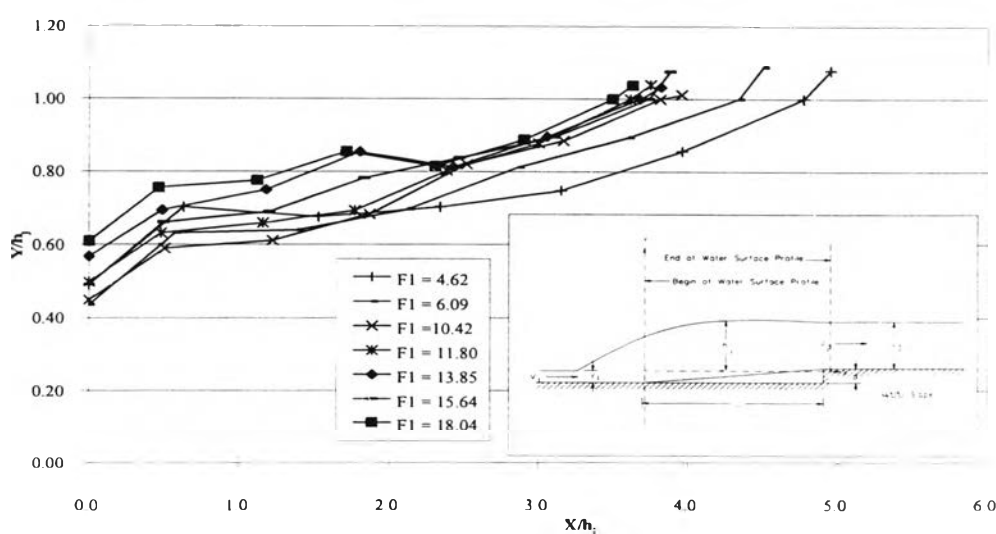
No.	q (l./s/cm)	ความดัน P (cm.)												
		จุดที่ 1 +21.00	จุดที่ 2 +26.75	จุดที่ 3 +32.5	จุดที่ 4 +34.5	จุดที่ 5 +40.25	จุดที่ 6 +46.00	จุดที่ 7 +48.00	จุดที่ 8 +53.75	จุดที่ 9 +59.50	จุดที่ 10 +61.50	จุดที่ 11 +67.20	จุดที่ 12 +73.00	T.W. +75.00
(1)	(2)													
1	0.40	7.30	8.10	8.95	7.65	8.65	9.60	8.40	7.40	9.15	2.55	4.55	5.40	7.30
2	0.48	7.75	8.50	9.05	8.25	9.15	10.30	8.15	7.90	9.40	3.90	5.90	6.45	7.90
3	0.51	4.25	8.50	8.80	7.75	8.85	9.15	7.65	7.90	8.65	3.15	4.25	4.65	6.45
4	0.56	7.25	8.65	8.80	7.80	8.90	8.65	8.15	8.40	9.65	3.80	4.80	5.15	7.80
5	0.40	7.15	8.65	9.40	8.70	10.15	10.25	8.75	8.50	9.80	5.15	6.60	7.15	8.85
6	0.52	7.05	9.15	9.90	8.95	10.70	11.30	9.40	9.55	10.40	6.20	7.75	8.15	9.85
7	0.45	5.80	9.50	11.75	9.85	11.65	12.25	9.65	10.25	11.40	7.05	8.90	9.15	10.70
8	0.46	5.00	8.40	9.05	8.15	9.05	9.30	7.75	8.20	8.75	4.00	4.55	4.65	7.40
9	0.50	6.15	9.15	9.30	8.15	9.00	10.15	8.00	8.55	9.15	4.80	5.25	5.50	7.70
10	0.43	6.90	8.90	9.30	8.65	9.40	10.40	8.70	9.15	9.90	5.75	6.80	7.15	9.20
11	0.50	5.40	9.90	11.45	10.15	11.40	12.10	9.50	10.35	11.15	7.30	8.60	8.90	10.10
12	0.51	7.65	9.15	9.50	8.60	9.75	11.05	9.90	10.25	11.70	7.70	8.90	9.15	10.80
13	0.53	4.15	8.45	10.40	8.40	10.15	10.70	8.00	8.50	9.80	4.30	5.90	6.15	8.90
14	0.48	3.75	7.90	9.10	8.40	9.00	9.90	7.05	8.10	8.90	3.50	5.15	4.75	7.40
15	0.47	6.15	8.75	9.40	8.70	9.80	10.30	8.65	9.05	9.60	5.75	6.75	7.15	8.80



รูปที่ ง-16 ลักษณะของผิวน้ำไว้มิติ บนพื้นแห่งสลายพลังงานแบบ S_4 -4

ตารางที่ ง-17 ข้อมูลความดันที่กระทำตั้งจากกับพื้นของแบ่งสลายพลังงานแบบ S_0-1

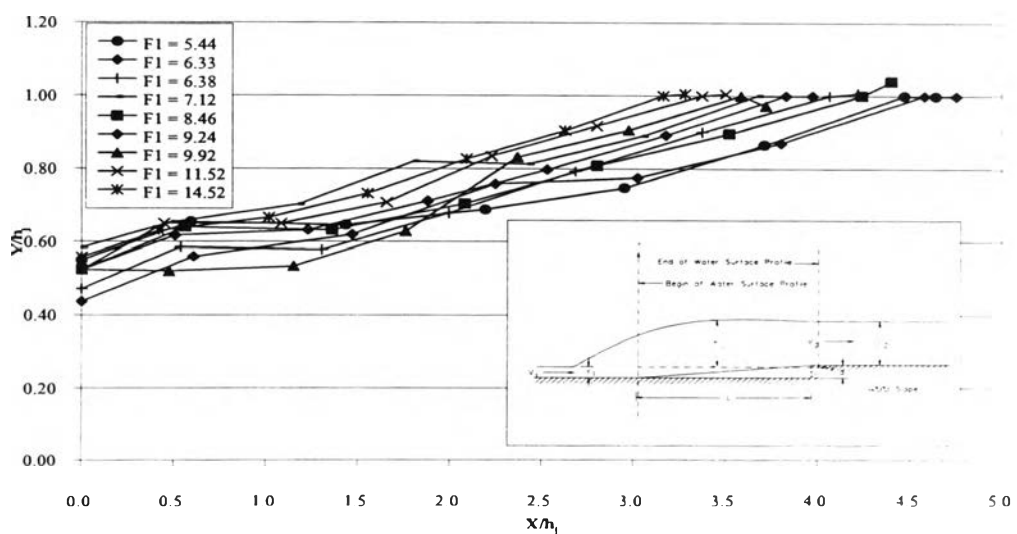
No. (1)	q (l./s/cm) (2)	ความดัน P (cm.)						
		จุดที่ 1 +28.00	จุดที่ 2 +37.00	จุดที่ 3 +46.00	จุดที่ 4 +55.00	จุดที่ 5 +64.00	จุดที่ 6 +73.00	T.W. +75.00
1	0.47	11.03	11.83	13.33	12.73	13.93	15.43	12.30
2	0.46	12.33	12.63	13.83	13.23	14.33	16.03	13.00
3	0.46	9.23	8.93	9.83	10.93	11.63	13.83	10.80
4	0.45	9.53	9.83	10.83	12.73	13.63	15.23	11.80
5	0.55	10.53	10.93	11.43	13.03	14.13	15.93	12.90
6	0.53	9.13	9.33	10.03	10.83	11.83	13.03	10.10
7	0.51	10.23	9.93	10.23	10.73	11.93	13.53	10.80
8	0.50	9.83	9.93	10.63	12.03	13.03	14.33	11.80
9	0.49	10.33	10.73	12.03	12.83	13.63	15.13	12.60
10	0.47	8.23	8.03	8.93	10.13	10.73	12.73	9.70
11	0.59	9.53	10.03	10.73	12.03	12.43	14.63	11.70
12	0.57	11.33	11.83	12.23	14.13	14.93	16.73	13.80
13	0.55	10.73	10.43	10.73	11.13	12.33	14.03	11.40
14	0.52	11.13	11.23	12.23	13.53	14.33	15.73	12.70



รูปที่ ง-17 ลักษณะของผิวน้ำไร้มิติ บนพื้นแบ่งสลายพลังงานแบบ S_0-1

ตารางที่ ง-18 ข้อมูลความดันที่กระทำตั้งจากกับพื้นของแม่น้ำสายพลังงานแบบ S_0 -2

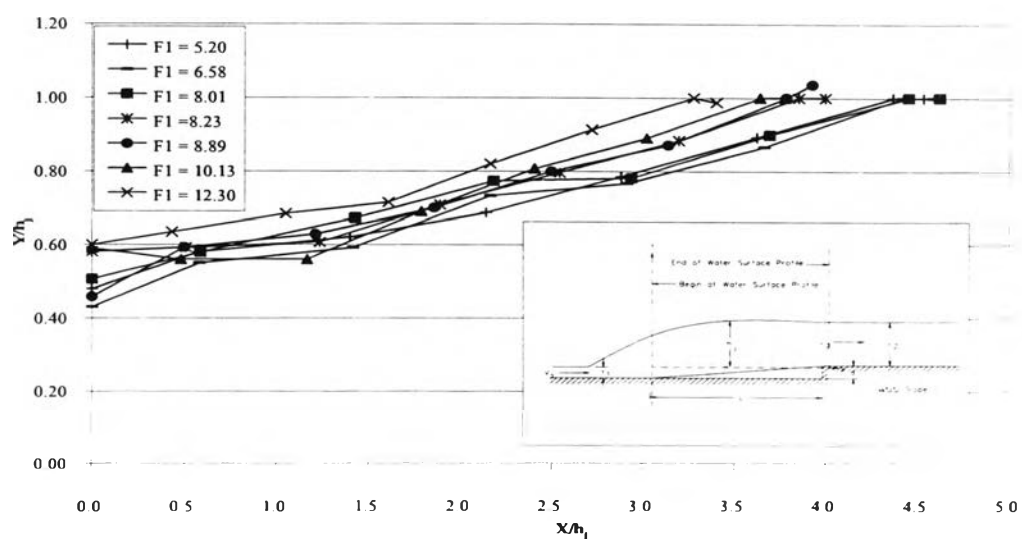
No. (1)	q (l./s/cm) (2)	ความดัน P (cm.)						
		จุดที่ 1 +28.00	จุดที่ 2 +37.00	จุดที่ 3 +46.00	จุดที่ 4 +55.00	จุดที่ 5 +64.00	จุดที่ 6 +73.00	T.W. +75.00
1	0.58	7.50	7.40	8.20	7.60	7.90	8.60	8.50
2	0.56	8.80	7.90	8.00	8.50	8.80	9.30	9.70
3	0.54	8.40	7.80	8.40	10.60	10.90	11.50	11.00
4	0.54	10.80	10.00	10.10	11.30	11.80	12.30	12.30
5	0.53	11.00	10.80	11.10	11.90	12.40	13.20	13.20
6	0.52	9.20	8.30	8.00	7.90	8.50	9.30	9.20
7	0.50	8.90	8.00	8.50	9.20	9.80	10.30	10.30
8	0.48	10.60	10.50	11.40	10.50	10.80	11.60	11.50
9	0.58	8.20	7.80	8.10	8.40	8.90	9.40	9.20
10	0.57	9.30	8.70	9.00	9.40	9.90	10.60	10.50
11	0.56	8.50	7.70	8.50	10.70	10.80	11.60	11.50
12	0.46	11.10	10.60	10.80	11.00	11.80	12.50	12.90
13	0.55	8.70	7.40	7.80	8.80	9.10	9.80	9.70
14	0.54	9.10	8.50	8.70	9.30	9.90	10.80	10.90



รูปที่ ง-18 ลักษณะของผิวน้ำไร้มิติ บนพื้นแม่น้ำสายพลังงานแบบ S_0 -2

ตารางที่ ง-19 ข้อมูลความดันที่กระทำตั้งจากกับพื้นของแม่น้ำริมดิน บนพื้นแม่น้ำริมดินแบบ S_0 -3

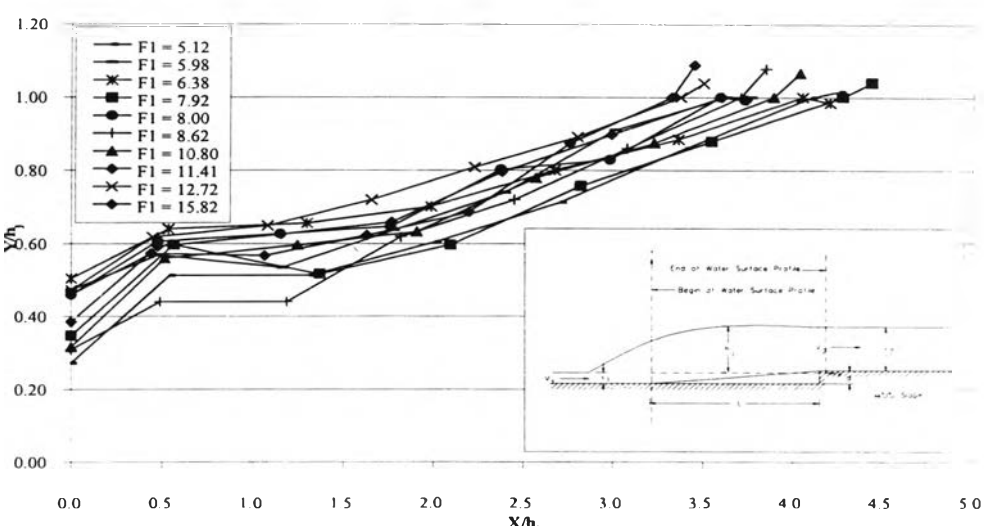
No.	q (l./s/cm)	ความดัน P (cm.)						
		จุดที่ 1 +28.00	จุดที่ 2 +37.00	จุดที่ 3 +46.00	จุดที่ 4 +55.00	จุดที่ 5 +64.00	จุดที่ 6 +73.00	T.W. +75.00
(1)	(2)							
1	0.47	10.50	10.70	11.60	10.40	11.00	11.90	11.90
2	0.46	8.40	9.50	10.70	10.80	12.20	13.40	8.00
3	0.53	9.50	9.50	11.40	13.10	14.30	15.90	10.50
4	0.53	11.50	12.30	12.80	14.50	16.00	17.40	11.80
5	0.49	8.40	8.90	10.60	11.00	12.20	13.80	8.40
6	0.48	9.80	10.00	11.40	12.60	13.80	15.40	10.00
7	0.56	9.90	10.40	11.40	12.80	13.80	15.60	10.70
8	0.54	9.30	9.80	10.60	11.80	13.10	14.40	9.00
9	0.46	9.70	9.70	11.40	12.80	14.30	15.50	9.90
10	0.44	9.80	10.80	12.40	13.50	14.60	16.40	11.00
11	0.51	7.50	8.50	9.10	10.30	11.60	12.60	7.20
12	0.49	9.40	9.20	11.50	12.80	13.40	14.60	9.20
13	0.58	10.90	11.60	12.40	14.00	15.40	16.70	11.20
14	0.58	9.30	10.00	11.10	12.10	13.30	14.80	9.10
15	0.55	9.30	9.80	10.60	11.80	13.10	15.50	9.70



รูปที่ ง-19 ลักษณะของผิวน้ำริมดิน บนพื้นแม่น้ำริมดินแบบ S_0 -3

ตารางที่ ง-20 ข้อมูลความดันที่กระทำตั้งจากกับพื้นของแม่กลองแบบ S_0 -4

No.	q (l./s/cm)	ความดัน P (cm.)						
		จุดที่ 1 +28.00	จุดที่ 2 +37.00	จุดที่ 3 +46.00	จุดที่ 4 +55.00	จุดที่ 5 +64.00	จุดที่ 6 +73.00	T.W. +75.00
(1)	(2)							
1	0.47	10.10	10.00	10.90	11.90	14.90	16.90	12.30
2	0.52	8.90	7.90	8.90	10.90	12.40	13.90	8.40
3	0.47	8.90	9.40	9.90	11.90	13.20	14.90	9.80
4	0.51	10.90	11.40	12.50	13.90	15.20	16.90	11.50
5	0.49	10.20	10.40	11.00	12.30	13.40	14.90	8.70
6	0.47	10.60	10.90	11.20	13.50	13.90	16.40	10.30
7	0.55	7.90	7.90	10.45	11.90	13.90	15.90	11.00
8	0.54	8.90	8.90	10.10	11.50	13.40	15.20	9.40
9	0.46	10.40	9.90	11.40	12.90	15.40	16.70	10.70
10	0.51	9.90	10.40	10.90	12.90	14.40	15.90	9.80
11	0.49	9.70	9.30	11.00	12.50	14.10	15.50	9.20
12	0.57	11.00	10.30	12.70	14.60	15.30	17.20	11.20
13	0.47	9.00	9.30	10.80	11.10	12.80	14.30	8.10
14	0.55	10.30	10.70	11.30	12.60	14.30	16.10	9.60



รูปที่ ง-20 ลักษณะของผิวน้ำในมิติ บนพื้นแม่กลองแบบ S_0 -4

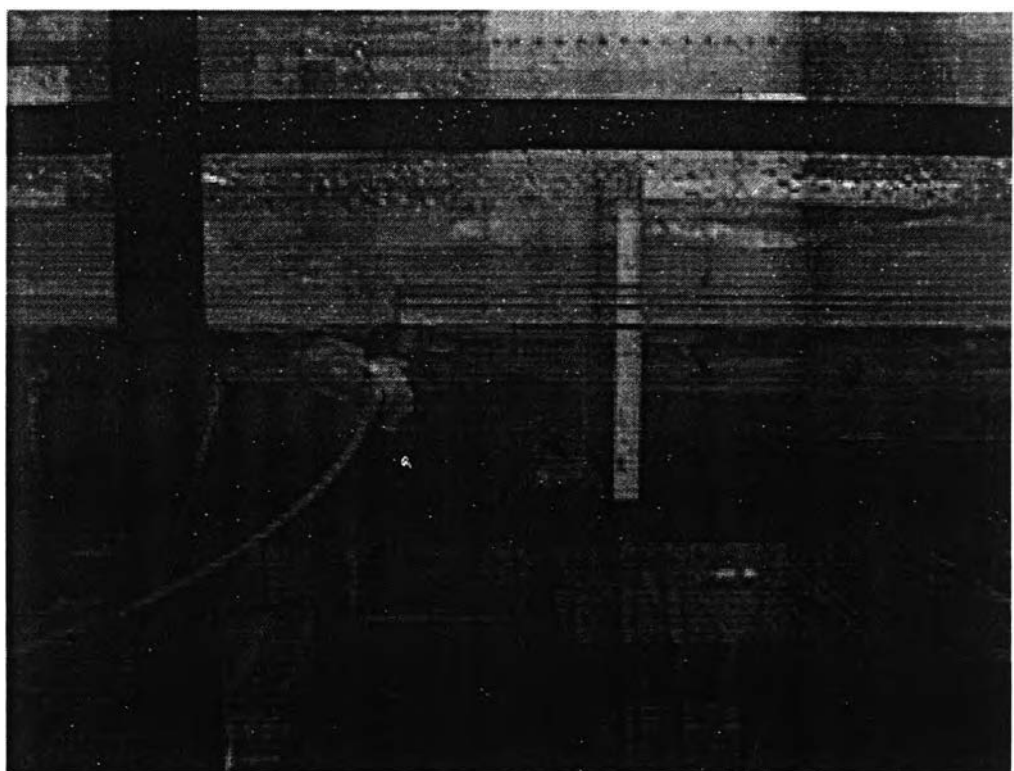
ການພັນວັດ ຈ
ຂໍ້ມູນລາກາຮເກີດນໍ້າກະໂດບນພື້ນຮາບ

ตารางที่ จ-1 ผลการทดลองน้ำกระตือดบนพื้นราบ

Run No.	y_1 (cm.)	y_2 (cm.)	Temp (°C)	ρ Kg/m^3	W Kg.	t (s.)	Q (l./s)	q (l./s/cm)	F_1 (9)	E_1 (cm.)	E_2 (cm.)	$\Delta E/E_1$ (%)	Lj (cm.)
(1)	(2)	(3)	(4)	(5)	(6)	(7)	(8)	(9)	(10)	(11)	(12)	(13)	
1	1.28	5.10	30.00	996.00	23.10	2.70	8.59	0.15	3.24	7.99	5.52	30.86	32.00
2	1.08	5.20	30.00	996.00	19.00	2.43	7.85	0.13	3.82	8.95	5.54	38.10	33.00
3	1.18	6.20	30.00	996.00	19.50	1.98	9.89	0.17	4.21	11.64	6.58	43.47	37.00
4	1.34	7.90	30.00	996.00	22.50	1.77	12.76	0.22	4.49	14.85	8.29	44.19	45.00
5	1.37	8.40	30.00	996.00	25.50	1.92	13.33	0.23	4.54	15.48	8.78	43.31	50.00



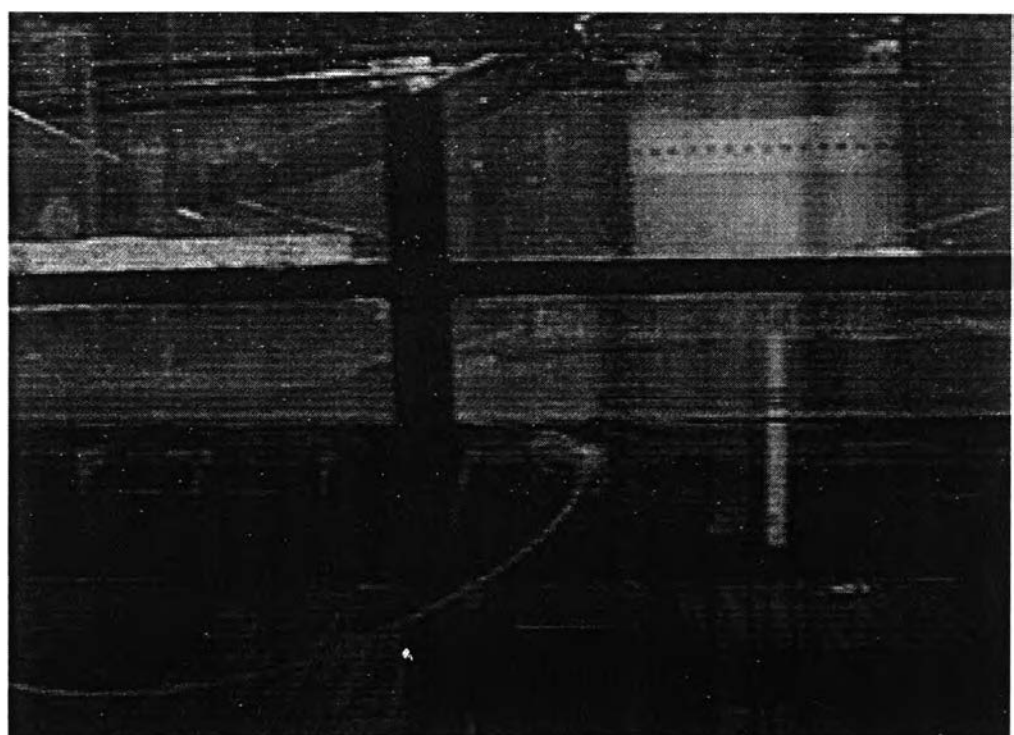
รูปที่ ๗-๑ น้ำกระโดดบนพื้นราบ ($q=0.15 \text{ l/s.}, F_1=3.24$)



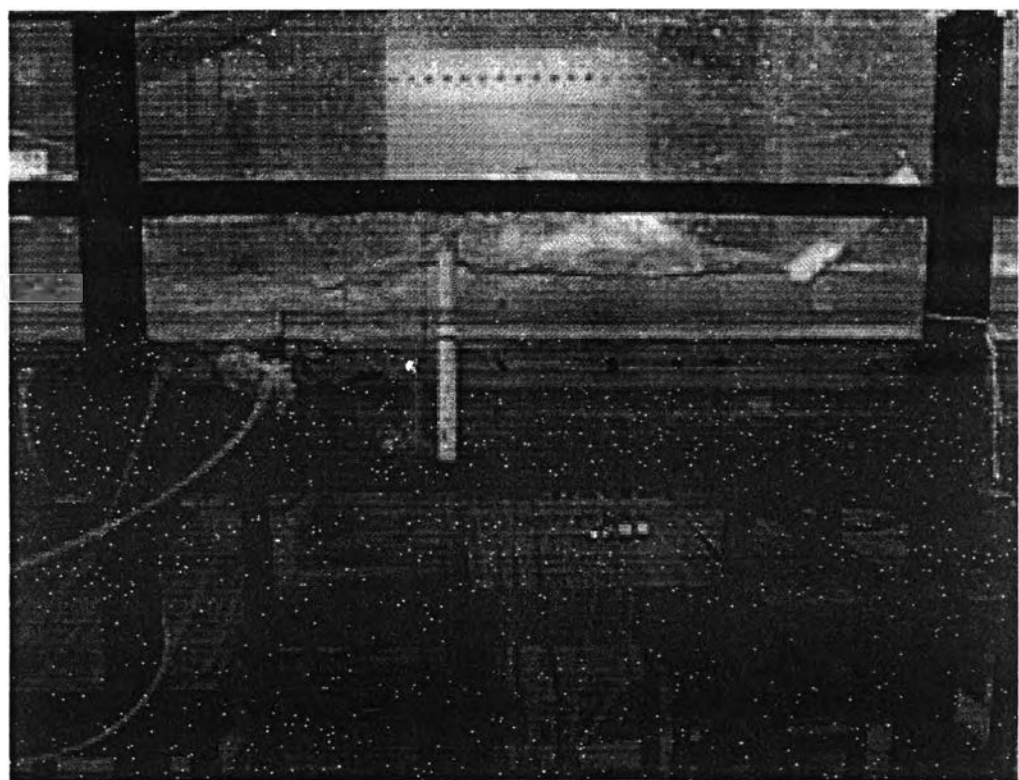
รูปที่ ๗-๒ น้ำกระโดดบนพื้นราบ ($q=0.13 \text{ l/s.}, F_1=3.82$)



รูปที่ ๔-๓ น้ำกระโดดบนพื้นราบ ($q=0.17 \text{ l/s.}, F_r=4.21$)



รูปที่ ๔-๔ น้ำกระโดดบนพื้นราบ ($q=0.23 \text{ l/s.}, F_r=4.54$)



รูปที่ ๑-๕ น้ำกระโดดบนพื้นราบ ($q=0.22 \text{ l/s.}$, $F_t=4.49$)

ประวัติผู้เขียนวิทยานิพนธ์

นายอธิคม รักสัตย์ เกิดวันที่ 21 ตุลาคม พ.ศ. 2520 ที่ จังหวัดนครราชสีมา สำเร็จการศึกษาวิศวกรรมศาสตรบัณฑิต(วิศวกรรมชลประทาน) วิทยาลัยการชลประทาน สถาบันสมนหนบ มหาวิทยาลัยเกษตรศาสตร์ ในปีการศึกษา 2543 และเข้าศึกษาต่อในหลักสูตรวิศวกรรมศาสตร์ มหาบัณฑิต ภาควิชาวิศวกรรมแหล่งน้ำ สาขาวิศวกรรมแหล่งน้ำ คณะวิศวกรรมศาสตร์ จุฬาลงกรณ์มหาวิทยาลัย ในปีการศึกษา 2545

